PERAMALAN PERSEDIAAN SPARE PART SEPEDA MOTOR MENGGUNAKAN ALGORITME BACKPROPAGATION

SKRIPSI

Untuk memenuhi sebagian persyaratan memperoleh gelar Sarjana Komputer

Disusun oleh: Danastri Ramya Mehaninda NIM: 145150200111035



PROGRAM STUDI TEKNIK INFORMATIKA
JURUSAN TEKNIK INFORMATIKA
FAKULTAS ILMU KOMPUTER
UNIVERSITAS BRAWIJAYA
MALANG
2018

PENGESAHAN

PERAMALAN PERSEDIAAN SPARE PART SEPEDA MOTOR MENGGUNAKAN ALGORITME BACKPROPAGATION

SKRIPSI

Diajukan untuk memenuhi sebagian persyaratan memperoleh gelar Sarjana Komputer

Disusun Oleh : Danastri Ramya Mehaninda NIM: 145150200111035

Skripsi ini telah diuji dan dinyatakan lulus pada 23 Juli 2018 Telah diperiksa dan disetujui oleh:

Dosen Pembimbing I

Dosen Pembimbing II

mam Cholissodin, S.Si, M.Kom

NIK: 201201 850719 1 001

Ir. Sutrisno, M.T

NIP: 19570325 198701 1 001

Mengetahui

Ketuggurusan Teknik Informatika

Tri Astoto Kurniawan, S.T, M.T., Ph.D

NIP: 19710518 200312 1 0014

PERNYATAAN ORISINALITAS

Saya menyatakan dengan sebenar-benarnya bahwa sepanjang pengetahuan saya, di dalam naskah skripsi ini tidak terdapat karya ilmiah yang pernah diajukan oleh orang lain untuk memperoleh gelar akademik di suatu perguruan tinggi, dan tidak terdapat karya atau pendapat yang pernah ditulis atau diterbitkan oleh orang lain, kecuali yang secara tertulis disitasi dalam naskah ini dan disebutkan dalam daftar pustaka.

Apabila ternyata didalam naskah skripsi ini dapat dibuktikan terdapat unsurunsur plagiasi, saya bersedia skripsi ini digugurkan dan gelar akademik yang telah saya peroleh (sarjana) dibatalkan, serta diproses sesuai dengan peraturan perundang-undangan yang berlaku (UU No. 20 Tahun 2003, Pasal 25 ayat 2 dan Pasal 70).

Malang, 22 Juni 2018

1AFF170219

Danastri Ramya Mehaninda

NIM: 145150200111035

KATA PENGANTAR

Alhamdulillah, puji syukur penulis panjatkan kepada Allah SWT karena atas segala rahmat dan karuniaNya penulis dapat menyelesaikan laporan skripsi berjudul "Peramalan Persediaan *Spare Part* Menggunakan Algoritme *Backpropagation*". Dalam pengerjaan skripsi dan penyusunan laporan skripsi banyak pihak yang membantu, membimbing, serta memberikan dukungan baik secara moril maupun materiil. Oleh karena itu, penulis mengucapkan terimakasih yang sebesar-besarnya kepada:

- 1. Mama Lilis Widayati dan papa Handaru Subekti selaku orang tua penulis.
- 2. Wayan Firdaus Mahmudy, S.Si, M.T, Ph.D. selaku Dekan Fakultas Ilmu Komputer Universitas Brawijaya Malang; Tri Astoto Kurniawan, S.T, M.T., Ph.D selaku Ketua Jurusan Teknik Informatika Fakultas Ilmu Komputer Universitas Brawijaya Malang dan Agus Wahyu Widodo, S.T, M.Cs selaku Ketua Prodi Teknik Informatika Fakultas Ilmu Komputer Universitas Brawijaya Malang.
- 3. Imam Cholissodin, S.Si, M.Kom selaku dosen pembimbing 1 skripsi dan Ir. Sutrisno, M.T selaku dosen pembimbing 2 skripsi.
- 4. Luckman Warwandono selaku narasumber.
- 5. Kakak Prasidya Radintantya, eyang Marpah, eyang Sugijanto, eyang Soehartati, alm. eyang Soedjiamto dan seluruh keluarga.
- 6. Rayhan Tsani Putra selaku partner penulis dalam banyak hal.
- 7. Cindy, Enggar, Katon, Faykel, Fendy, Nisya, Sarah, Eka, Nisa, Adit, Danang dan Elha selaku teman dekat penulis.
- 8. Teman-teman dari Teknik Informatika Fakultas Ilmu Komputer Universitas Brawijaya dan lainnya.
- 9. Seluruh pihak yang telah membantu dalam pengerjaan skripsi ini yang tidak dapat disebutkan satu persatu.

Penulis menyadari bahwa dalam penyusunan laporan skripsi ini masih banyak kekurangan, baik dari segi susunan maupun isi. Oleh karena itu, penulis dengan senang hati dan terbuka menerima kritik dan saran yang membangun sebagai pedoman perbaikan penulis.

Malang, 22 Juni 2018

Penulis

drmehaninda@gmail.com

ABSTRAK

Sepeda motor adalah transportasi darat yang paling banyak digunakan karena harganya lebih terjangkau dan lebih efisien. Sepeda motor memerlukan perawatan yang baik agar penggunaannya tetap nyaman dan menjaga kinerja sepeda motor sehingga dapat juga meminimalisir kecelakaan. Perawatan sepeda motor dapat dilakukan dengan cara penggantian spare part atau suku cadang secara berkala di bengkel. Guna menunjang perawatan sepeda motor, sebaiknya bengkel memberikan pelayanan perawatan yang terbaik termasuk memiliki persediaan spare part yang cukup agar dapat memenuhi kebutuhan pelanggan dalam perawatan sepeda motor. Jika bengkel memiliki persediaan spare part yang cukup, maka bengkel dapat meminimalisir biaya pemesanan dan dapat meminimalisir terjadinya kerusakan akibat penyimpanan terlalu lama sehingga perputaran spare part dinilai baik karena stok tidak terlalu banyak ataupun terlalu sedikit dan seluruh transaksi dapat terpenuhi. Terdapat banyak bengkel yang menyediakan pelayanan penggantian spare part seperti pada Pangestu Utomo Motordi Candi, Sidoarjo. Pada Pangestu Utomo Motortersebut mengalami kesulitan dalam menentukan persediaan spare part untuk bulan berikutnya. Peramalan persediaan dapat membantu untuk menentukan persediaan spare part Pangestu Utomo Motor. Penelitian ini menggunakan algoritme backpropagation untuk peramalan persediaan spare part. Arsitektur backpropagation yang terbaik adalah 9-7-1, yaitu 9 node input, 7 node hidden dan 1 node output. Input yang digunakan adalah history penjualan spare part bulan sebelumnya. Rata-rata MSE (nilai error) yang didapatkan dari hasil pengujian adalah 0.0094506 dan MSE terkecil yang didapatkan adalah 0.0085305 dengan rata-rata selisih nilai aktual dengan hasil peramalan adalah 6. Pada nilai MSE terkecil tersebut, hasil peramalan mendekati nilai aktualnya dan memiliki pola vang hampir sama.

Kata kunci: peramalan, prediksi, persediaan, *spare part*, sepeda motor, *backpropagation*.

ABSTRACT

Motorcycle are the most used roudways transportation because they are more affordable and more efficient. Motorcycle require good maintenance to keep comfortable uses and maintain motorcycle performance so as to minimize accidents. Motorcycle maintenance can be done by replacing spare parts regularly in the workshop. To support the maintenance of motorcycle, the workshop should provide the best care services including having spare part inventory to suffice customer who maintance of motorcycle. If the workshop has sufficient spare part, the workshop can minimize the cost of ordering and can minimize the damage caused by storage for too long so that spare part rotation is considered good because the stock is not too much or too little and all transactions can be fulfilled. There are many workshops that provide spare part replacement service such as Yamaha Motor in Candi, Sidoarjo. At Pangestu Utomo Motor is having difficulty in determining the spare part inventory for the next month. Inventory forecasting can help to determine the supply of spare part on Pangestu Utomo Motor. This research uses backpropagation algorithm for forecasting spare part inventory. The best backpropagation architecture is 9-7-1, which mean 9 input nodes, 7 hidden nodes and 1 output node. The input used is the history of spare part sales the previous month. The average MSE (error value) obtained from the test result is 0.0094506 and the smallest MSE obtained is 0.0085305 with the average difference of the actual value with the forecasting result is 6. At the smallest MSE value, the forecasting result approaches the actual value and has a pattern that almost the same.

Keywords: forecasting, prediction, inventory, spare part, motorcycle, backpropagation.

DAFTAR ISI

PENGESAHAN	i
PERNYATAAN ORISINALITAS	ii
KATA PENGANTAR	i\
ABSTRAK	۰۰۰۰۰۰
ABSTRACT	v
DAFTAR ISI	vi
DAFTAR TABEL	
DAFTAR GAMBAR	
DAFTAR LAMPIRAN	xi\
BAB 1 PENDAHULUAN	1
1.1 Latar belakang	1
1.2 Rumusan masalah	Э
1.3 Tujuan	Э
1.4 Manfaat	
1.5 Batasan masalah	
1.6 Sistematika pembahasan	
BAB 2 LANDASAN KEPUSTAKAAN	5
2.1 Kajian Pustaka	5
2.2 Spare Part	<u>S</u>
2.3 Persediaan	<u>S</u>
2.4 Peramalan	
2.5 Jaringan Syaraf Tiruan	11
2.6 Backpropagation	
2.6.1 Normalisasi dan Denormalisasi data	18
2.6.2 Mean Squared Error (MSE)	19
BAB 3 METODOLOGI	20
3.1 Studi Pustaka	20
3.2 Pengumpulan Data	21
3.3 Analisis Kebutuhan	21
3.4 Perancangan	21

3.5 Implementasi	21
3.6 Pengujian	22
3.7 Kesimpulan dan Saran	22
BAB 4 PERANCANGAN	23
4.1 Formulasi Permasalahan	23
4.2 Perancangan Peramalan Persediaan Spare Part	23
4.2.1 Normalisasi	24
4.2.2 Format Data	26
4.2.3 Bagi Data	
4.2.4 Pelatihan	
4.2.5 Pengujian	42
4.2.6 Denormalisasi	
4.3 Contoh Perhitungan Manual	44
4.4.1 Pengujian Jumlah Iterasi	53
4.4.2 Pengujian Jumlah Node Input Layer	
4.4.3 Pengujian Jumlah Node Hidden Layer	
4.4.4 Pengujian Nilai <i>Learning Rate</i> (α)	
4.5 Perancangan Antarmuka	
4.5.1 Tampilan Awal	
4.5.2 Data	
4.5.3 Hasil	
4.5.4 Peramalan	60
BAB 5 IMPLEMENTASI	61
5.1 Implementasi Peramalan Persediaan Spare Part	61
5.1.1 Normalisasi	61
5.1.2 Format Data	62
5.1.3 Bagi Data	63
5.1.4 Pelatihan	64
5.1.5 Pengujian	73
5.1.6 Denormalisasi	73
5.2 Implementasi Antarmuka	74

5.2.1 Tampilan Awal	74
5.2.2 Data	75
5.2.3 Hasil	75
5.2.4 Peramalan	76
BAB 6 PENGUJIAN DAN ANALISIS	77
6.1 Skenario Pengujian	77
6.2 Pengujian Jumlah Iterasi	77
6.3 Pengujian Jumlah Node Input Layer	78
6.4 Pengujian Jumlah Node Hidden Layer	80
6.5 Pengujian Nilai <i>Learning Rate</i>	
6.6 Hasil Pengujian	82
BAB 7 PENUTUP	
7.1 Kesimpulan	
7.2 Saran	
DAFTAR PUSTAKA	
LAMPIRAN A SURAT PERNYATAAN	
LAMPIRAN B WAWANCARA	
LAMPIRAN C DATA	
LAMPIRAN D HASIL CONTOH PERHITUNGAN MANUAL	93
LAMPIRAN E MSE PELATIHAN	96

DAFTAR TABEL

Tabel 2.1 Perbedaan Penelitian
Tabel 2.2 Parameter pada Backpropagation
Tabel 4.1 Dataset Oli <i>Yamalube Matic</i>
Tabel 4.2 Hasil Normalisasi Dataset Oli <i>Yamalube Matic</i>
Tabel 4.3 Insialisasi Bobot Awal
Tabel 4.4 Inisialisasi Bias Awal
Tabel 4.5 Hasil Feedforward Oli Yamalube Matic Iterasi ke-1 47
Tabel 4.6 Hasil Koreksi Error Backpropagation Oli Yamalube Matic Iterasi ke-1. 49
Tabel 4.7 Hasil Koreksi Bobot Backpropagation Oli Yamalube Matic Iterasi ke-150
Tabel 4.8 Hasil Koreksi Bias Backpropagation Oli Yamalube Matic Iterasi ke-1 50
Tabel 4.9 Hasil <i>Update</i> Bobot Oli <i>Yamalube Matic</i> Iterasi ke-1 51
Tabel 4.10 Hasil <i>Update</i> Bias Oli <i>Yamalube Matic</i> Iterasi ke-1
Tabel 4.11 Hasil Pelatihan Backpropagation Oli Yamalube Matic Iterasi ke-1 52
Tabel 4.12 Hasil MSE Pelatihan Oli Yamalube Matic
Tabel 4.13 Hasil Denormalisasi Oli <i>Yamalube Matic</i>
Tabel 4.14 Perbedaan Nilai Aktual dan Hasil Peramalan
Tabel 4.15 Perancangan Pengujian Jumlah Iterasi
Tabel 4.16 Perancangan Pengujian Jumlah Node <i>Input Layer</i>
Tabel 4.17 Perancangan Pengujian Jumlah Node <i>Hidden Layer</i>
Tabel 4.18 Perancangan Pengujian Nilai <i>Learning Rate</i> 56
Tabel 5.1 Kode Program Normalisasi
Tabel 5.2 Kode Program Find Min Max
Tabel 5.3 Kode Program Format Data
Tabel 5.4 Kode Program Bagi Data63
Tabel 5.5 Kode Program Pelatihan
Tabel 5.6 Kode Program Inisialisasi Bobot
Tabel 5.7 Kode Program Inisialisasi Bias
Tabel 5.8 Kode Program Feedforward 67
Tabel 5.9 Kode Program Feedforward pada Hidden Layer
Tabel 5.10 Kode Program Feedforward pada Output Layer

Tabel 5.11 Kode Program Aktivasi <i>Sigmoid Biner</i> (69
Tabel 5.12 Kode Program Backpropagation	69
Tabel 5.13 Kode Program Koreksi Bobot W	71
Tabel 5.14 Kode Program <i>Update</i> Bobot dan Bias	71
Tabel 5.15 Kode Program MSE	72
Tabel 6.1 Pengujian Jumlah Iterasi	77
Tabel 6.2 Pengujian Jumlah Node <i>Input Layer</i>	78
Tabel 6.3 Pengujian Jumlah Node <i>Hidden Layer</i>	80
Tabel 6.4 Pengujian <i>Learning Rate</i>	81
Tabel 6.5 Hasil Pengujian	82
Tabel 6.6 Hasil Pengujian Data Uji sama dengan Data Latih	83



DAFTAR GAMBAR

Gambar 2.1 Jaringan Syaraf	12
Gambar 2.2 Struktur Dasar Jaringan Syaraf Tiruan	13
Gambar 2.3 Arsitektur Backpropagation	14
Gambar 2.4 Fungsi Aktivasi Sigmoid Biner (0,1)	18
Gambar 2.5 Fungsi Aktivasi Sigmoid Bipolar (-1,1)	18
Gambar 3.1 Metodologi Penelitian	20
Gambar 4.1 Diagram Alir Perancangan Peramalan	24
Gambar 4.2 Diagram Alir Normalisasi	25
Gambar 4.3 Diagram Alir Mencari Nilai Maximal dan Minimal	
Gambar 4.4 Diagram Alir Format Data	
Gambar 4.5 Diagram Alir Bagi Data	29
Gambar 4.6 Diagram Alir Pelatihan	
Gambar 4.7 Diagram Alir Inisialisasi Bobot	32
Gambar 4.8 Diagram Alir Inisialisasi Bias	33
Gambar 4.9 Diagram Alir Feedforward	
Gambar 4.10 Diagram Alir Feedforward pada Hidden Layer	
Gambar 4.11 Diagram Alir Feedforward pada Output Layer	
Gambar 4.12 Diagram Alir Fungsi Aktivasi Sigmoid Biner	
Gambar 4.13 Diagram Alir Backpropagation	39
Gambar 4.14 Diagram Alir Koreksi Bobot W	
Gambar 4.15 Diagram Alir <i>Update</i> Bobot dan Bias	41
Gambar 4.16 Diagram Alir MSE	42
Gambar 4.17 Diagram Alir Pengujian	43
Gambar 4.18 Diagram Alir Denormalisai	44
Gambar 4.19 Perancangan Antarmuka Tampilan Awal5	57
Gambar 4.20 Perancangan Antarmuka Data	58
Gambar 4.21 Perancangan Antarmuka Hasil	59
Gambar 4.22 Perancangan Antarmuka Peramalan	60
Gambar 5.1 Implementasi Antarmuka Tampilan Awal	74
Gambar 5.2 Implementasi Antarmuka Data	75

Gambar 5.3 Implementasi Antarmuka Hasil	. 75
Gambar 5.4 Implementasi Antarmuka Peramalan	. 76
Gambar 6.1 Pengujian Jumlah Iterasi	. 78
Gambar 6.2 Pengujian Jumlah Node <i>Input Layer</i>	. 79
Gambar 6.3 Pengujian Jumlah Node <i>Hidden Layer</i>	. 80
Gambar 6.4 Pengujian <i>Learning Rate</i>	82
Gambar 6.5 Hasil Pengujian	82
Gambar 6 6 Hasil Pengujian Data Hiji sama dengan Data Latih	02



DAFTAR LAMPIRAN

LAMPIRAN A SURAT PERNYATAAN	88
LAMPIRAN B WAWANCARA	89
LAMPIRAN C DATA	91
C.1 Data Oli <i>Yamalube Matic</i>	91
LAMPIRAN D HASIL CONTOH PERHITUNGAN MANUAL	93
D.1 Hasil Feedforward	93
D.1.1 Iterasi 2	
D.1.2 Iterasi 3	93
D.1.3 Pengujian	93
D.2 Hasil Backpropagation	
D.2.1 Hasil Nilai Error Backpropagation Iterasi 2	
D.2.2 Koreksi Bobot Backpropagation Iterasi 2	
D.2.3 Koreksi Bias Backpropagation Iterasi 2	
D.2.4 Hasil Nilai Error Backpropagation Iterasi 3	94
D.2.5 Koreksi Bobot Backpropagation Iterasi 3	94
D.2.6 Koreksi Bias Backpropagation Iterasi 3	
D.3 Hasil <i>Update</i> Bobot dan Bias	
D.3.1 Update Bobot Iterasi 2	94
D.3.2 Update Bias Iterasi 2	95
D.3.3 Update Bobot Iterasi 3 D.3.4 Update Bias Iterasi 2	95
D.3.4 Update Bias Iterasi 2	95
LAMPIRAN E <i>MSE</i> PELATIHAN	96

BAB 1 PENDAHULUAN

1.1 Latar belakang

Transportasi digunakan untuk mempermudah kegiatan atau aktivitas seharihari. Transportasi adalah usaha dan kegiatan mengangkut atau membawa penumpang dan/atau barang dari suatu tempat ke tempat lainnya (Kadir, 2006). Transportasi memiliki beberapa unsur-unsur penting, salah satunya adalah kendaraan sebagai alat angkut atau alat transportasi. Berdasarkan unsur tersebut, transportasi diklasifikasikan menjadi transportasi udara, transportasi air dan trasportasi darat (Kadir, 2006). Salah satu jenis kendaraan pada transportasi darat adalah sepeda motor. Sepeda motor adalah kendaraan yang paling banyak disukai karena merupakan kendaraan roda dua yang menggunakan mesin penggerak sehingga lebih efisien dan harganya lebih terjangkau dibandingkan kendaraan roda empat (mobil) (Sudjarwo, 2013). Performance atau kinerja sepeda motor akan menurun dan terjadi terjadi kerusakan, meskipun cepat atau lambatnya hal tersebut terjadi bergantung pada pemeliharaan atau perawatan sepeda motor. Sepeda motor memerlukan perawatan yang baik agar penggunaannya tetap nyaman dan menjaga kinerja sepeda motor sehingga dapat juga meminimalisir kecelakaan. Perawatan sepeda motor dapat dilakukan dengan cara penggantian spare part atau suku cadang secara berkala di bengkel. Oleh karena itu, setiap bengkel sebaiknya mempunyai persediaan spare part yang cukup untuk memenuhi kebutuhan konsumennya guna menunjang perawatan sepeda motor dengan baik. Seperti pemaparan Ida Farida dan Moh. Nafis Rozini (2016) pada penelitiannya bahwa perusahaan memiliki risiko jika tidak dapat memenuhi keinginan para pelanggan, maka perusahaan harus memiliki konsep pengendalian persediaan yang baik agar mengurangi risiko tersebut (Farida & Rozini, 2016).

Masalah persediaan menjadi permasalahan berbagai perusahaan termasuk perusahaan jasa seperti bengkel motor (Dinata & Wigati, 2016). Hal tersebut terjadi karena persediaan dilakukan tanpa memperhitungkan perencanaan, sehingga dapat mempengaruhi biaya total persediaan. Jika bengkel memiliki persediaan spare part yang kurang untuk konsumennya maka dapat menghambat perawatan sepeda motor dan tidak dapat memenuhi keinginan permintaan konsumen. Apabila permintaan konsumen tidak terpenuhi maka menyebabkan ketidakpuasan pada konsumen dan menyebabkan konsumen akan beralih ke perusahaan lain (Farida & Rozini, 2016). Jika persediaan spare part terlalu banyak, juga dapat menyebabkan masalah untuk bengkel terutama ketika pembelian spare part tersebut sedikit. Hal itu menyebabkan penuhnya tempat penyimpanan dan kerusakan spare part atau perubahan kualitas pada spare part. Perusahaan sebisa mungkin harus memberikan pelayanan yang baik untuk konsumen. Selalu menyediakan suku cadang (spare part) dengan kualitas yang baik merupakan salah satu cara bengkel memberikan pelayanan yang baik (Farida & Rozini, 2016). Jika persediaan spare part dapat dikendalikan dalam artian perusahaan selalu mempunyai persediaan yang cukup, maka perusahaan dapat meminimalisir biaya pemesanan dengan melakukan pemesanan hanya ketika reorder point dan dapat

menghindari biaya penyimpanan serta menghindari kerusakan akibat persediaan spare part yang ada di gudang berlebih, perputaran spare part dinilai baik karena stok tidak terlalu banyak ataupun terlalu sedikit dan hampir seluruh transaksi dapat terpenuhi (Farida & Rozini, 2016).

Terdapat banyak bengkel yang menyediakan pelayanan penggantian spare part seperti pada salah satu dealer Yamaha Motor di Candi, Sidoarjo. Pangestu Utomo Motormerupakan salah satu dealer Yamaha yang memperjual belikan sepeda motor dan memberikan pelayanan perawatan sepeda motor yang meliputi penggantian spare part serta penjualan spare part sepeda motor Yamaha. Tidak semua pemilik kendaraan memiliki kesadaran akan pentingnya perawatan dan penggantian spare part secara berkala. Hal itu menyebabkan banyaknya pembelian sepeda motor tidak menjamin akan banyaknya penjualan spare part pada Pangestu Utomo Motor. Pangestu Utomo Motor harus selalu mempunyai persediaan spare part yang cukup untuk memenuhi kebutuhan konsumen dan tidak terlalu berlebihan agar tidak membuat gudang penyimpanan penuh serta menimbulkan kerusakan atau perubahan kualitas. Standarnya, Pangestu Utomo Motor membeli spare part pada distributor setiap 1 bulan sekali untuk menghemat biaya operasional pembelian dan mempermudah pencatatan pada pembukuan. Selama ini Pangestu Utomo Motor membeli spare part untuk persediaan berdasarkan perkiraan. Hal tersebut sering menimbulkan masalah, seperti terjadinya kekurangan persediaan sehingga tidak dapat memberikan pelayanan kepada konsumen dan harus segera membeli spare part sebelum waktunya. Selain itu, persediaan spare part terlalu banyak dapat menyebabkan penuhnya gudang penyimpanan dan jika spare part tersebut disimpan terlalu lama juga dapat menyebabkan kerusakan dan perubahan kualitas. Berdasarkan permasalahan tersebut, maka dibutuhkan peramalan untuk memperkirakan jumlah spare part yang dibutuhkan.

Penelitian tentang metode peramalan telah banyak dilakukan. Salah satunya penelitian mengenai peramalan permintaan produksi yang dilakukan oleh Febrina dan kawan-kawan (2013) yang berhasil menerapkan metode backpropagation untuk peramalan dengan 3 neuron pada lapisan input yang merupakan factor yang mempengaruhi permintaan, yaitu hasil penjualan, harga penjualan dan stok. Nilai error yang dihitung dengan Mean Absolute Percentage Error (MAPE) pada penelitian tersebut terbilang kecil, yaitu sebesar 5,7134%. Penelitian peramalan menggunakan backpropagation juga dilakukan oleh Razak dan Riksakomara (2017) untuk meramalkan jumlah produksi ikan nilai MAPE kurang dari 5%. Penelitian tersebut juga memaparkan kelebihan backpropagation yaitu memiliki sifat adaptive (dapat menyesuaikan terhadap dataset) dan fault tolerance (kesalahan error kecil) terhadap pemecahan masalah pada sistem (Razak & Riksakomara, 2017). Oleh karena itu, backpropagation dipilih untuk digunakan pada kasus yang diusulkan ini. Pada penelitian ini penulis akan menggunakan backpropagation untuk peramalan persediaan spare part sepeda motor pada Pangestu Utomo Motor.

1.2 Rumusan masalah

Pemaparan latar belakang mendasari perumusan masalah pada penulisan, rumusan masalah yang didapatkan adalah sebagai berikut:

- 1. Bagaimana penerapan algoritme *backpropagation* untuk peramalan persediaan *spare part* sepeda motor?
- 2. Bagaimana nilai *error* pada algoritme *backpropagation* untuk peramalan persediaan *spare part* sepeda motor?

1.3 Tujuan

Dari rumusan masalah yang telah dipaparkan, penelitian ini memiliki tujuan sebagai berikut:

- 1. Menerapkan algoritme *backpropagation* untuk peramalan persediaan *spare* part sepeda motor.
- 2. Menghitung dan mengetahui nilai *error* pada algoritme *backpropagation* untuk peramalan persediaan *spare part* sepeda motor.

1.4 Manfaat

Penelitian ini merupakan implementasi komputasi cerdas dalam kehidupan nyata. Penelitian ini diharapkan dapat bermanfaat bagi Pangestu Utomo Motoruntuk melakukan peramalan persediaan *spare part*. Penelitian ini juga diharapkan dapat bermanfaat bagi yang membutuhkan peramalan persediaan dan dapat dikembangkan menjadi lebih baik lagi dalam penelitian selanjutnya.

1.5 Batasan masalah

Batasan masalah pada penelitian ini bertujuan agar penelitian berfokus dan tidak meluas. Penelitian ini memiliki batasan masalah sebagai berikut:

- 1. Penelitian ini menggunakan data pada salah satu *dealer* Yamaha Motor, yaitu Pangestu Utomo Motor.
- 2. Spare Part yang akan diramalkan adalah oli yamalube matic.
- 3. *Input* yang akan digunakan adalah data *history* penjualan *spare part* beberapa bulan sebelumnya. *Output* yang didapat adalah jumlah *spare part* pada bulan berikutnya.
- 4. Input atau fitur (jumlah node input layer) dan jumlah node hidden layer pada penelitian ini dapat ditentukan, sedangkan output (jumlah node output layer) hanya satu.

1.6 Sistematika pembahasan

Penyusunan penelitian ini menggunakan kerangka pembahasan yang tersusun sebagai berikut:

BAB 1 PENDAHULUAN

Pendahuluan merupakan bab yang berisi latar belakang, rumusan masalah, tujuan, batasan masalah serta manfaat peramalan persediaan *spare part* sepeda motor menggunakan algoritme *backpropagation*.

BAB 2 LANDASAN KEPUSTAKAAN

Landasan kepustakaan digunakan untuk mendeskripsikan dan memaparkan dasar teori yang akan digunakan serta yang mendukung penelitian peramalan persediaan *spare part* sepeda motor menggunakan algoritme *backpropagation*. Landasan kepustakaan ini terdiri dari kajian pustaka, peramalan, persediaan, *spare part*, jaringan syaraf tiruan dan algoritme *backpropagation*.

BAB 3 METODOLOGI

Metodologi merupakan bab metodologi penelitian yang menguraikan metode dan langkah kerja yang dilakukan untuk peramalan persediaan *spare part*. Metodologi penelitian pada penelitian ini terdiri dari studi pustaka, pengumpulan data, analisis kebutuhan, perancangan, implementasi, pengujian, kesimpulan dan saran.

BAB 4 PERANCANGAN

Menganalisis kebutuhan sistem untuk peramalan persediaan spare part sepeda motor menggunakan algoritme backpropagation.

BAB 5 IMPLEMENTASI

Mengimplementasikan dan membahas peramalan persediaan spare part sepeda motor menggunakan algoritme backpropagation.

BAB 6 PENGUJIAN DAN ANALISIS

Pengujian dan analisis mendeskripsikan rencana pengujian serta menganalisis hasil pengujian pada peramalan persediaan *spare part* sepeda motor menggunakan algoritme *backpropagation* yang telah diimplementasikan.

BAB 7 PENUTUP

Bab ini memuat kesimpulan berdasarkan hasil penelitian peramalan persediaan *spare part* sepeda motor menggunakan algoritme *backpropagation* yang telah dilakukan dan memberikan saran yang dapat dipergunakan untuk penelitian berikutnya.

BAB 2 LANDASAN KEPUSTAKAAN

2.1 Kajian Pustaka

Persediaan barang yang tidak tepat menyebabkan kerugian, kerugian tersebut bisa dari segi waktu dan biaya, maka untuk meminimalisir kerugian perlu dilakukan prediksi atau peramalan dengan sebuah sistem peramalan (Sundari, et al., 2015). Hal tersebut yang mendorong Sundari dan kawan-kawan (2015) untuk melakukan peramalan persediaan barang pada toko *The Kids* 24. Toko *The Kids* 24 merupakan toko yang menjual boneka, mainan, pakaian dan berbagai perlengkapan anak lainnya. Dari tahun ke tahun toko *The Kids* 24 mengalami perkembangan penjualan dan memiliki persaingan usaha yang cukup ketat. Toko *The Kids* 24 harus memiliki persediaan barang yang cukup agar dapat memenuhi kebutuhan serta keinginan konsumennya. *History* penjualan berpengaruh pada prediksi jumlah barang yang perlu dibeli untuk persediaan toko *The Kids* 24 (Sundari, et al., 2015). Metode yang digunakan pada penelitian tersebut adalah *Weighted Moving Average*. Hasil penelitian tersebut peramalan atau prediksi persediaan barang mempermudah toko untuk pembelian persediaan barang pada toko setiap bulannya sehingga membantu proses pelayanan toko.

Pengendalian persediaan perlu dilakukan agar dapat memiliki persediaan cukup dan pengendalian dapat dilakukan dengan meramalkan persediaan. Penelitian mengenai peramalan telah banyak dilakukan. Seperti penelitian yang dilakukan oleh Razak dan Riksakomara (2017) mengenai peramalan jumlah produksi ikan dengan menggunakan backpropagation pada Unit Pelaksana Teknisi Daerah (UPTD) Pelabuhan perikanan Banjarmasin. Pada penelitian tersebut permasalahan utama yang ada adalah setiap bulannya jumlah produksi ikan tidak menentu. Hal tersebut berdampak pada kegiatan yang berkaitan dengan proses produksi seperti penyaluran es pendingin, penyediaan air bersih dan kegiatan lainnya. Penulis memberikan solusi atas permasalahan tersebut, yaitu melakukan peramalan jumlah produksi ikan beberapa periode berikutnya berdasarkan datadata history produksi sebelumnya. Penulis menggunakan metode metode backpropagation neural network (BPNN). Aristektur Metode BPNN yang digunakan adalah dengan masukan satu dan dua. Masukan tersebut merupakan jumlah produksi ikan UPTD Pelabuhan Perikanan Banjarmasin pada periode sebelum sekarang. Hasil error yang dihasilkan peramalan berkisar 20% pada proses testing dan juga peramalan dengan menggunakan seluruh data history yang ada (Razak & Riksakomara, 2017).

Penelitian tentang peramalan juga dilakukan oleh Febrina dan kawan-kawan (2013) untuk meramalkan jumlah permintaan produksi menggunakan metode backpropagation. Pada penelitian tersebut menggunakan metode Jaringan Syaraf Tiruan (JST) backpropagation untuk meramalkan jumlah permintaan produk v-belt AJGG B-65. Fitur yang digunakan merupakan faktor terkait yaitu hasil penjualan, harga dan stok barang jadi. Arsitektur jaringan syaraf tiruan yang dapat digunakan untuk peramalan permintaan v-belt AJGG B-65 di PT.XYZ

adalah jaringan *multilayer feedforward* dengan struktur *neuron* 20-1 dengan 1 (satu) hidden layer, *learning rate* (lr) yang digunakan 0,1 dan momentum *constant* (mc) 0,2 (Febrina, et al., 2013). Nilai *Mean Square Error* (*MSE*) pelatihan jaringan sebesar 0,001 dan nilai MAPE pengujian data sebesar 5,7134% (Febrina, et al., 2013).

Ismail dan Jamaluddin (2008) juga melakukan penelitian menggunakan backpropagation untuk melakukan peramalan permintaan beban listrik yang mana permintaan dipengaruhi oleh beberapa variabel seperti cuaca, suhu, hari libur, hari dalam seminggu. Penelitian tersebut memperkenalkan sinyal error backpropagation yang lebih baik dengan menggunakan dua fungsi aktivasi, sigmoid dan arctangent, dalam meramalkan beban listrik maksimum setiap hari. Hasil penelitian menunjukkan bahwa tingkat konvergensi perbaikan error dengan fungsi sigmoid jauh lebih cepat dibandingkan dengan error yang diperbaiki dengan fungsi arctangent, sedangkan fungsi arctangent secara teoritis menghasilkan kecepatan konvergensi yang lebih cepat karena memiliki nilai derivatif yang lebih tinggi dibandingkan dengan fungsi sigmoid (Ismail & Jamaluddin, 2008).

Julpan dan kawan-kawan (2015) melakukan penelitian menganalisis fungsi aktivasi sigmoid biner dan bipolar pada backpropagation untuk memprediksi kemampuan siswa. Pada penelitian ini digunakan suatu model neural network (jaringan syaraf tiruan) untuk memprediksi kemampuan siswa, selanjutnya hasil yang diperoleh ditransformasikan dengan suatu pendekatan algoritme backpropagation. Hasil penelitian prediksi kemampuan siswa berdasarkan nilai raport dengan ini menunjukkan fungsi aktivasi sigmoid biner memiliki tingkat akurasi yang paling tinggi, sedangkan fungsi aktivasi sigmoid bipolar memiliki tingkat kecepatan (konvergen) lebih tinggi (Julpan, et al., 2015).

Peramalan menggunakan algoritme backpropagation dilakukan oleh Abdellah dan Djamel (2013) untuk meramalkan profil puncak beban Aljazair. Peramalan ini menggunakan model Time-Series, yaitu menggunakan data beban historis untuk ekstrapolasi untuk memprediksi beban di masa mendatang. Elaborasi perkiraan beban Aljazair menjadi semakin sulit karena ketidakpastian yang terkait dengan faktor-faktor yang digunakan dalam persiapannya, terutama yang terkait dengan kebiasaan konsumsi yang berubah (Abdellah & Djamel, 2013). Dataset yang digunakan pada penelitian ini menggunakan data selama 23 bulan. Input yang digunakan berupa matriks 664x5, output juga berupa matriks 664x1 dan neuron hidden 20. Nilai error yang dihasilkan dari penelitian tersebut rata-rata mendekati 0.

Tabel 2.1 Perbedaan Penelitian

Judul	Objek	Metode	Keluaran
	Masukan dan	Proses	Hasil Penelitian
	Parameter		
Sistem Peramalan	1. Data history	Weight Moving	Jumlah barang untuk
Persediaan Barang	penjualan	Average	bulan berikutnya

Dengan Weight Moving Average Di Toko The Kids 24	barang 3 bulan sebelumnya 2. Data history penjualan 5 bulan sebelumnya		Rata-rata nilai error (Mean Absolute Deviation (MAD), Mean Squared Error (MSE), Mean Absolute Persentage Error (MAPE)), yaitu: 1 MAD: 8,56 - MSE: 115,4 - MAPE: 25% 2 MAD: 9,28 - MSE:129,8 - MAPE: 24%
Doramalan Jumlah	Data History	Dackpropagation	
Peramalan Jumlah Produksi Ikan dengan Menggunakan Backpropagation Neural Network (Studi Kasus UPTD Pelabuhan Perikanan Banjarmasin)	Data History jumlah ikan satu dan dua periode sebelum sekarang	Backpropagation	Jumlah produksi ikan Nilai <i>error</i> berkisar 20% pada proses testing dang peramalan
Peramalan Jumlah	1. Harga dan	Backpropagation	Jumlah permintaan <i>v</i> -
Permintaan	stok barang	II MEN	belt
Produksi	jadi		Arsitektur JST terbaik
Menggunakan	2. Data history		adalah 1 (satu) hidden
Metode Jaringan	hasil		layer, learning rate (Ir)
Syaraf Tiruan (JST)	penjualan		yang digunakan 0,1
Backpropagation			dan momentum
			constant (mc) 0,2
			dengan fungsi aktivasi
			logsig dan purelin
			Nilai Mean Square
			Error (MSE) pelatihan
			jaringan sebesar 0,001
			dan nilai MAPE
			pengujian data sebesar 5,7134%
A Backpropagation	I -	Backpropagation	Nilai <i>Mean Absolute</i>
Method for	beban		Persentage Error
Forecasting	puncak		(MAPE) berkisar 5-8%

EL	h		
Electricity Load Demand	suhu rata- rata		Fungsi aktivasi sigmoid dan arctangent
2 cmana	3. suhu		menunjukkan bahwa
	maksimum		tidak banyak
	4. suhu		perbedaan dalam hal
	minimum		akurasi perkiraan
	5. beban hari		akurasi perkiraan
	sebelumnya		
	6. beban 7 hari		
	sebelumnya		
	(hari yang		
	sama		
	minggu		
	sebelumnya		
) dan 6 hari		
	sebelumnya	G D.	
	5 . 61	O BR	
Analisis Fungsi	Data nilai	Backpropagation	Outputnya adalah nilai
Aktivasi Sigmoid	raport 6 mata		UN
Biner dan Sigmoid	pelajaran (6		Fungsi aktivasi <i>sigmoid</i>
Bipolar dalam	input)		biner memiliki tingkat
Algoritma			akurasi prediksi yang
Backpropagation	人的	从最早	paling tinggi
pada Prediksi			Fungsi aktivasi <i>sigmoid</i>
Kemampuan Siswa			bipolar memiliki tingkat
\\			kecepatan (konvergen)
\\			yang tinggi
Forecasting the	Data beban	Backpropagation	Rata-rata nilai <i>error</i>
Algerian Load	historis	- 1 - 1 - 1 - 1 - 1 - 1 - 1 - 1 - 1 - 1	mendekati 0
Peak Profile Using			
Time Series Model			
Based On			
Backpropagation			
Neural Networks			
Peramalan	Data <i>history</i>	Backpropagation	Jumlah persediaan
Persediaan <i>Spare</i>	penjualan	-	spare part
Part	spare part		-
Menggunakan	beberapa		Nilai <i>error</i>
Algoritme	bulan		
Backpropagation	sebelumnya		

Penelitian saat ini menggunakan banyak referensi, seperti beberapa penelitian yang telah dilakukan. Penelitian yang dijadikan referensi memiliki karakteristik yang berbeda sesuai dengan kebutuhan pada penelitian ini. Unsur bahan yang dijadikan referensi memiliki kesamaan ataupun yang dapat menunjang penelitian

ini seperti topik, objek, algoritme dan juga konsep. Tabel 2.1 menunjukkan perbedaan setiap penelitian yang menjadi referensi dengan penelitian ini. Berdasarkan Tabel 2.1 diketahui bahwa peramalan berhasil dilakukan. *Backpropagation* untuk peramalan menghasilkan nilai *error* yang relatif kecil, sehingga *backpropagation* baik digunakan untuk melakukan peramalan.

2.2 Spare Part

Spare Part atau suku cadang adalah stok barang persediaan umum yang diperlukan untuk memelihara dan merawat peralatan (Hu, et al., 2018). Spare Part adalah suatu barang yang terdiri dari beberapa komponen yang membentuk satu kesatuan dan mempunyai fungsi tertentu (Purba, 2015). Berdasarkan definisi di atas, suku cadang merupakan salah satu faktor yang menentukan jalannya proses produksi atau aktivitas dalam suatu perusahaan. Sehingga dapat dikatakan suku cadang ini mempunyai peranan yang cukup besar dalam serangkaian aktivitas perusahaan.

Spare Part secara umum dapat dibagi menjadi dua, yaitu (Afrianto, 2014):

- 1. Spare Part baru yaitu spare part yang belum pernah digunakan sama sekali kecuali untuk pengetesan.
- 2. Spare Part bekas atau copotan yaitu spare part yang pernah dipakai untuk periode tertentu dengan kondisi:
 - a. Masih layak pakai.
 - b. Tidak layak pakai.

2.3 Persediaan

Persediaan adalah barang yang dimiliki perusahaan pada waktu tertentu dengan tujuan untuk dijual atau digunakan dalam siklus proses perusahaan (Yousida, 2013). Definisi persediaan menurut Indrajit dan Djokopranoto (2003) adalah barang-barang yang biasanya dapat dijumpai di gudang tertutup, lapangan, gudang terbuka, atau tempat-tempat penyimpanan lain. Persediaan dapat berupa bahan baku, barang setengah jadi, barang jadi, barang-barang untuk keperluan proses produksi, atau barang-barang untuk keperluan suatu proyek (Supit & Jan, 2015).

Persediaan yang terdapat dalam perusahaan dapat dibedakan berdasarkan fungsinya, jenis dan posisi barang dalam urutan pengerjaan produk, berikut ada macam-macam persediaan (Heripracoyo, 2009):

- Dilihat dari fungsinya
 - a. Batch stock atau lot inventory
 - b. Fluctuation stock
 - c. Anticipation stock
- 2. Dilihat dari jenis dan posisi produk dalam urutan pengerjaan produk

a. Persediaan bahan baku (raw material stock)

Persediaan yang telah dibeli, tetapi belum diproses. Dapat digunakan untuk melakukan *decouple* (memisahkan) pemasok dari proses produksi (Supit & Jan, 2015).

- b. Persediaan bagian produk atau parts yang dibeli (purchase parts/component stock)
- c. Persediaan bahan-bahan pembantu atau barang-barang perlengkapan (supplier stock)
- d. Persediaan barang setengah jadi atau barang dalam proses (work in process/progress stock)

Komponen atau bahan baku atau bahan mentah yang telah melewati beberapa proses perubahan, tetapi belum selesai diproses menjadi barang jadi (Supit & Jan, 2015).

e. Persediaan barang jadi (finished goods stock)

Produk yang telah selesai dan tinggal menunggu pengiriman dan penggunaan. Barang jadi dimasukan ke dalam persediaan karena permintaan pelanggan di masa mendatang tidak diketahui (Supit & Jan, 2015).

Pencatatan persediaan biasa dilakukan untuk mengetahui mengenai persediaan. Terdapat berbagai macam pencatatan yang berhubungan dengan persediaan, diantaranya adalah (Heripracoyo, 2009):

- 1. Permintaan untuk dibeli (purchase requisition)
- 2. Laporan penerimaan (receiving report)
- 3. Catatan persediaan (balances of stores record)
- 4. Daftar permintaan bahan (*material requisition form*)
- 5. Perkiraan pengawasan (control accounting)

2.4 Peramalan

Peramalan adalah proses untuk memperkirakan atau memprediksi jumlah kebutuhan masa mendatang (Pakaja, et al., 2012). Kebutuhan tersebut meliputi berbagai aspek, yaitu kualitas, kuantitas, lokasi dan waktu. Peramalan merupakan seni ilmu yang menggunakan pendekatan-pendekatan matematis untuk memprediksi peristiwa-peristiwa masa mendatang dengan menggunakan data terdahulu yang diproyeksikan ke masa mendatang (Razak & Riksakomara, 2017). Peramalan adalah metode untuk memperkirakan atau memprediksi nilai pada masa mendatang berdasarkan data pada masa lampau (Wardah & Iskandar, 2016).

Peramalan dilakukan agar dapat melakukan beberapa hal berikut (Wardah & Iskandar, 2016):

1. Meminimalisir pengaruh ketidak pastian terhadap perusahaan.

2. Meminimalisir kesalahan meramal (*forecast error*) yang biasanya diukur dengan berbagai tolak ukur kesalahan, seperti MSE (*Mean Squared Error*), *MAE* (*Mean Absolute Error*) dan sebagainya .

Peramalan dapat memiliki kualitas atau mutu yang baik apabila prosedur atau langkah-langkah penyusunannya baik. Pada dasarnya ada beberapa langkah penting dalam peramalan, yaitu (Wardah & Iskandar, 2016):

- 1. Menganalisa data yang lalu (data *historis*) untuk mengetahui pola pada masa lalu.
- 2. Menentukan data yang dipergunakan.
- 3. Menentukan metode peramalan. Metode sangat mempengaruhi hasil peramalan, maka harus memilih metode yang dapat menghasilkan nilai peramalan yang tidak jauh beda dengan nilai aktualnya.
- 4. Data yang lalu (data *history*) diproyeksikan dengan mempertimbangkan faktor-faktor yang mempengaruhi menggunakan metode yang dipergunakan.

Terdapat beberapa hal yang harus diperhatikan dalam peramalan. Prinsip-prinsip yang perlu diperhatikan adalah sebagai berikut (Wardah & Iskandar, 2016):

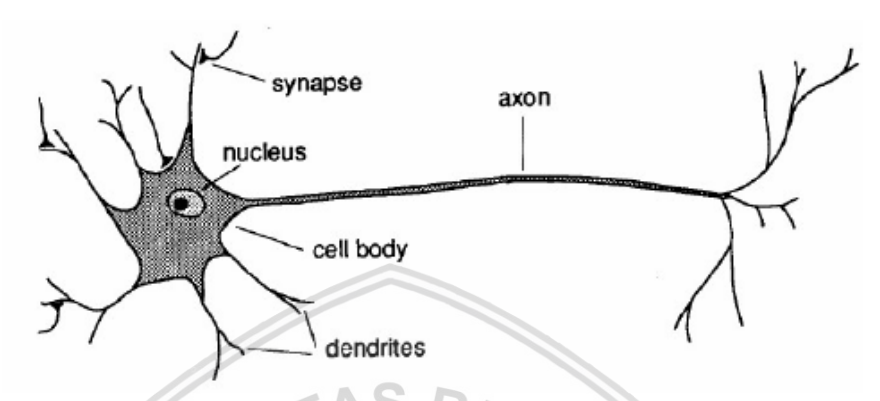
- 1. Peramalan tetap mempunyai kesalahan (*error*). Peramalan tidak menghilangkannya ketidakpastian, hanya mengurangi ketidakpastian.
- 2. Peramalan sebaiknya menggunakan tolak ukur kesalahan peramalan untuk mengetahui besar kesalahan. Tolak ukur kesalahan dapat dinyatakan dalam satuan unit atau persentase (*probability*) permintaan aktual akan jatuh dalam interval peramalan.
- 3. Peramalan jangka pendek lebih akurat dari pada peramalan jangka panjang. Hal ini disebabkan faktor yang mempengaruhi peramalan jangka pendek cenderung tidak banyak berubah atau tetap, sehingga peramalan jangka pendek lebih akurat.

2.5 Jaringan Syaraf Tiruan

Jaringan syaraf tiruan atau disebut juga *Artificial Neural Network* (ANN) adalah sistem pemrosesan informasi yang memiliki karakteristik kinerja sama dengan jaringan syaraf biologis (Fausett, 1993). Menurut Hecht-Nielsend (1988) sistem syaraf buatan adalah suatu struktur pemroses informasi yang terdistribusi dan bekerja secara paralel, dimana struktur tersebut terdiri atas elemen pemroses (elemen pemroses memiliki memori lokal dan beroperasi dengan informasi lokal) yang diinterkoneksi bersama dengan alur sinyal searah yang disebut koneksi. Setiap elemen pemroses memiliki koneksi keluaran tunggal yang bercabang (*fan out*) ke sejumlah koneksi kolateral yang diinginkan (setiap koneksi membawa sinyal yang sama dari keluaran elemen pemroses tersebut) (Pakaja, et al., 2012).

Jaringan syaraf terdiri dari sejumlah besar elemen pemrosesan sederhana yang disebut *neuron*, unit, sel, atau nodus (Fausett, 1993). Jaringan otak manusia tersusun dari 10^{13} *neuron* yang terhubung oleh sekitar 10^{15} dendrite (Pakaja, et

al., 2012). Jaringan syaraf dapat dilihat pada Gambar 2.1. Masing-masing bagian mempunyai fungsi yang berbeda. *Nucleus* adalah bagian inti dari suatu *neuron*, *dendrite* berfungsi menyampaikan sinyal dari *neuron* tersebut ke *neuron* yang terhubung dengannya, *axon* merupakan saluran keluaran dari *neuron*, dan *synapsis* berfungsi mengatur kekuatan hubungan antar *neuron* (Pakaja, et al., 2012).



Gambar 2.1 Jaringan Syaraf

Struktur dasar jaringan syaraf tiruan dapat dilihat pada Gambar 2.2. Setiap neuron terhubung ke neuron lain melalui hubungan komunikasi terarah, masing-masing memiliki bobot yang mewakili informasi yang digunakan oleh jaringan untuk memecahkan masalah (Fausett, 1993). Jaringan neuron buatan terdiri dari beberapa neuron yang memiliki lapisan (Pakaja, et al., 2012). Lapisan-lapisan tersebut adalah sebagai berikut (Razak & Riksakomara, 2017):

1. Input Layer (Lapisan Masukan)

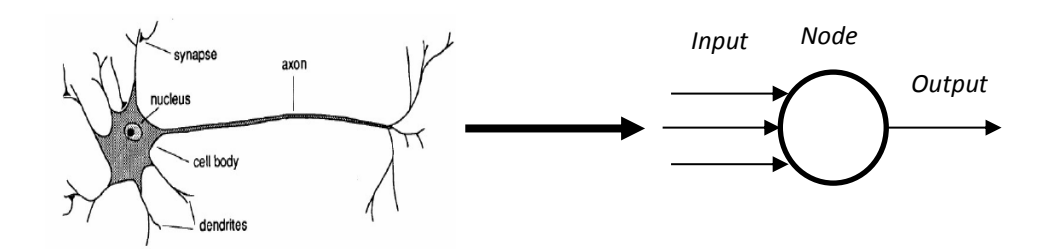
Lapisan masukan merupakan lapisan yang menghubungkan sumber data ke jaringan pemrosesan. Variabel-variabel bebas merupakan representasi masukan yang mempengaruhi keluaran (output).

2. Hidden Layer (Lapisan Tersembunyi)

Lapisan perambat variabel-variabel *input* untuk mendapatkan hasil *output* yang mendekati terbaik (hasil yang diinginkan). Suatu jaringan syaraf tiruan dapat tidak memiliki lapisan ini dan juga dapat memiliki satu *hidden layer* atau beberapa *hidden layer*.

3. Ouput Layer (Lapisan Keluaran)

Lapisan ini merupakan hasil keluaran dari pemrosesan yang telah dilakukan jaringan syaraf tiruan. Keluaran yang didapatkan bergantung pada bobot, jumlah lapisan tersembunyi (hidden layer), dan fungsi aktivasi yang ditetapkan.



Gambar 2.2 Struktur Dasar Jaringan Syaraf Tiruan

Jaringan syaraf tiruan memiliki beberapa jenis *neural network*. Berdasarkan jenis *network*nya, *neural network* terdapat tiga jenis, yaitu (Pakaja, et al., 2012):

1. Single-Layer Neural

Jaringan syaraf tiruan yang memiliki koneksi secara langsung dari jaringan input ke jaringan output.

2. Multilayer Perceptron Neural Network

Jaringan syaraf tiruan yang mempunyai hidden layer yang berada di antara input layer dan output layer. Hidden layer ini bersifat variabel, dapat digunakan lebih dari satu hidden layer.

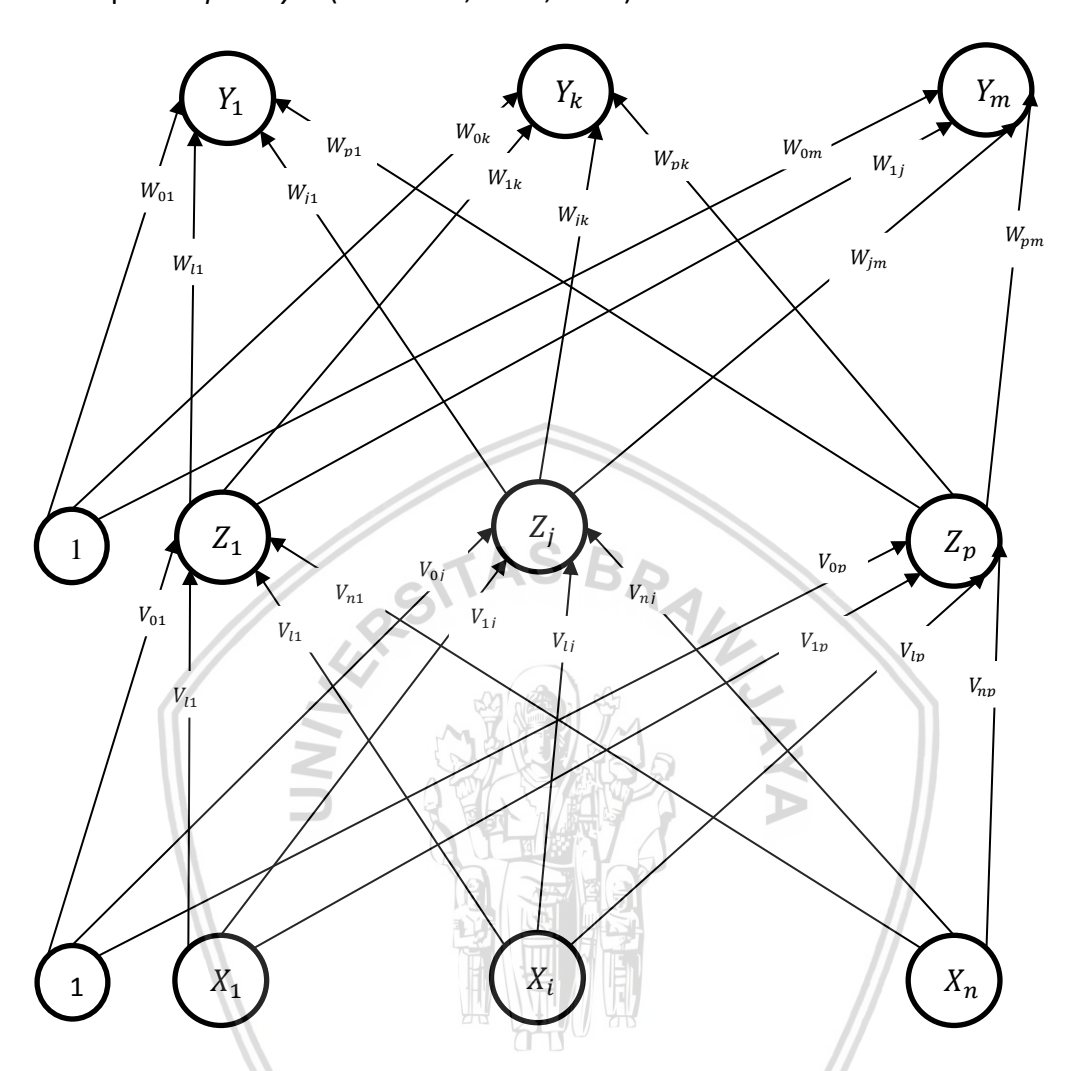
3. Recurrent Neural Networks Neural Network

Jaringan syaraf tiruan yang memiliki koneksi umpan balik dari *output layer* ke input layer.

2.6 Backpropagation

Backpropagation merupakan salah satu algoritme Jaringan Syaraf Tiruan Multilayer Perceptron Neural Network dengan pembelajaran terawasi (nilai output sudah diketahui) dimana dilakukan penyesuaian bobot secara berulang untuk mendapatkan nilai error terendah antara hasil prediksi dengan target yang diinginkan (Razak & Riksakomara, 2017). Backpropagation memiliki kelebihan yaitu bersifat adaptive (dapat menyesuaikan terhadap dataset) dan fault tolerance (kesalahan error kecil) terhadap pemecahan masalah pada sistem (Razak & Riksakomara, 2017). Sifat yang umum dari pelatihan backpropagation berarti jaringan backpropagation dapat digunakan untuk memecahkan masalah di banyak area (Fausett, 1993). Pelatihan backpropagation melibatkan tiga tahap: feedforward dari pola pelatihan input, backpropagation dari kesalahan yang terkait, dan penyesuaian bobot. Setelah pelatihan, penerapan jaringan hanya melibatkan perhitungan fase feedforward. Backpropagation terdiri dari input layer, hidden layer dan output layer (Yohannes, et al., 2015). Arsitektur backpropagation dapat dilihat pada Gambar 2.3. Menurut Heaton (2005) satu hidden layer mampu menyelesaikan berbagai masalah, sedangkan penentuan jumlah node pada hidden layer harus memenuhi aturan sebagai berikut: berada dalam interval jumlah node input maupun output layer, jumlah node pada hidden layer adalah 2/3 dari jumlah node pada input layer, ditambah dengan jumlah node

pada *output layer* dan jumlah node pada *hidden layer* kurang dari dua kali jumlah node pada *input layer* (Yohannes, et al., 2015).



Gambar 2.3 Arsitektur Backpropagation

Penjelasan simbol yang digunakan pada algoritme backpropagation terdapat di Tabel 2.2. Selama tahap feedforward (maju), setiap node masukan (X_i) menerima sinyal masukan dan mengirim sinyal ini ke setiap node tersembunyi (hidden node) Z_1 , ..., Z_p . Setiap node tersembunyi menghitung aktivasi dan mengirim sinyalnya (Z_j) ke setiap node keluaran (output node). Setiap node keluaran (Y_k) menghitung aktivasi (y_k) untuk menunjukkan respon jaringan terhadap pola masukan yang diberikan (Fausett, 1993).

Selama pelatihan, setiap node keluaran membandingkan aktivasi y_k dihitung dengan nilai target t_k untuk menentukan kesalahan yang terkait dengan pola tersebut dengan node tersebut. Berdasarkan kesalahan ini, faktor δ_k (k = 1, ..., m) dihitung. δ_k digunakan untuk mendistribusikan kesalahan pada node keluaran (output) Y_k kembali ke semua node pada lapisan sebelumnya (node tersembunyi yang terhubung ke Y_k). Hal ini juga digunakan untuk memperbarui bobot antara output dan lapisan tersembunyi (hidden layer). Dengan cara yang sama, faktor δ_i

(j=1,...,p) dihitung untuk setiap node tersembunyi (Z_j) . Hal ini tidak perlu untuk menyebarkan kesalahan kembali ke lapisan masukan (*input layer*), tapi δ_j digunakan untuk memperbarui bobot antara lapisan tersembunyi dan lapisan masukan (Fausett, 1993).

Setelah semua dari faktor δ telah ditentukan, bobot untuk semua lapisan disesuaikan secara bersamaan. Penyesuaian terhadap berat w_{jk} (dari node tersembunyi Z_j ke node keluaran Y_k didasarkan pada faktor δ_k dan aktivasi Z_i dari node tersembunyi Z_j . Penyesuaian dengan berat v_{ij} (dari node masukan X_i , ke node tersembunyi Z_j) didasarkan pada faktor δ , dan aktivasi x_i dari node masukan (Fausett, 1993).

Tabel 2.2 Parameter pada Backpropagation

Simbol	Keterangan			
Х	Input training vector.			
t	Output target vector.			
δ_k	Bagian penyesuaian koreksi kesalahan ($error$) untuk W_{jk} yang disebabkan oleh kesalahan pada node keluaran Y_k ; Juga, informasi tentang kesalahan pada node Y_k yang disebarkan kembali ke node tersembunyi yang masuk ke node Y_k .			
δ_j	Bagian penyesuaian koreksi kesalahan ($error$) untuk v_{ij} yang disebabkan oleh informasi kesalahan $backpropagation$ dari lapisan keluaran ke node tersembunyi Z_j .			
α	Learning rate. Parameter ini merupakan parameter umum dalam pembelajaran untuk mempercepat penemuan solusi optimal.			
X_i	Node masukan i . Untuk node masukan, sinyal masukan sinyal keluaran sama, yaitu x .			
v_{0j}	Bias pada node tersembunyi j			
Z_j	Node tersembunyi <i>j</i>			
	Masukan untuk Z_j dinotasikan z_in_j			
	Sinyal keluaran dari Z_j dinotasikan z_j			
w_{0k}	Bias node keluaran k			
Y_k	Node keluaran <i>k</i>			
	Masukan untuk Y_k dinotasikan y_in_k			
	Sinyal keluaran dari Y_k dinotasikan y_k			

$$z_{-}in_{j} = v_{0j} + \sum_{i=1}^{n} x_{i} v_{ij}$$
 (2.1)

$$z_j = f(z_i n_j) (2.2)$$

$$y_{i}n_{k} = w_{0k} + \sum_{j=1}^{p} z_{j} w_{jk}$$
 (2.3)

$$y_k = f(y_i n_k) (2.4)$$

$$f_1(x) = \frac{1}{1 + \exp(-x)}$$
 (2.5)

$$f_1' = f_1(x) [1 - f_1(x)]$$
 (2.6)

$$f_2(x) = \frac{1}{1 + \exp(-x)} - 1 \tag{2.7}$$

$$f_2' = \frac{1}{2} \left[1 - f_2(x) \right] \left[1 - f_2(x) \right] \tag{2.8}$$

$$tahn(x) = \frac{e^x - e^{-x}}{e^x + e^{-x}}$$
 (2.9)

$$\delta_k = (t_k - y_k)f'(y_i n_k)$$
 (2.10)

$$\Delta w_{jk} = \alpha \delta_k z_j \tag{2.11}$$

$$\Delta w_{0k} = \alpha \delta_k \tag{2.12}$$

$$\delta_{-}in_{j} = \sum_{k=1}^{m} \delta_{k}w_{jk}$$
 (2.13)

$$\delta_j = \delta_{-}in_j f'(z_{-}in_j) \tag{2.14}$$

$$\Delta v_{ij} = \alpha \delta_j x_i \tag{2.15}$$

$$\Delta v_{0j} = \alpha \delta_j \tag{2.16}$$

$$w_{jk}(new) = w_{jk}(old) + \Delta w_{jk}$$
 (2.17)

$$v_{ij}(new) = v_{ij}(old) + \Delta v_{ij}$$
 (2.18)

Langkah-langkah untuk melakukan pelatihan pada algoritme *backpropagation* adalah sebagai berikut (Fausett, 1993):

- Langkah 1 Inisialisasi bobot dan bias. Inisialisasi bobot dan bias bisa dilakukan dengan melakukan *random initialization*. Umumnya, menginisialisasi bobot (dan bias) ke nilai acak antara -0,5 dan 0,5.
- Langkah 2 Melakukan langkah 3 hingga langkah 8 selama kondisi berhenti belum terpenuhi.

Feedforward

- Langkah 3 Setiap node masukan $(X_i, i = 1, ..., n)$ menerima sinyal masukan x_i dan mengirim sinyal tersebut ke seluruh node pada lapisan berikutnya (hidden layer atau lapisan tersembunyi).
- Langkah 4 Setiap node tersembunyi $(Z_j, j = 1, ..., p)$, menjumlahkan bobot sinyal input dengan Persamaan 2.1 dan keluarannya dihitung dengan menerapkan fungsi aktivasi yaitu Persamaan 2.2. Fungsi aktivasi sendiri dapat dihitung dengan Persamaan 2.5, Persamaan 2.7 dan Persamaan 2.9.
- Langkah 5 Setiap node keluaran $(Y_k, k = 1, ..., m)$ memasukkan sinyal masukan yang memiliki bobot dengan Persamaan 2.3 dan keluarannya dihitung dengan menerapkan fungsi aktivasi yaitu Persamaan 2.4 Fungsi aktivasi sendiri dapat dihitung dengan Persamaan 2.5, Persamaan 2.7 dan Persamaan 2.9.

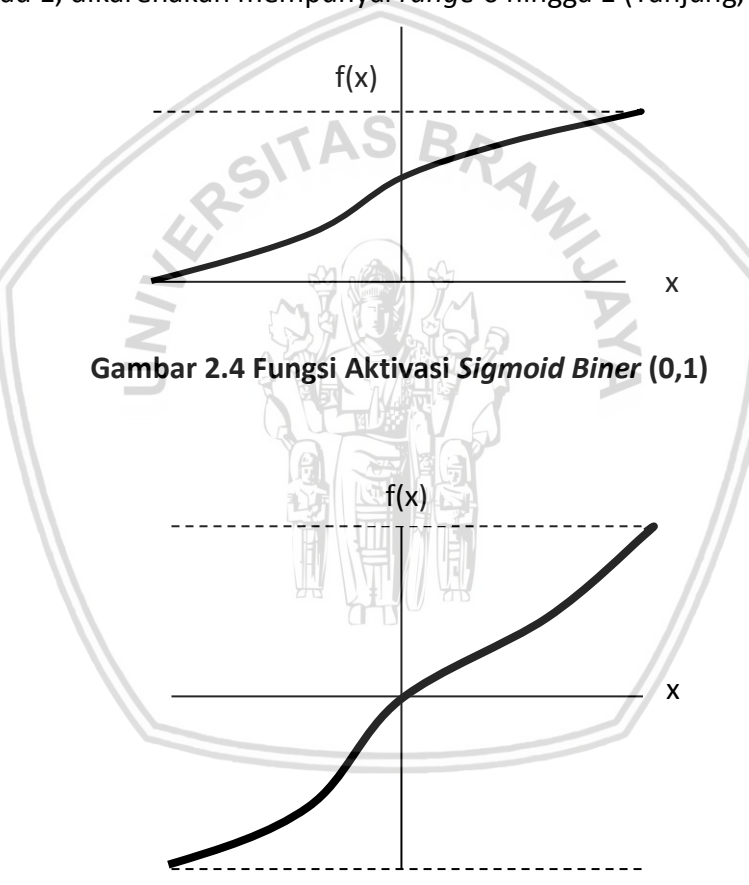
Backpropagation

- Langkah 6 Setiap node keluaran $(Y_k, k=1, ..., m)$ menerima pola target yang sesuai dengan pola pelatihan masukan, menghitung koreksi *error*nya dengan Persamaan 2.10, hitung koreksi bobotnya dengan Persamaan 2.11 dan hitung koreksi biasnya dengan Persamaan 2.12. δ_k dikirim ke lapisan berikutnya.
- Langkah 7 Setiap node tersembunyi $(Z_j, j = 1, ..., p)$ menjumlahkan delta masukan (dari lapisan sebelumnya) dengan Persamaan 2.13 dikalikan dengan fungsi aktivasi agar mengetahui koreksi *error*-nya dengan Persamaan 2.14. Hitung koreksi bobotnya dengan Persamaan 2.15 dan koreksi biasnya dengan Persamaan 2.16.

Update bobot dan bias

Langkah 8 Setiap node keluaran $(Z_j, j = 1, ..., p)$ update bias dan bobot (j = 0, ..., p) dengan Persamaan 2.17. Setiap node tersembunyi $(Z_j, j = 1, ..., p)$ update bias dan bobot (i = 0, ..., n) dengan Persamaan 2.18.

Fungsi aktivasi pada algoritme backpropagation memiliki karakteristik kontinyu, terdeferensial dan monotonically non-decreasing (tidak menurun secara monotis) (Fausett, 1993). Fungsi aktivasi yang paling sering digunakan adalah fungsi aktivasi sigmoid biner dan fungsi aktivasi sigmoid bipolar. Fungsi aktivasi sigmoid bipolar erat kaitannya dengan fungsi aktivasi arctangent. Fungsi aktivasi sigmoid biner dapat dilihat pada Persamaan 2.5 dan fungsi aktivasi sigmoid bipolar dapat dilihat pada Persamaan 2.7, sedangkan fungsi aktivasi arctangent dapat dilihat pada Persamaan 2.9. Fungsi aktivasi sigmoid biner memiliki nilai pada range 0 hingga 1, sedangkan fungsi aktivasi sigmoid bipolar memiliki nilai pada range -1 hingga 1. Fungsi aktivasi sigmoid biner digambarkan pada Gambar 2.4 dan fungsi aktivasi sigmoid bipolar pada Gambar 2.5. Fungsi aktivasi sigmoid biner digunakan untuk jaringan syaraf yang membutuhkan nilai output antara 0 hingga 1 dan 0 atau 1, dikarenakan mempunyai range 0 hingga 1 (Tanjung, 2014-2015).



Gambar 2.5 Fungsi Aktivasi Sigmoid Bipolar (-1,1)

2.6.1 Normalisasi dan Denormalisasi data

Data yang akan digunakan pada perhitungan *backpropagation* harus memiliki nilai sesuai *range* fungsi aktivasi. Jika nilai pada data tidak sesuai *range*, maka perlu dilakukan normalisasi (Rachman, et al., 2018). Agar nilai pada data dapat bernilai 0 hingga 1, dapat menggunakan Persamaan 2.19 (Cynthia & Ismanto, 2017). Hasil

dari *backpropagation* juga perlu dilakukan denormalisasi agar menghasilkan nilai yang sesuai dengan data. Denormalisasi dilakukan dengan Persamaan 2.20.

$$x' = \frac{x - min}{\max - min} \tag{2.19}$$

$$y = y' (\max - \min) + \min$$
 (2.20)

Keterangan:

x': nilai hasil normalisasi

x: nilai sebelum dinormalisasi

y': nilai sebelum didenormalisasi

y : nilai hasil denormalisasi

max : nilai maksimum yang terdapat pada dataset

min : nilai minimum yang terdapat pada dataset

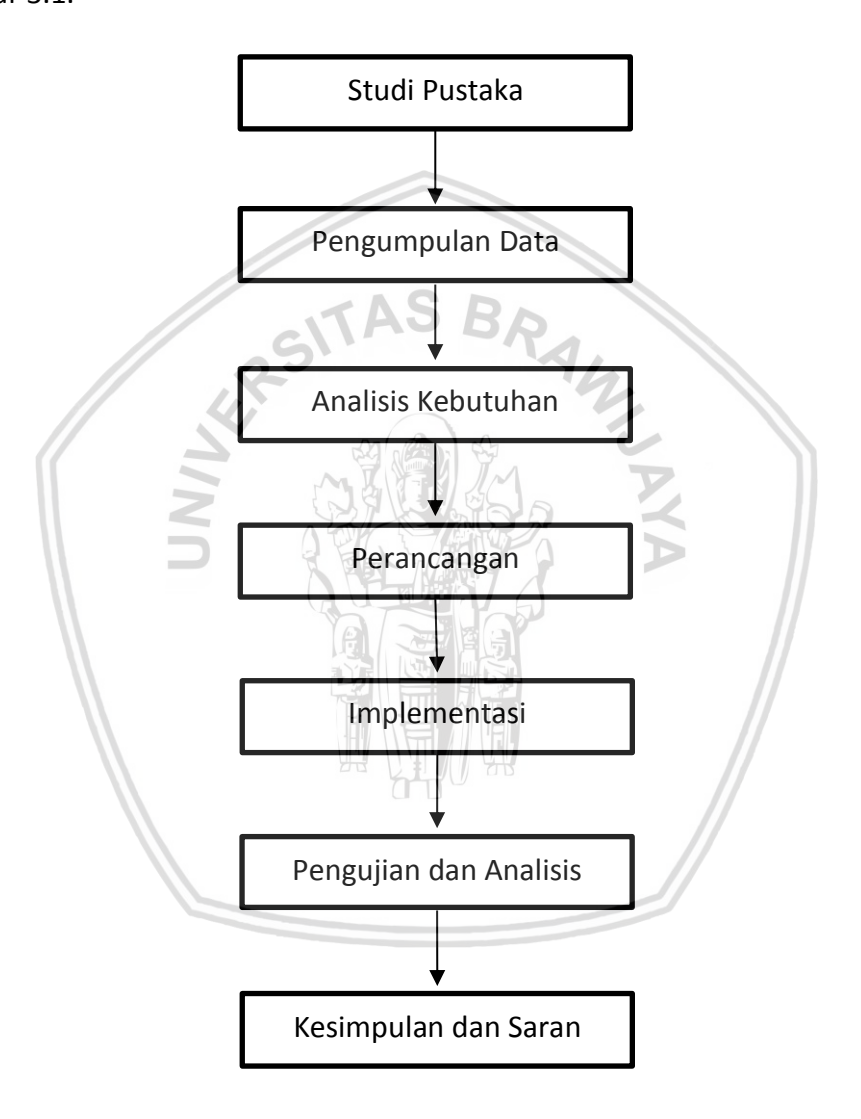
2.6.2 Mean Squared Error (MSE)

Mean square error (MSE) adalah salah satu metode yang digunakan untuk menguji kesalahan pada peramalan (Yohannes, et al., 2015). Untuk menghitung Mean Squared Error dapat dilihat pada Persamaan 2.21, dengan penjelasan F_i adalah peramalan (forecast) pada periode-i, X_i adalah permintaan aktual pada periode-i dan n adalah jumlah periode peramalan yang terlibat (Augustine & Manuharawati, 2017).

$$MSE = \frac{\sum_{i=1}^{n} |X_i - F_i|^2}{n}$$
 (2.21)

BAB 3 METODOLOGI

Metodologi penelitian adalah suatu sistematik tahapan penelitian untuk menyelesaikan masalah yang ada pada penelitian. Metodologi penelitian yang dilakukan pada penelitian ini ada beberapa tahapan yaitu studi pustaka, pengumpulan data, analisis kebutuhan, perancangan, implementasi, pengujian dan analisis, serta kesimpulan dan sara. Metodologi penelitian dapat dilihat pada Gambar 3.1.



Gambar 3.1 Metodologi Penelitian

3.1 Studi Pustaka

Studi pustaka adalah metode untuk mendapatkan teori pendukung yang berkaitan dengan penelitian dan menjadi dasar dalam penelitian ini. Pustaka pada penelitian dapat diperoleh dari buku, ebook , jurnal dan dokumentasi *project*. Teori yang ada pada studi pustaka penelitian ini adalah sebagai berikut:

- a. Spare Part
- b. Persediaan
- c. Peramalan
- d. Jaringan Syaraf Tiruan
- e. Algoritme Backpropagation

3.2 Pengumpulan Data

Data yang digunakan pada penelitian ini didapatkan dari satu *dealer* Yamaha Motor, yaitu Pangestu Utomo Motoryang terletak di Candi, Sidoarjo. Data yang digunakan meliputi data *history* penjualan *spare part*. Data yang digunakan adalah perbulan dan terdapat 60 bulan data. Data tersebut sebagian akan digunakan sebagai data latih dan sebagian digunakan sebagai data uji.

3.3 Analisis Kebutuhan AS BA

Analisis kebutuhan dilakukan untuk mengetahui kebutuhan yang harus ada dalam merancang, mengimplementasi dan menguji. Analisis kebutuhan ini juga akan dilakukan pada Pangestu Utomo Motor. Analisis kebutuhan akan dilakukan dengan cara wawancara kepada pemilik dan karyawan Pangestu Utomo Motor. Hasil wawancara terdapat pada Lampiran B. Kebutuhan minimal yang digunakan dalam perancangan, implementasi dan pengujian adalah sebagai berikut:

- 1. Hardware yang dibutuhkan adalah laptop dengan spesifikasi sebagai berikut:
 - Prosesor Intel Quad Core / i3
 - RAM 4 GB
- 2. Software yang dibutuhkan, meliputi:
 - Sistem operasi, sistem operasi yang digunakan adalah windows
 - Netbean sebagai IDE bahasa pemrograman java
 - Microsoft Office untuk perhitungan manual dan penempatan data

3.4 Perancangan

Perancangan berisi rancangan kerja yang akan dibangun. Tujuan perancangan ini agar mempermudah implementasi dan pengujian algoritme. Langkah-langkah yang dilakukan dalam perancangan, yaitu:

- 1. Perancangan peramalan persediaan *spare part* menggunakan algoritme *backpropagation*.
- 2. Perancangan antarmuka untuk mempermudah pembuatan program. Perancangan antarmuka akan dijelaskan dalam bentuk gambar sederhana.

3.5 Implementasi

Implementasi peramalan persediaan *spare part* menggunakan algoritme *backpropagation* adalah menerapkan hal-hal yang telah didapat dalam proses

studi literatur dan representasi perancangan. Fase-fase yang ada di dalam implementasi antara lain:

- 1. Menerapkan algoritme *backpropagation* untuk peramalan persediaan *spare* part sepeda motor pada program dengan bahasa java menggunakan IDE Netbeans.
- 2. Membuat tampilan antarmuka agar lebih mudah digunakan dan dipahami.

3.6 Pengujian

Pengujian yang dilakukan adalah pengujian jumlah iterasi, jumlah node *input layer*, jumlah node *hidden layer* dan learning rate (α). Dari pengujian tersebut dapat diketahui nilai terbaik jumlah node *input layer*, jumlah node *hidden layer*, jumlah iterasi dan learning rate (α) yang dapat digunakan untuk melakukan peramalan persediaan *spare part* sepeda motor menggunakan algoritme *backpropagation*. Diharapkan dengan menggunakan nilai terbaik dapat menghasilkan hasil peramalan yang lebih baik.

3.7 Kesimpulan dan Saran

Setelah melakukan semua tahapan penelitian, maka akan disimpulkan hasil dari penelitian yang diusulkan ini. Kesimpulan penelitian ini bisa berisi hasil peramalan menggunakan backpropagation, hasil nilai error peramalan menggunakan backpropagation, perbandingan nilai aktual dengan nilai hasil peramalan dan mengetahui kelebihan serta kekurangan dari penelitian ini. Saran didasarkan atas hasil temuan pada penelitian yang dilakukan. Saran berisi kekurangan yang ada penelitian ini dan memberikan penjelasan apa yang dapat diperbaiki untuk penelitian selanjutnya.

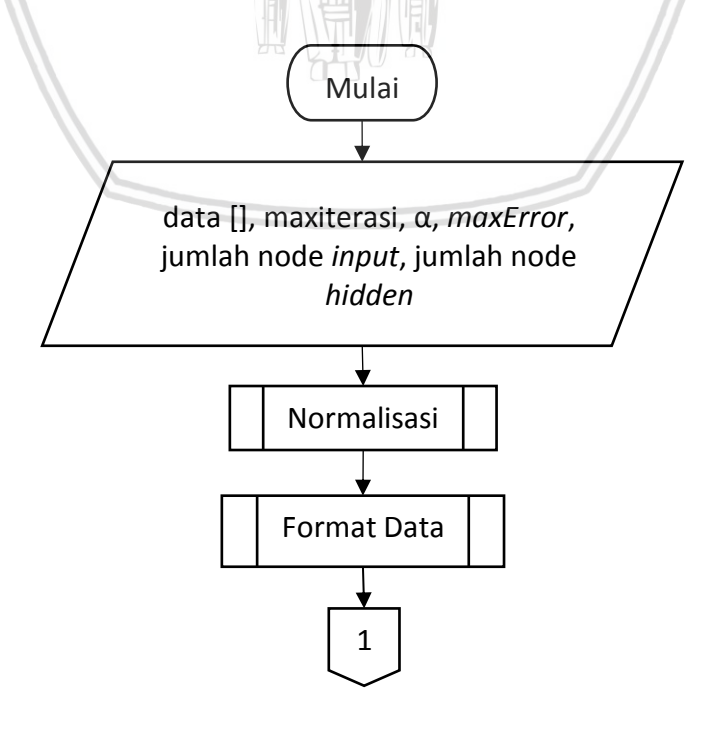
BAB 4 PERANCANGAN

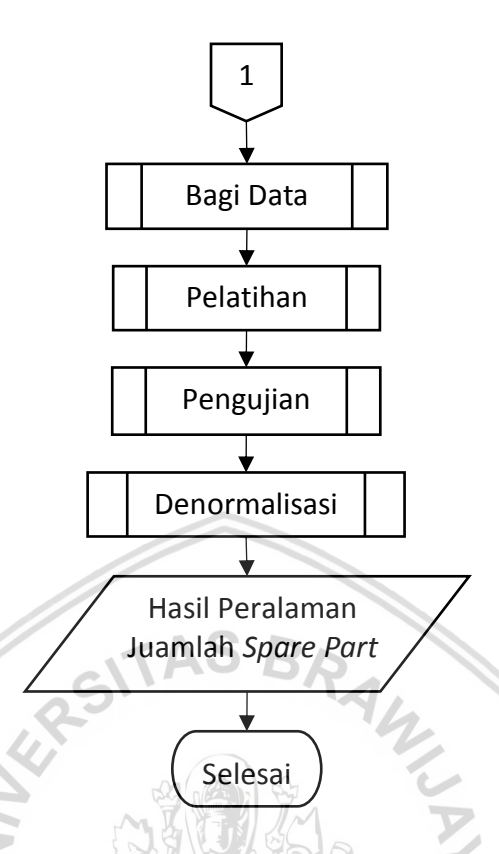
4.1 Formulasi Permasalahan

Permasalahan persediaan seringkali dialami oleh salah satu dealer Yamaha Motor di Candi Sidoarjo, yaitu Pangestu Utomo Motor. Dimana persediaan spare part yang dimiliki tidak sesuai dengan kebutuhan sehingga mengakibatkan kerugian secara materi maupun non materi. Permasalahan yang akan diselesaikan pada penelitian ini adalah peramalan persediaan spare part sepeda motor pada Pangestu Utomo Motor. Spare part yang akan diramalkan pada penelitian ini adalah spare part yang masuk dalam kategori fast moving pada Pangestu Utomo Motor, yaitu oli yamalube matic. Input-an yang digunakan merupakan data history beberapa bulan sebelumnya dan akan menghasilkan output jumlah persediaan spare part untuk bulan berikutnya.

4.2 Perancangan Peramalan Persediaan Spare Part

Algoritme yang akan digunakan untuk menyelesaikan permasalahan yang ada adalah backpropagation. Pada sub bab ini dijelaskan alur atau urutan proses peramalan persediaan spare part menggunakan algoritme backpropagation dalam penyelesaian permasalahan ini. Secara umum, perancangan peramalan persediaan spare part sepeda motor menggunakan algoritme backpropagation dijelaskan dengan diagram alir pada Gambar 4.1. Berdasarkan diagram alir tersebut dapat dijelaskan bahwa data dan nilai-nilai yang diinputkan, diproses pada beberapa tahapan yaitu normalisasi; format data; bagi data; pelatihan; pengujian dan denormalisasi. Algortime backpropagation terdapat pada proses pelatihan dan pengujian.

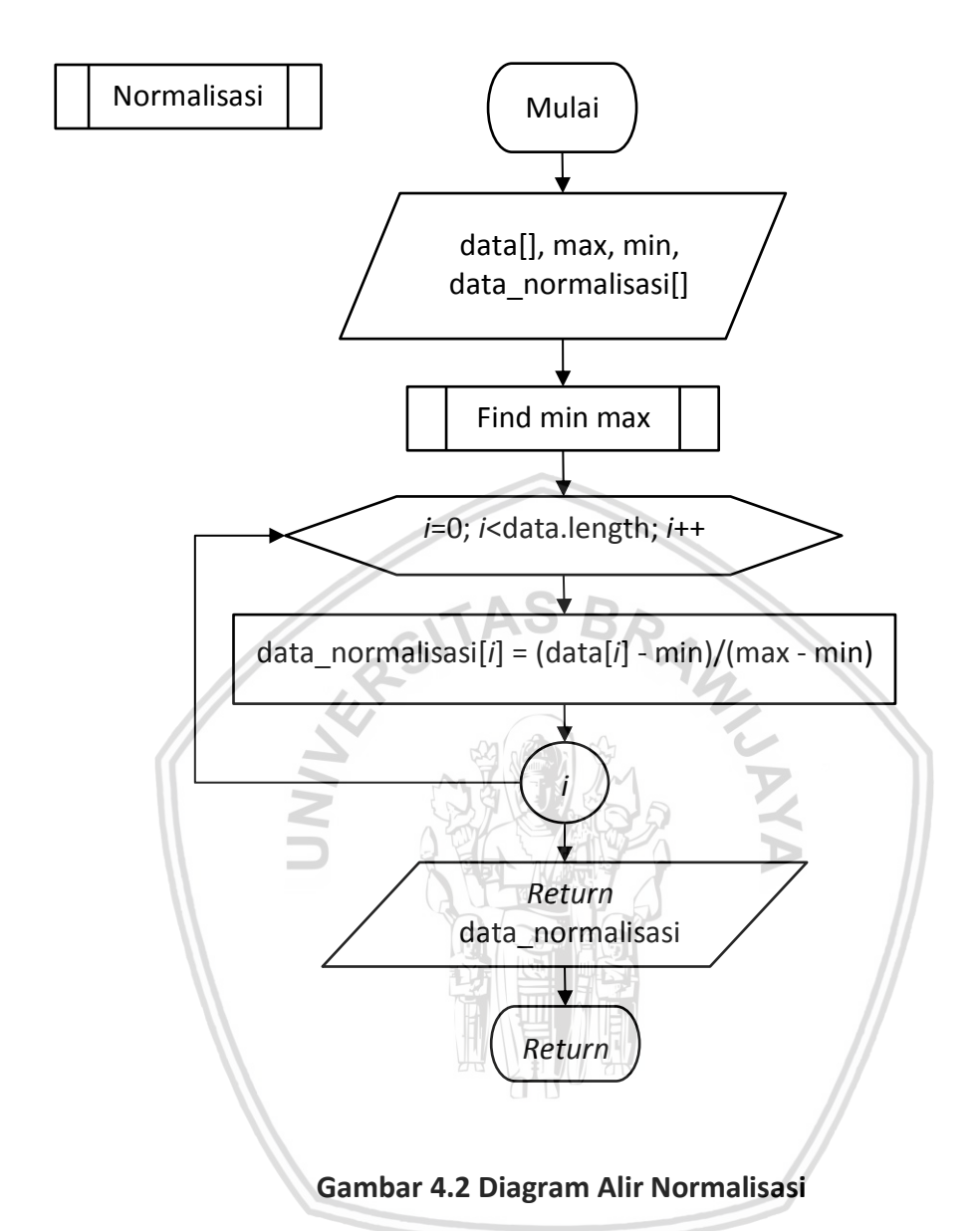




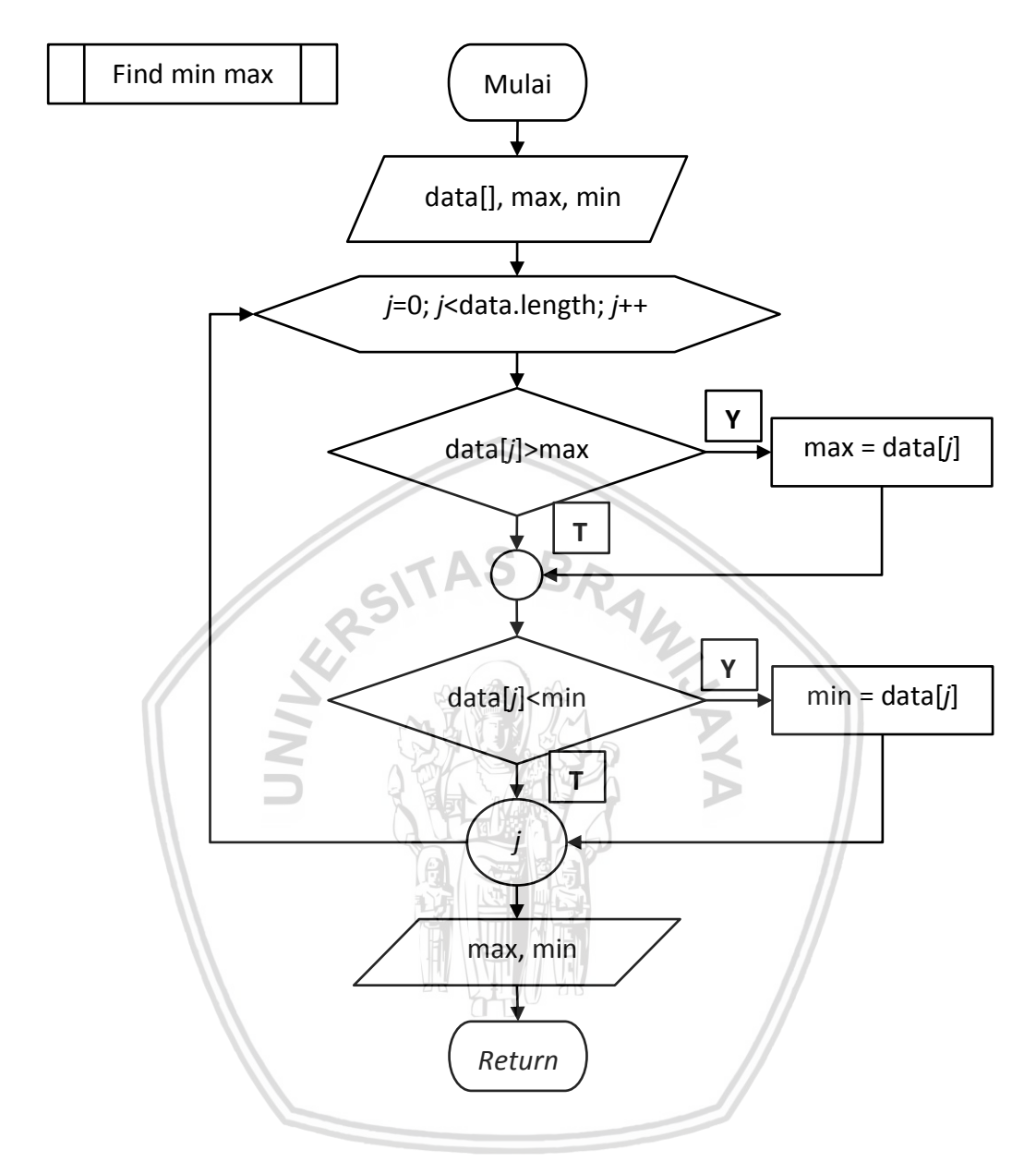
Gambar 4.1 Diagram Alir Perancangan Peramalan

4.2.1 Normalisasi

Fungsi aktivasi yang digunakan pada peramalan ini adalah fungsi aktivasi sigmoid biner. Fungsi aktivasi sigmoid biner memiliki nilai pada range 0 hingga 1, sehingga data yang akan digunakan pada perhitungan peramalan pesediaan menggunakan backpropagation harus memiliki nilai sesuai range fungsi aktivasi. Nilai pada dataset peramalan ini belum memenuhi range aktivasi yang digunakan, oleh karena itu dilakukan normalisasi dengan Persamaan 2.19. Perancangan normalisasi digambarkan dengan diagram alir pada Gambar 4.2. Ketika fungsi normalisasi dijalankan, pertama yang dilakukan adalah menetukan variabel yang akan digunakan dalam proses yaitu dataset(data[]), nilai maximal pada dataset (max), nilai minimal pada dataset (min) dan panjang hasil normalisasi (data_normalisasi[]). Nilai maximal dan minimal yang digunakan pada normalisasi dengan Persamaan 2.19 hingga banyaknya dataset.



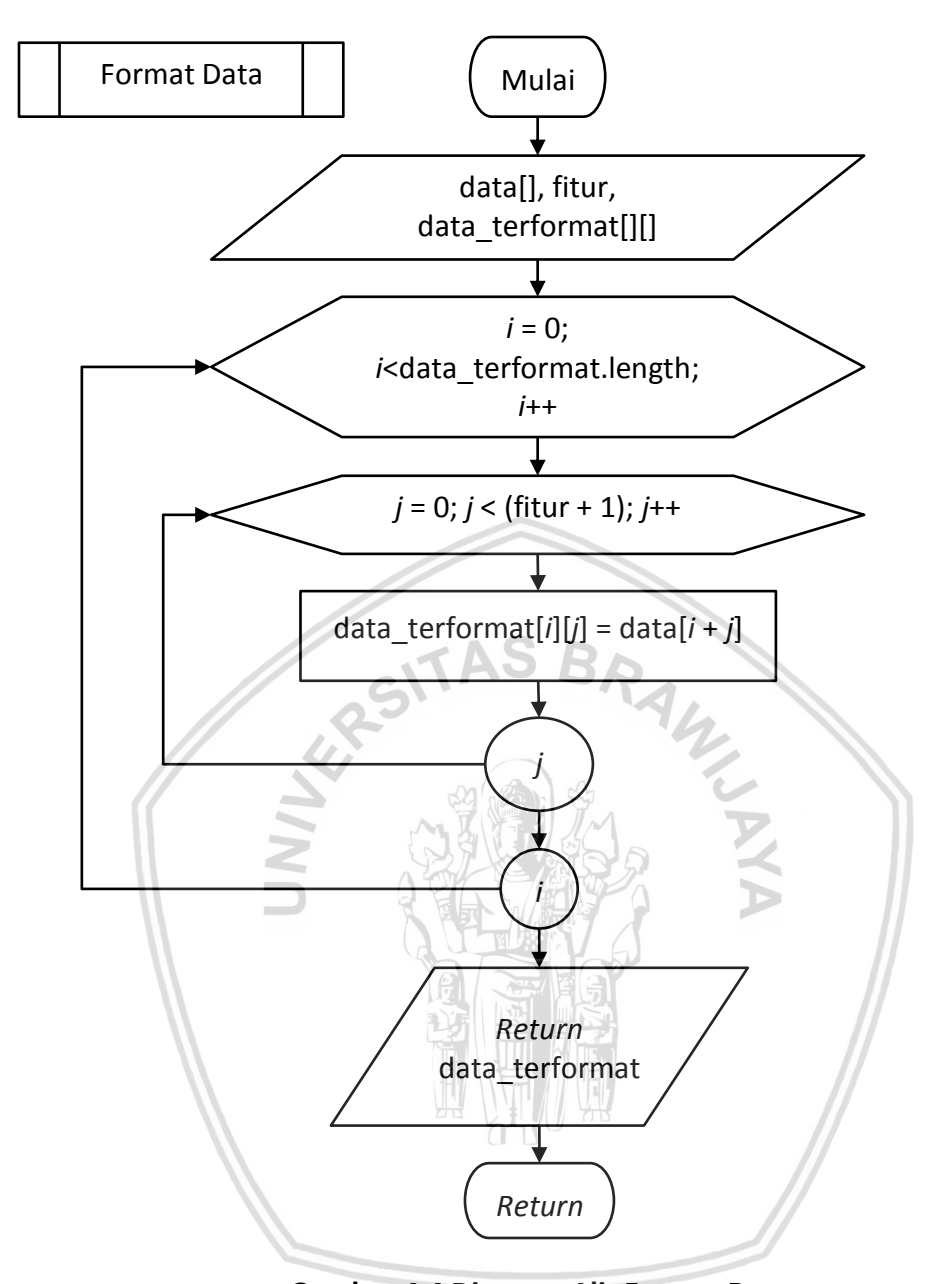
Nilai maximal dan nilai minimal yang digunakan pada proses normalisasi didapatkan dari nilai maximal dan nilai minimal pada dataset. Perancangan untuk menemukan nilai maximal dan minimal digambarkan dengan diagram alir pada Gambar 4.3. Melakukan perhitungan untuk menemukan nilai maximal dan minimal dengan *input*an dataset yang akan digunakan yaitu *data*. Kemudian menetapkan nilai *max* dan *min* awal. Perhitungan dilakukan pada semua data (dilakukan perulangan). Jika nilai data lebih besar dari nilai *max*, maka nilai *max* menjadi nilai data tersebut dan jika nilai data lebih kecil dari nilai *min*, maka nilai *min* menjadi nilai data tersebut.



Gambar 4.3 Diagram Alir Mencari Nilai Maximal dan Minimal

4.2.2 Format Data

Proses format data untuk mengolah dataset menjadi data yang memiliki sejumlah fitur yang telah ditentukan dan target serta menentukan nilai data tersebut. Perancangan format data digambarkan dengan diagram alir pada Gambar 4.4. Panjang data_terformat ditentukan berdasarkan banyaknya data dan fitur. Perulangan dilakukan selama i kurang dari panjang data dan j kurang dari nilai fitur ditambah 1. Nilai data_terformat pada elemen baris ke-i dan elemen kolom ke-j adalah nilai data ke-(i ditambah j).

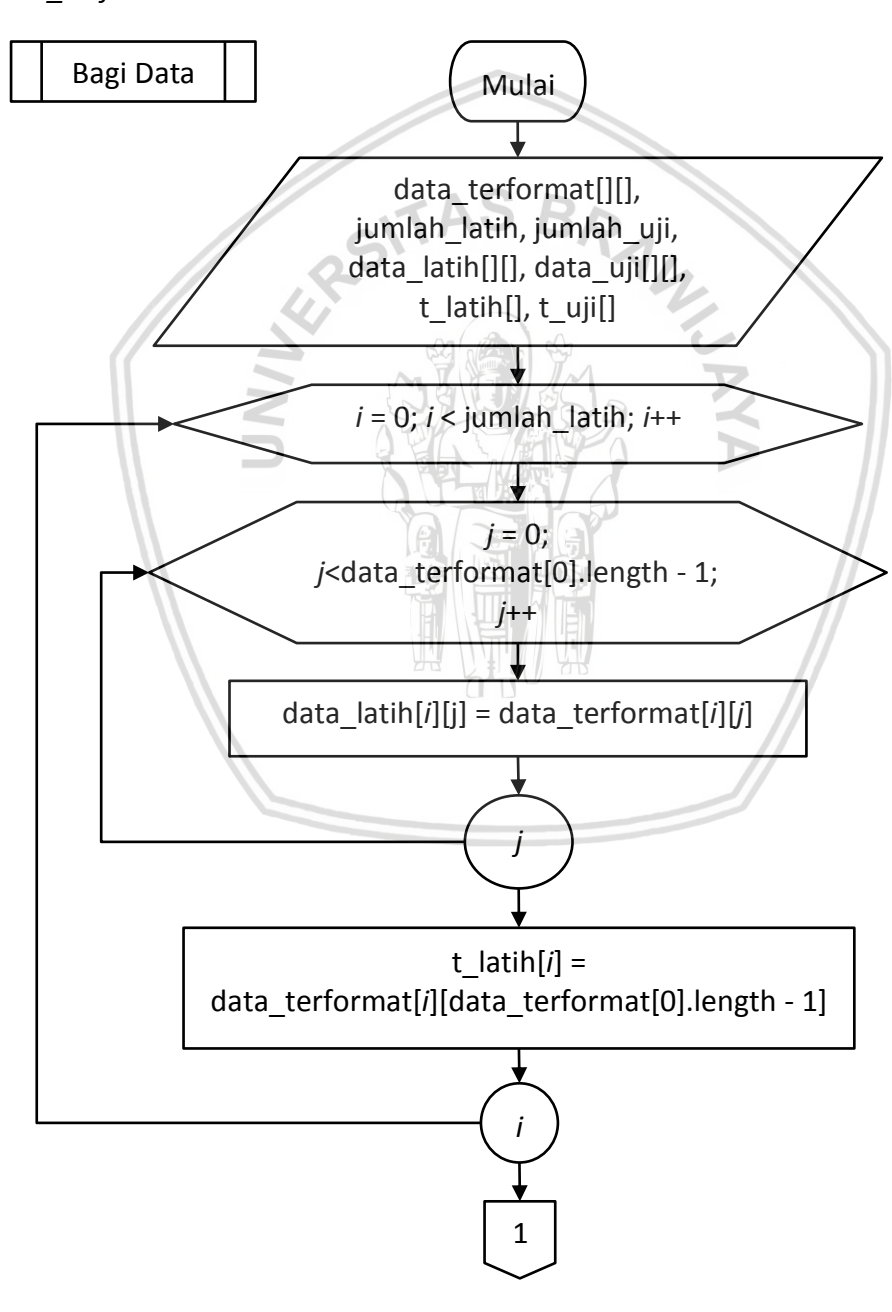


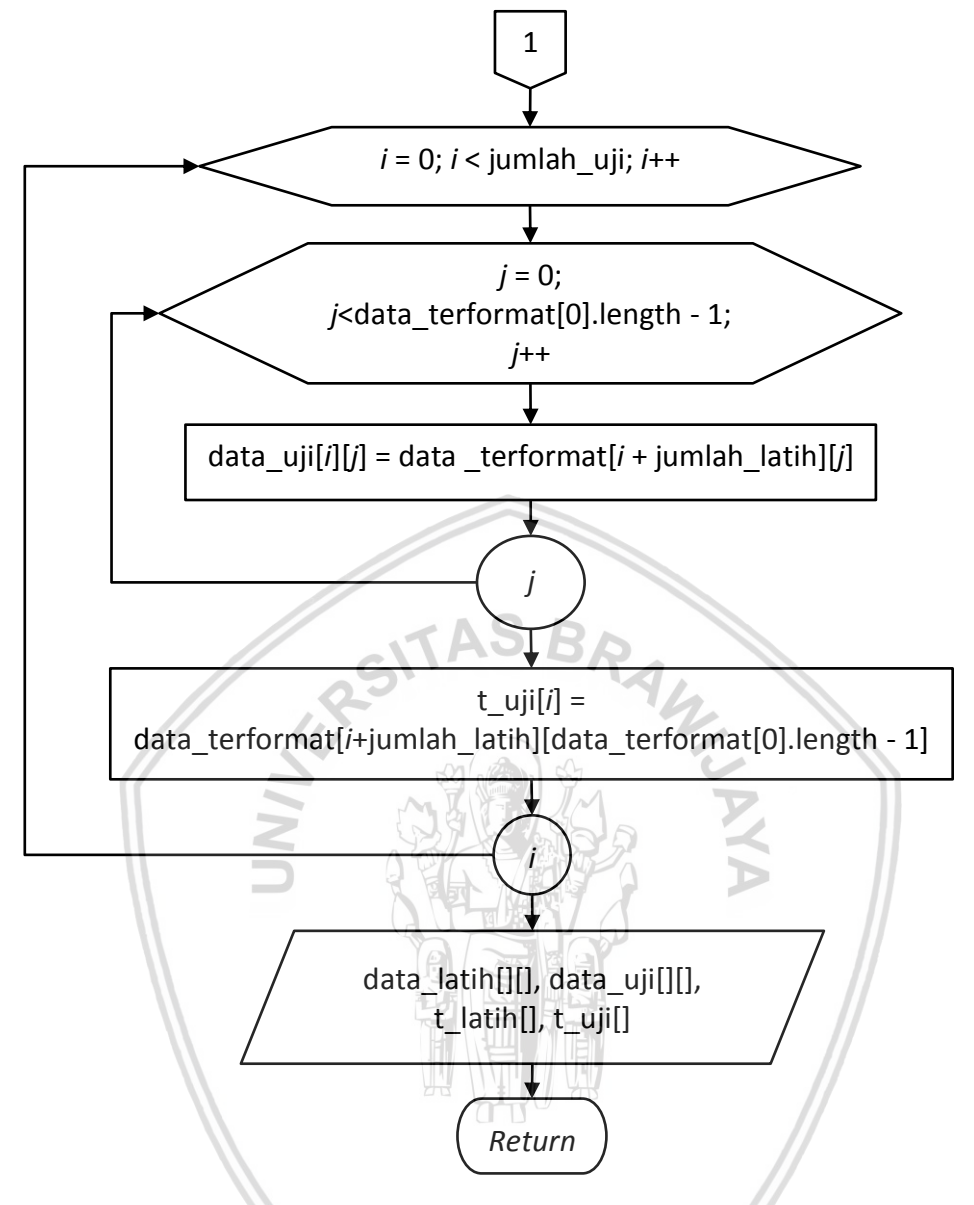
Gambar 4.4 Diagram Alir Format Data

4.2.3 Bagi Data

Proses bagi data untuk membagi data yang telah melalui proses data format menjadi data latih serta data uji. Perancangan bagi data digambarkan dengan diagram alir pada Gambar 4.5. Hasil pada proses format digunakan pada bagi data, data_terformat dibagi menjadi data latih dan data uji. Pada proses ini juga akan diketahui target pada setiap data. Panjang data_latih, data_uji, t_latih dan t_uji diketahui berdasarkan jumlah_latih dan jumlah_uji yang ditentukan. Untuk mendapatkan nilai data_latih dilakukan perulangan selama kondisi i kurang dari jumlah_latih dan j kurang dari panjang elemen baris data_terformat dikurangi satu, nilai data_latih pada elemen baris ke-i dan elemen kolom ke-j adalah nilai data_terformat pada elemen baris ke-i dan elemen kolom ke-j. Untuk

mendapatkan nilai *t_latih* dilakukan perulangan selama kondisi *i* kurang dari *jumlah_latih*, nilai *t_latih* ke-*i* adalah nilai *data_terformat* pada elemen baris ke-*i* dan elemen kolom ke- panjang elemen baris *data_terformat*. Untuk mendapatkan nilai *data_uji* dilakukan perulangan selama kondisi *i* kurang dari *jumlah_uji* dan *j* kurang dari panjang elemen baris *data_terformat* dikurangi satu, nilai *data_uji* pada elemen baris ke-*i* dan elemen kolom ke-*j* adalah nilai *data_terformat* pada elemen baris ke- *i* ditambah *jumlah_latih* dan elemen kolom ke-*j*. Untuk mendapatkan nilai *t_uji* dilakukan perulangan selama kondisi *i* kurang dari *jumlah_uji*, nilai *t_iji* ke-*i* adalah nilai *data_terformat* pada elemen baris ke- *i* ditambah *jumlah_latih* dan elemen kolom ke- panjang elemen baris *data terformat*.



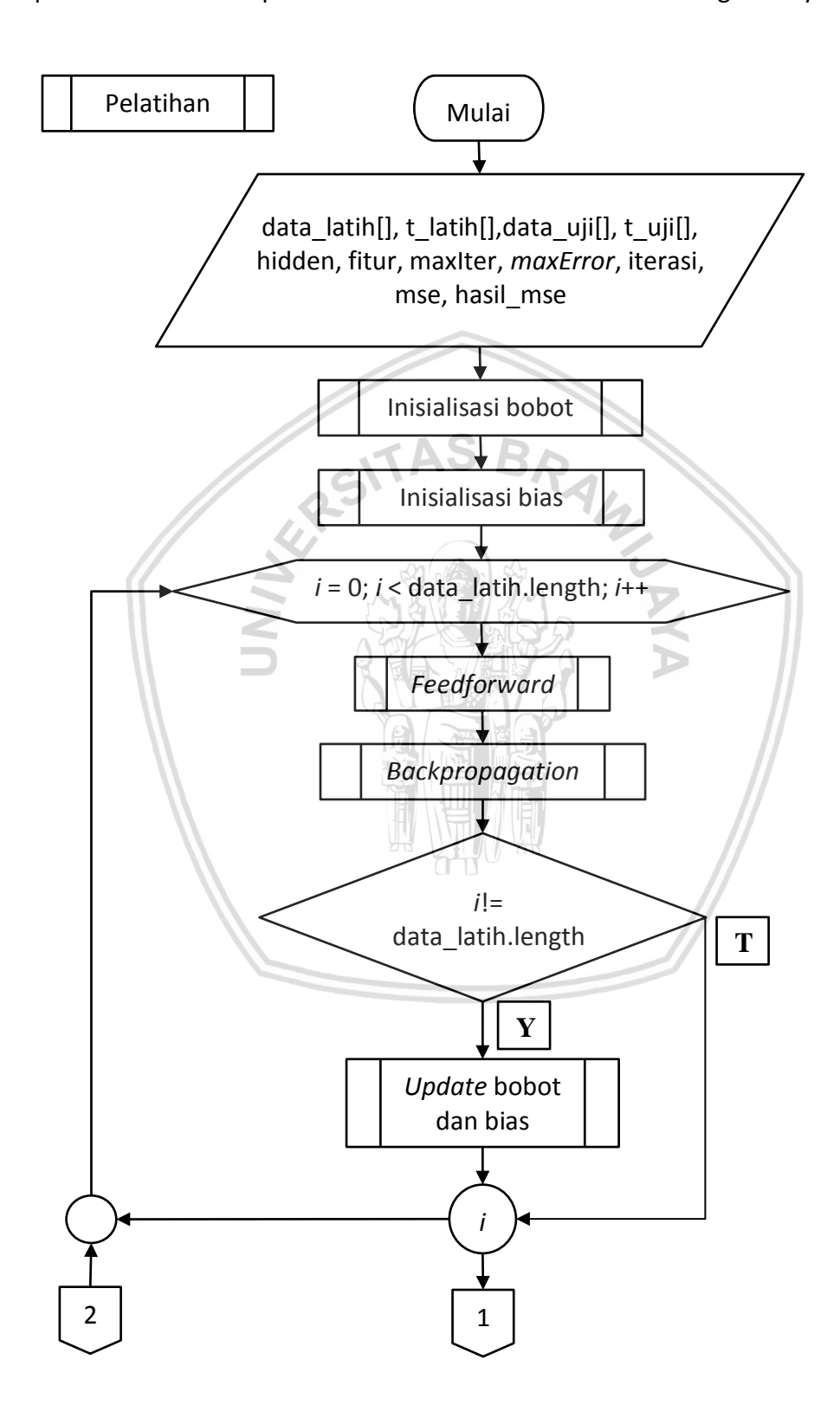


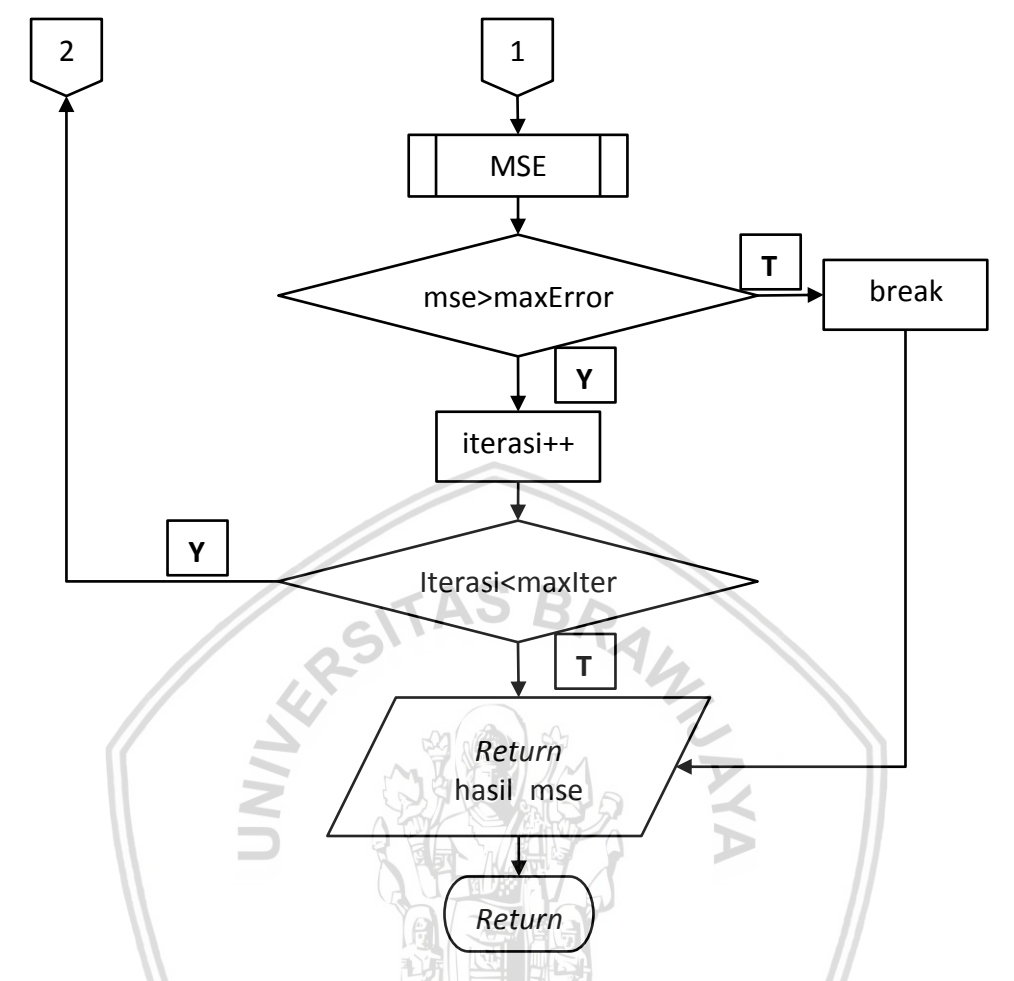
Gambar 4.5 Diagram Alir Bagi Data

4.2.4 Pelatihan

Pelatihan atau *training* dilakukan untuk melatih jaringan syaraf tiruan menggunakan data *input*-an. Pelatihan ini bertujuan untuk mendapatkan bobot yang optimal. Bobot hasil pelatihan digunakan untuk menghitung pada proses pengujian. *Backpropagation* memiliki 3 proses utama, yaitu *feedforward*, *backpropagation* dan *update* bobot dan bias. Perancangan pelatihan *backpropagation* digambarkan dengan diagram alir pada Gambar 4.6. Proses pelatihan dimulai dengan menentukan variabel dan parameter yang digunakan pada proses pelatihan, yaitu *data_latih*[], *t_latih*[], *data_uji*[], *t_uji*[], *hidden*, *fitur*, *maxIter*, *maxError*, *iterasi*, *mse*. Pada pelatihan, akan dilakukan inisialisasi bobot dan inisialisasi bias terlebih dahulu. Proses selanjutnya dilakukan selama belum mencapai *stop condition* (*mse>max_error* dan *iterasi<max_Iter*). Proses yang

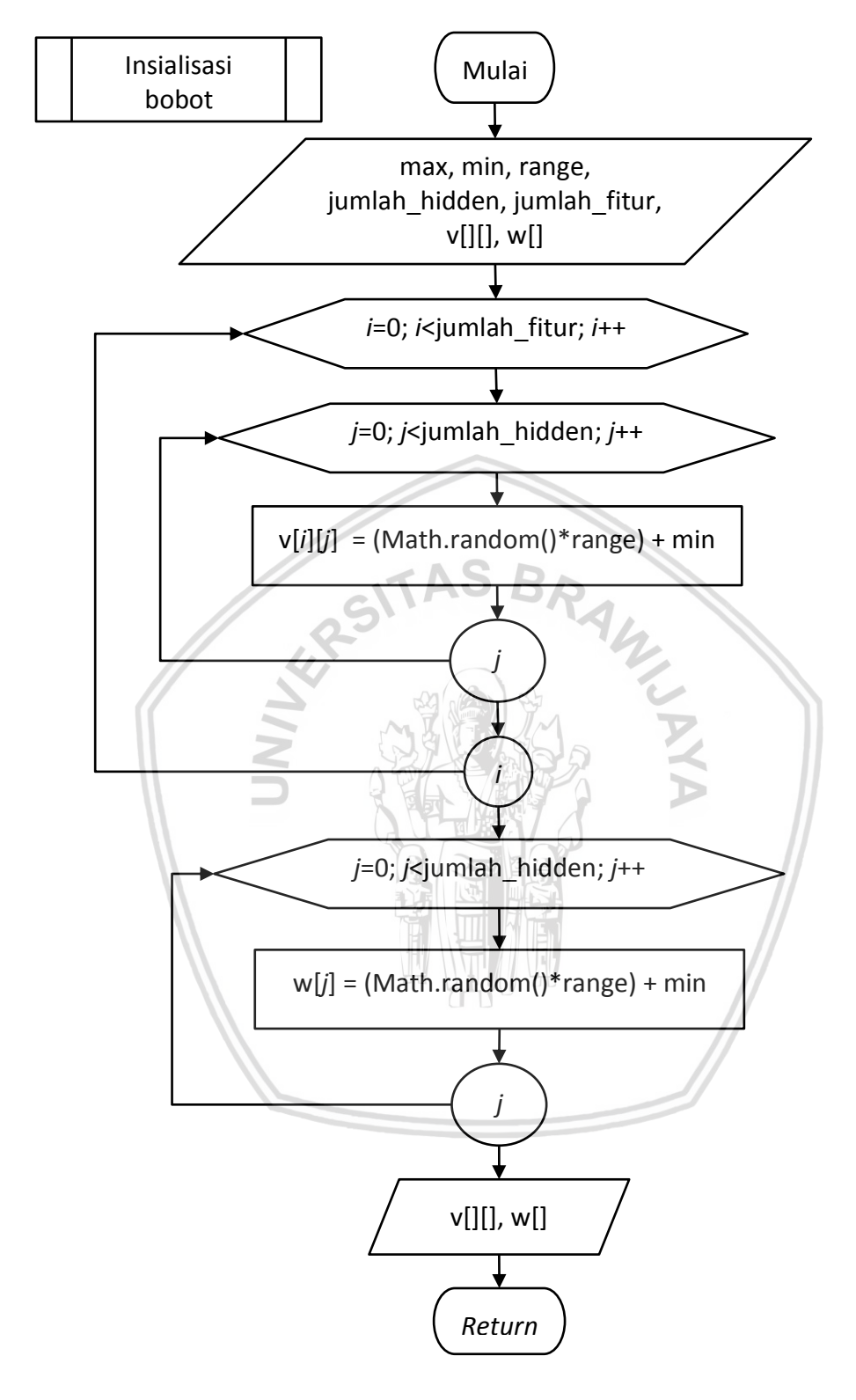
dilakukan adalah feedforward, backpropagation dan update bobot serta bias. Proses ini dilakukan sebanyak jumlah data latih dan update bobot serta bias dilakukan apabila belum mencapai data latih terakhir. Kemudian dihitung MSEnya.





Gambar 4.6 Diagram Alir Pelatihan

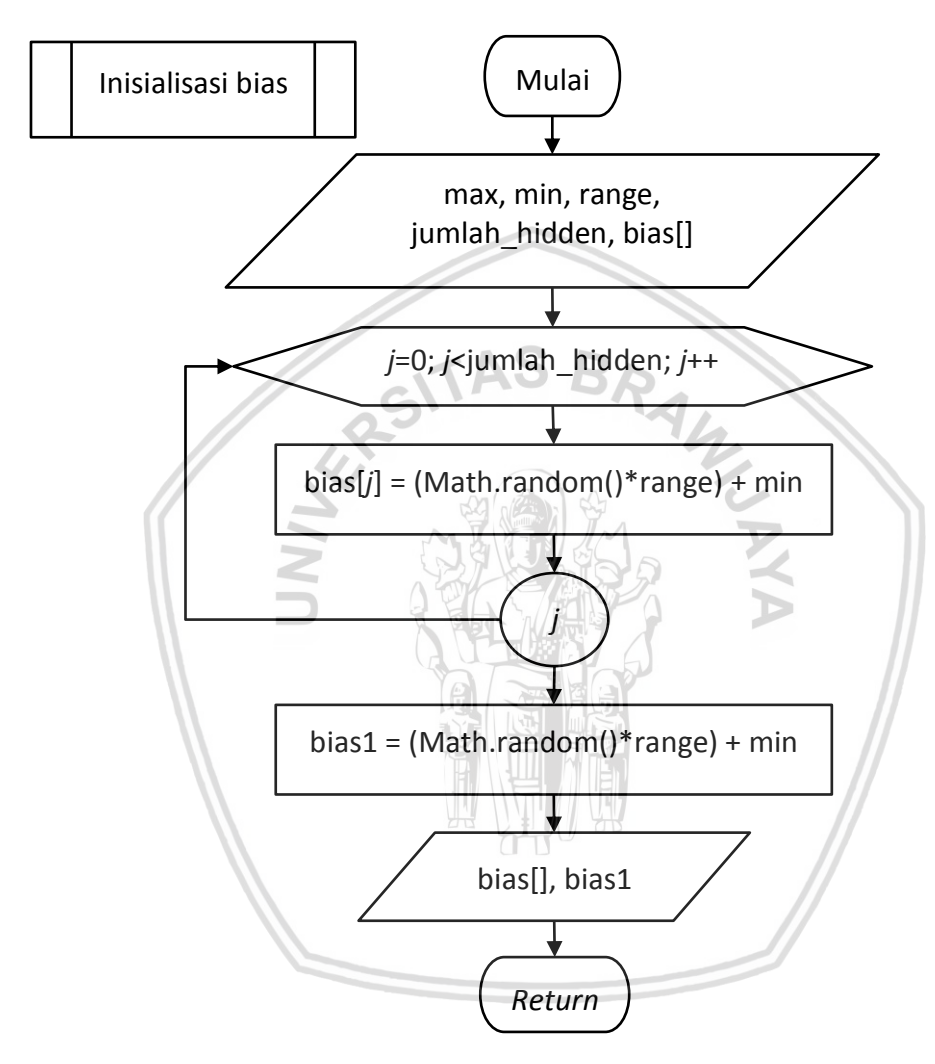
Bobot dan bias awal yang digunakan untuk pelatihan didapatkan dengan random. Perancangan untuk melakukan random bobot awal digambarkan dengan diagram alir pada Gambar 4.7. Inisialisasi bobot dilakukan untuk mendapatkan bobot antara input layer dengan hidden layer (v) dan bobot antara hidden layer denga output layer (w). Tentukan terlebih dahulu max (nilai maximal untuk bobot), min (nilai minimal untuk bobot), range (selisih nilai maximal dan nilai minimal), jumlah_hidden, jumlah_fitur dan panjang v serta w yang dapat diketahui berdasarkan jumlah_hidden dan jumlah_fitur. Untuk mendapatkan nilai v dilakukan perulangan selama i kurang dari jumlah_ fitur dan kondisi j kurang dari jumlah_hidden, nilai v pada elemen baris ke-i dan elemen kolom ke-j dihitung dengan (Math.random()*range) + min. Untuk mendapatkan nilai w dilakukan perulangan selama j kurang dari jumlah_ hidden, nilai w ke-j dihitung dengan (Math.random()*range) + min.



Gambar 4.7 Diagram Alir Inisialisasi Bobot

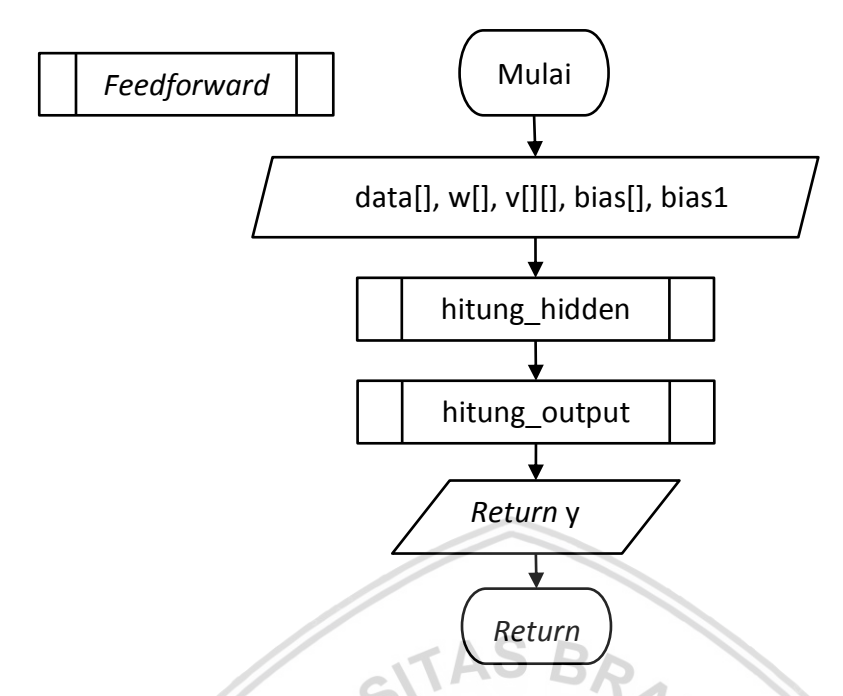
Perancangan untuk melakukan *random* bobot awal digambarkan dengan diagram alir pada Gambar 4.8. Inisialisasi bias dilakukan untuk mendapatkan bias pada *input layer* (*bias*) dan bias pada *hidden layer* (*bias*1). Tentukan terlebih

dahulu *max* (nilai maximal untuk bobot), *min* (nilai minimal untuk bobot), *range* (selisih nilai maximal dan nilai minimal), *jumlah_hidden* dan panjang *bias* yang dapat diketahui berdasarkan *jumlah_hidden*. Untuk mendapatkan nilai *bias* dilakukan perulangan selama *j* kurang dari *jumlah_ hidden*, nilai *bias* ke-*j* dihitung dengan (*Math.random*()**range*) + *min*. Untuk mendapatkan nilai *bias1* dihitung dengan (*Math.random*()**range*) + *min*.



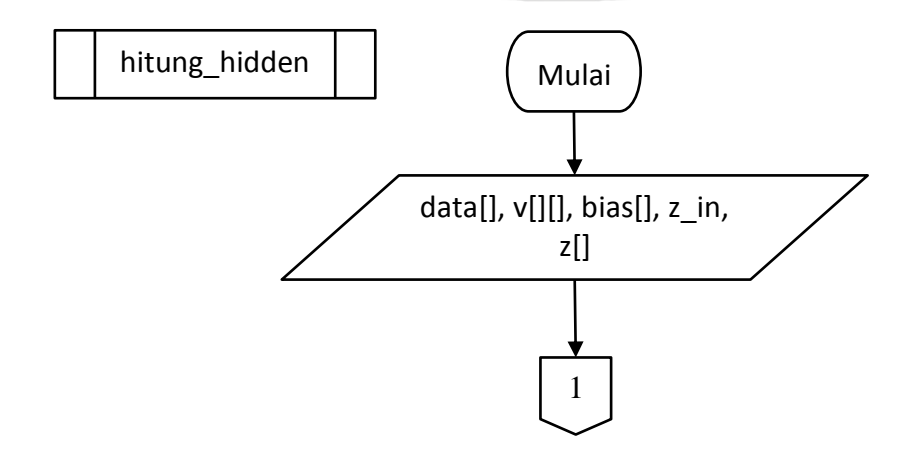
Gambar 4.8 Diagram Alir Inisialisasi Bias

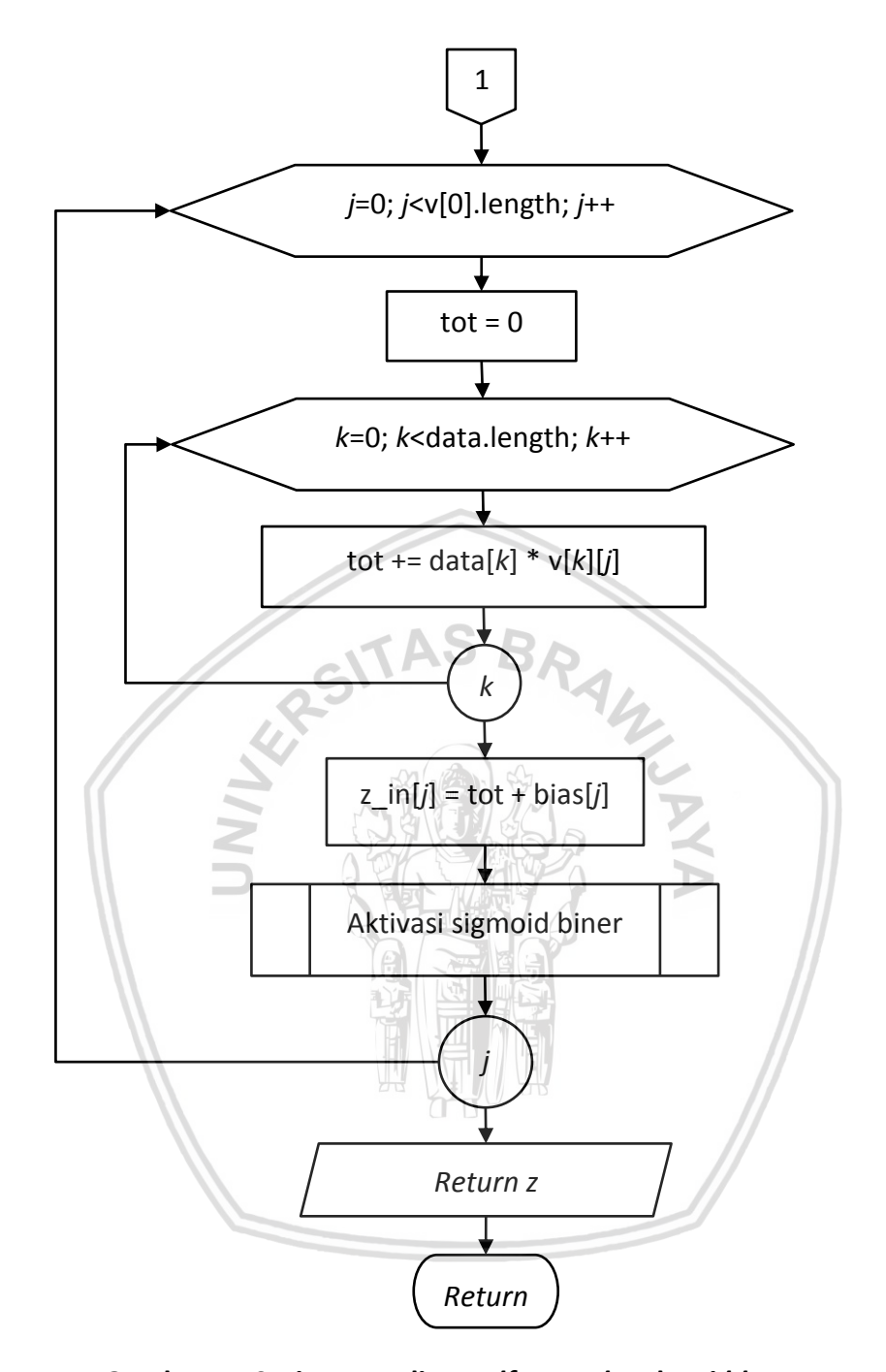
Feedforward merupakan proses awal dari algoritme backpropagation. Dari proses ini akan diketahui nilai setiap hidden node pada hidden layer dan nilai setiap output node pada output layer, serta nilai masukan dan keluaran. Perancangan feedforward dijelaskan dengan diagram alir pada Gambar 4.9. Variabel dan parameter yang diperlukan pada proses feedforward ini adalah data, v, w bias dan bias1. Pada proses feedforward ini akan dimulai dengan proses hitung hidden kemudian hitung output.



Gambar 4.9 Diagram Alir Feedforward

Fungsi hitung hidden adalah proses untuk mendapatkan nilai z_in dan z. Perancangan hitung hidden digambarkan dengan diagram alir pada Gambar 4.10. proses ini diawali dengan menentukan data, v, bias dan panjang z_in serta panjang z. Untuk mendapatkan nilai z_in, maka dilakukan perhitungan dengan Persamaan 2.1. Pada perancangan penelitian ini untuk mendapatkan nilai z_in dilakukan perulangan selama kondisi j kurang dari panjang elemen baris v dan nilai tot adalah 0, kemudian selama perulangan selama kondisi k kurang dari panjang data dilakukan penambahan nilai pada tot yaitu perkalian data ke-k dengan v pada elemen baris ke-j dan elemen kolom ke-k, setelah itu hitung nilai z_in ke-j dengan perhitungan nilai tot ditambah dengan nilai bias ke-j. Nilai z_in tersebut digunakan untuk perhitungan aktivasi sigmoid biner.

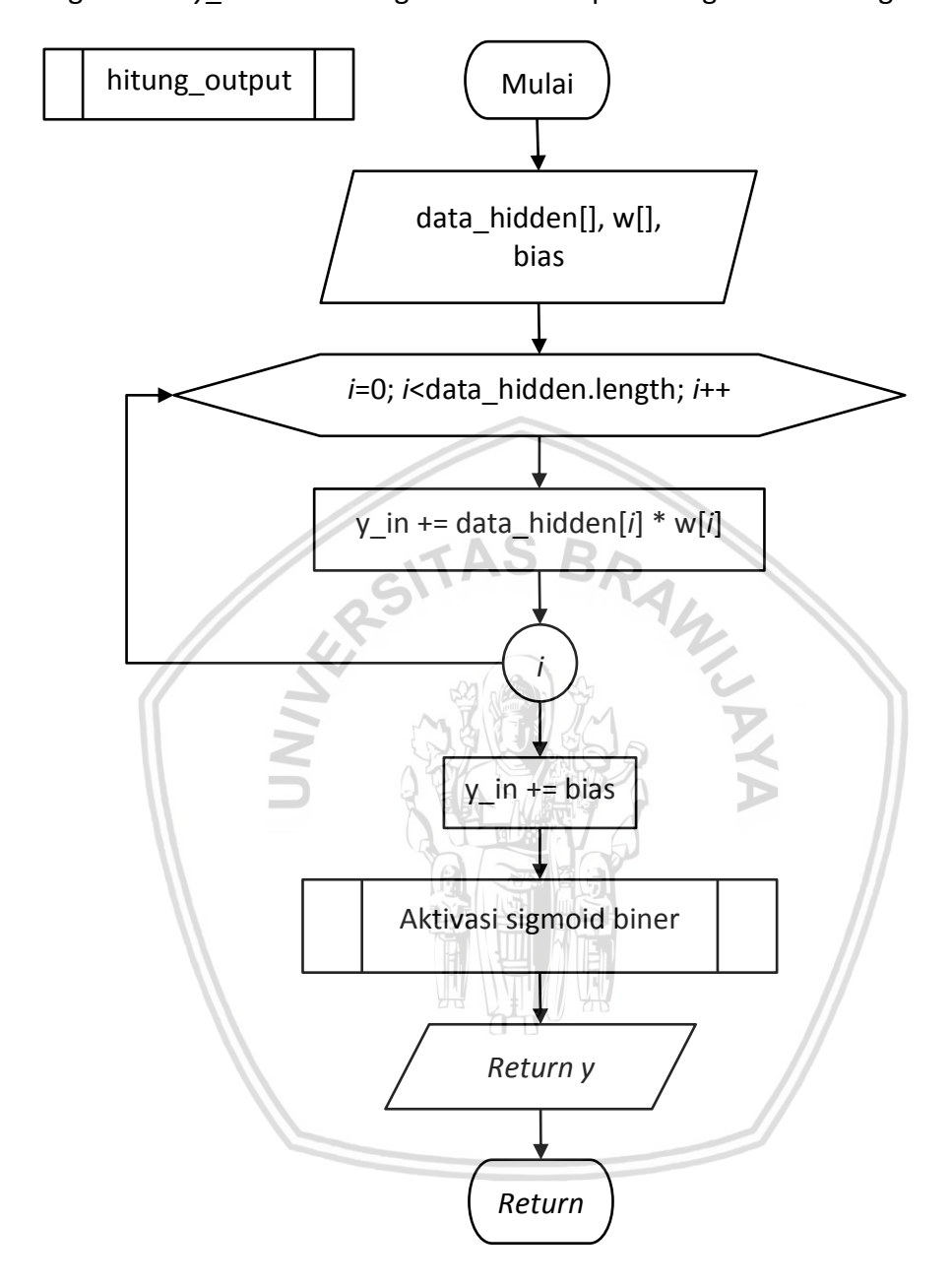




Gambar 4.10 Diagram Alir Feedforward pada Hidden Layer

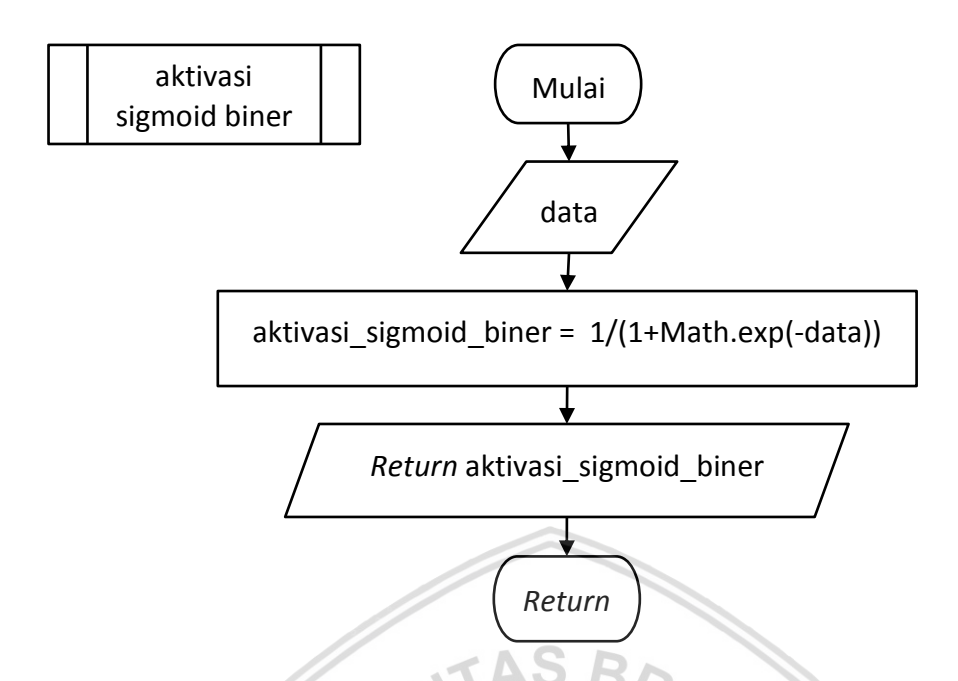
Fungsi hitung output adalah proses untuk mendapatkan nilai y_in dan y. Perancangan hitung output digambarkan dengan diagram alir pada Gambar 4.11. proses ini diawali dengan menentukan data_hiddden, w dan bias1. Untuk mendapatkan nilai y_in, maka dilakukan perhitungan dengan Persamaan 2.3. Pada perancangan penelitian ini untuk mendapatkan nilai y_in dilakukan perulangan selama kondisi i kurang dari panjang data dan nilai y_in ditambahkan dengan

perkalian antara data_hidden ke-i dan w ke-i. Kemudian y_in ditambahkan dengan. Nilai y_in tersebut digunakan untuk perhitungan aktivasi sigmoid biner.



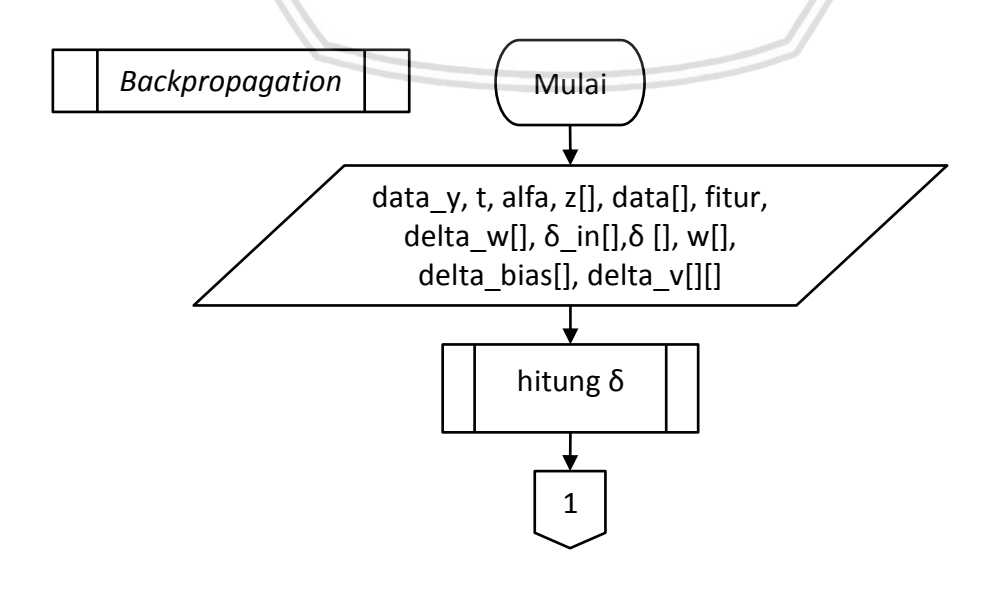
Gambar 4.11 Diagram Alir Feedforward pada Output Layer

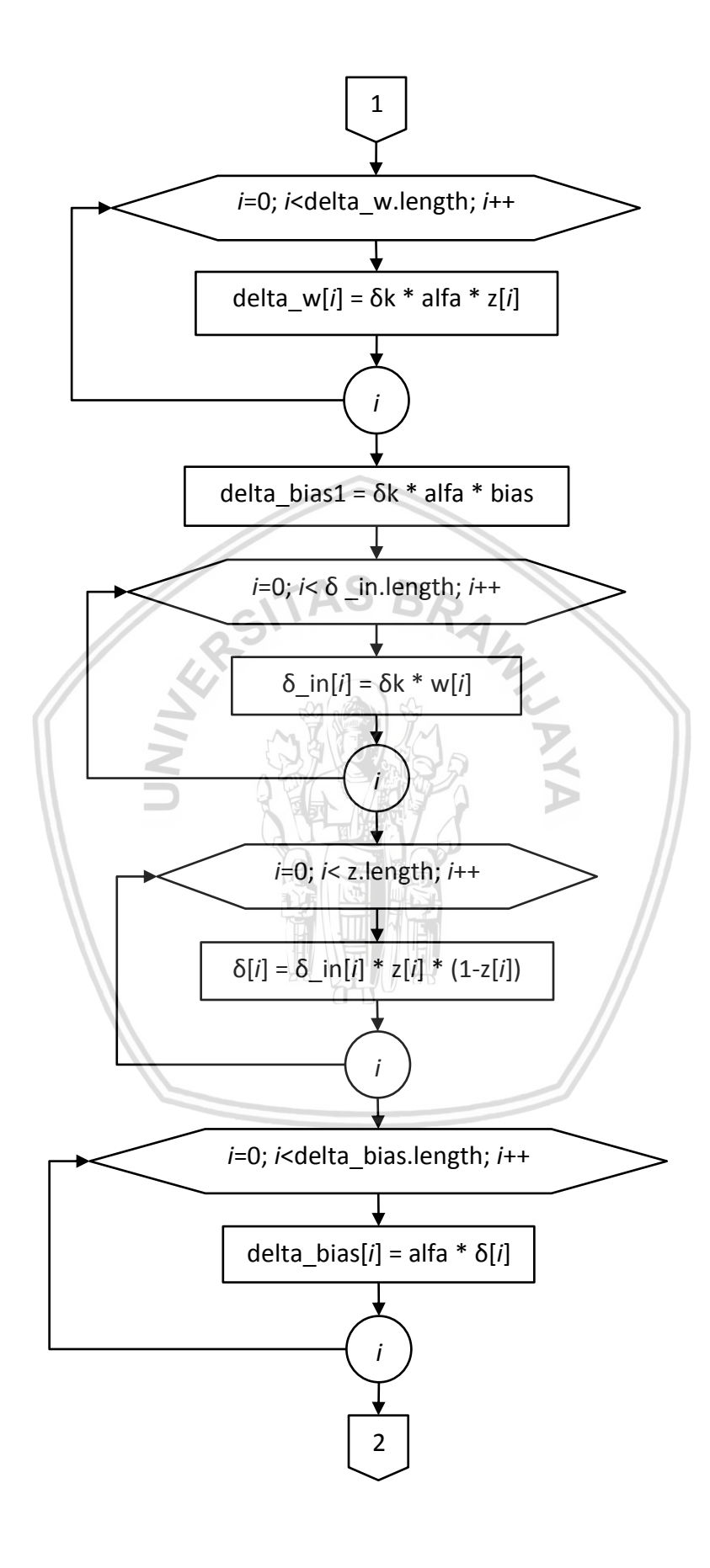
Proses aktivasi sigmoid biner diawali dengan menentukan *data* yang akan digunakan, yaitu data yang akan dihitung aktivasi sigmoid binernya. Kemudian dihitung dengan Persamaan 2.5. Perancangan aktivasi sigmoid biner digambarkan dengan diagram alir pada Gambar 4.12.

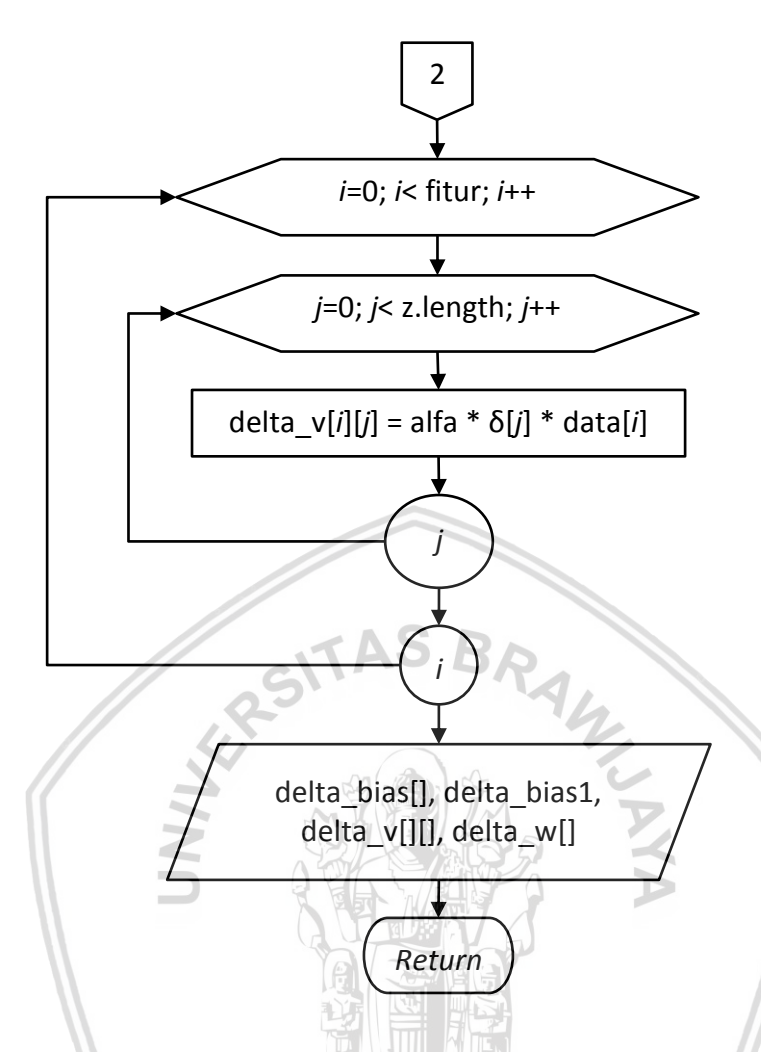


Gambar 4.12 Diagram Alir Fungsi Aktivasi Sigmoid Biner

Backpropagation dilakukan untuk mengkoreksi hasil perhitungan pada feedforward serta mengkoreksi bobot dan bias. Perancangan backpropagation digambarkan dengan diagram alir pada Gambar 4.13. Backpropagation dimulai dengan menentukan variabel dan parameter seperti pada diagram alir. Proses δ untuk menghitung δ_k . Hitung Δw_{jk} ($delta_w$) dengan Persamaan 2.11, perhitungan dilakukan hingga banyaknya delta_w. Hitung Δw_0 ($delta_bias1$) dengan Persamaan 2.12. Hitung δ_i dengan Persamaan 2.13 hingga banyaknya δ_i ($delta_bias$) dengan Persamaan 2.14 hingga banyaknya $delta_bias$. Hitung $delta_i$ ($delta_i$) dengan Persamaan 2.15 hingga banyaknya $delta_i$) dengan Persamaan 2.15 hingga banyaknya fitur dan banyaknya $delta_i$.

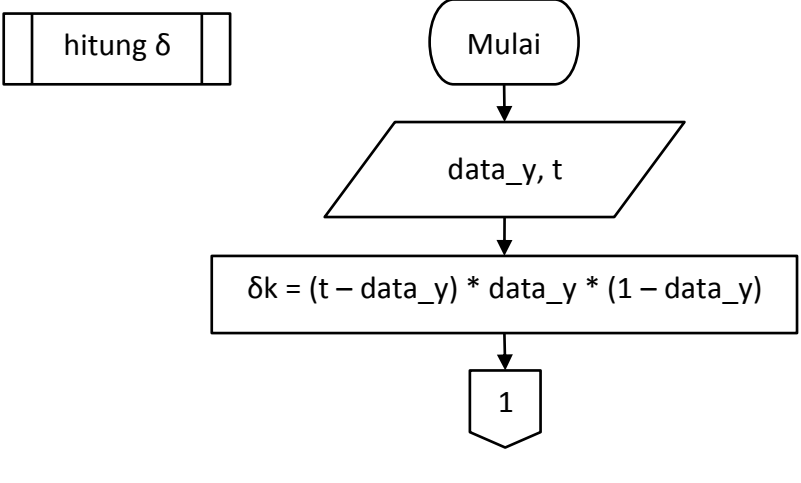


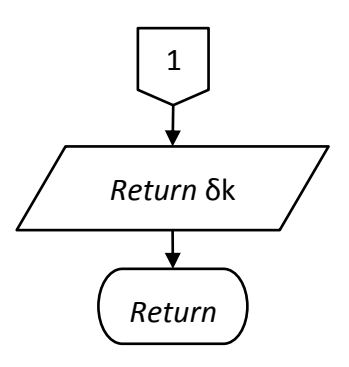




Gambar 4.13 Diagram Alir Backpropagation

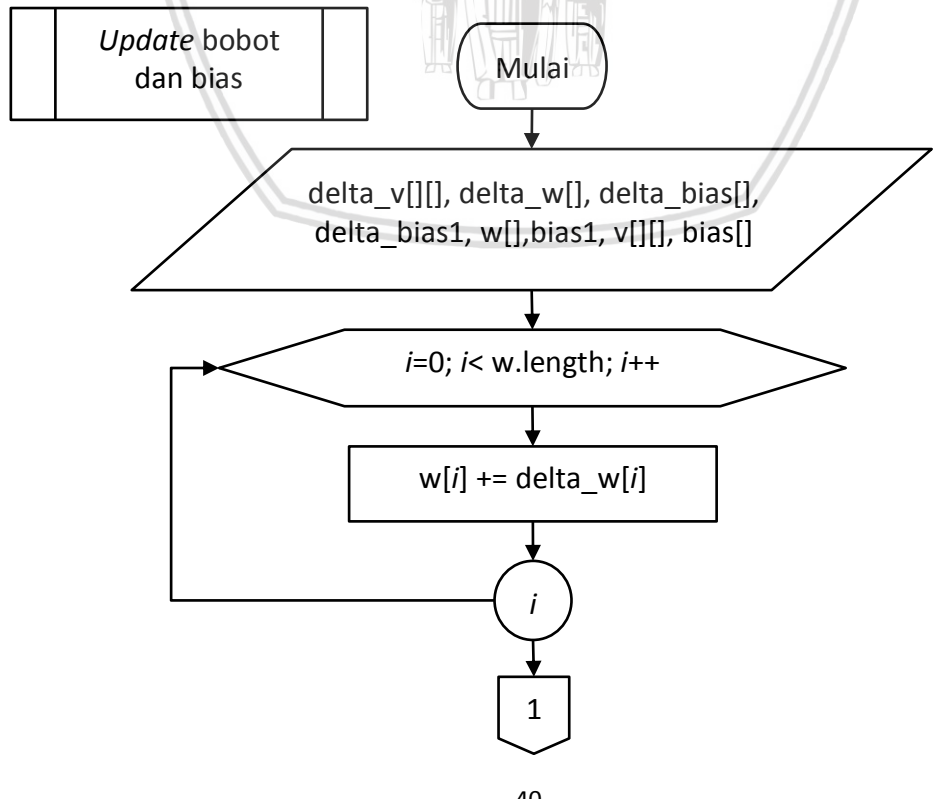
Proses hitung δ dilakukan untuk mendapatkan nilai δ_k . Tentukan data yang digunakan, yaitu target pada data *input*an (t) dan hasil nilai y ($data_y$), kemudian hitungan dengan Persamaan 2.10. Perancangan hitung δ digambarkan dengan diagram alir pada Gambar 4.14.

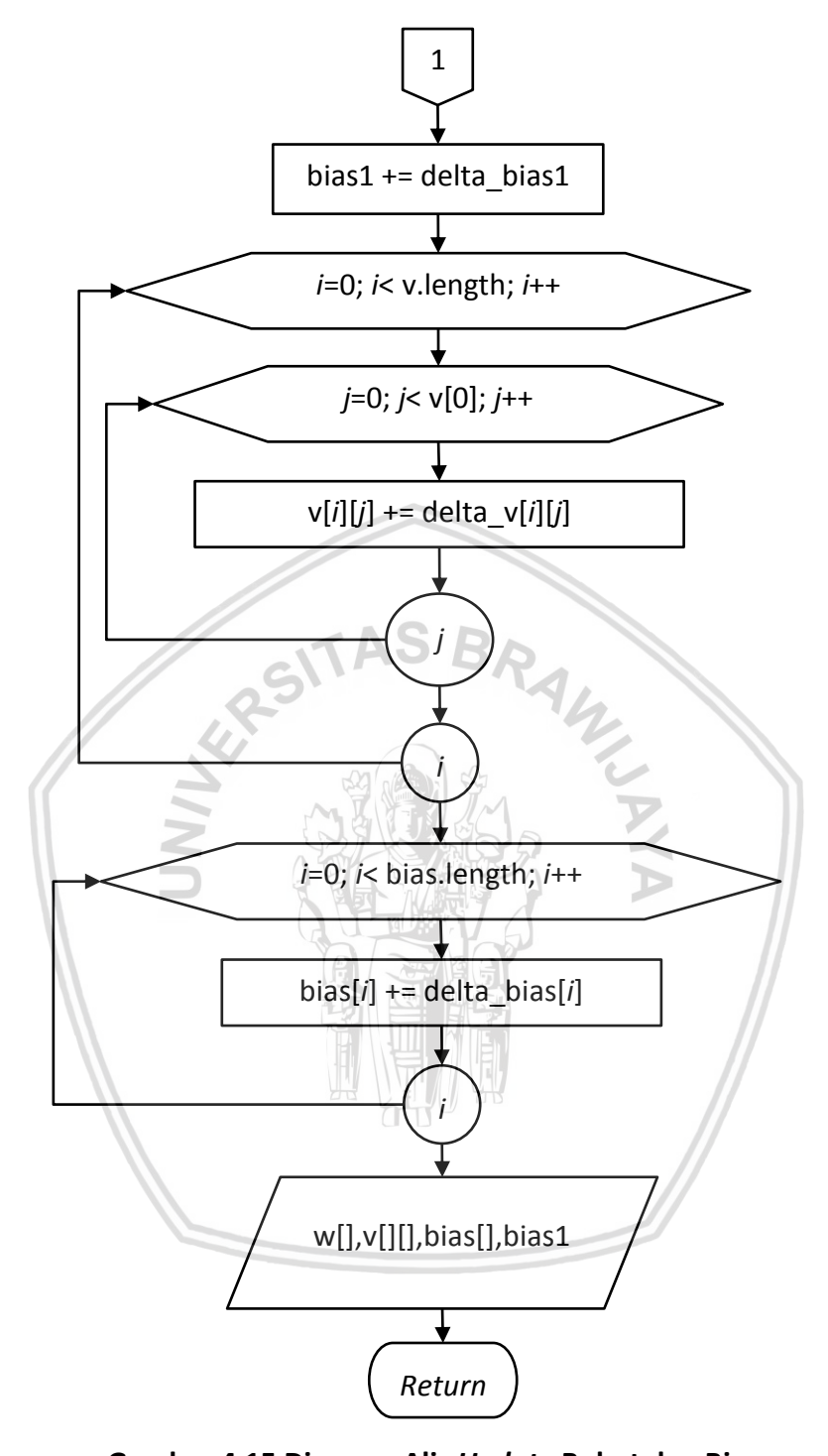




Gambar 4.14 Diagram Alir Koreksi Bobot W

Setelah menghitung feedforward dan backpropagation pada setiap data, dilakukan update bobot dan bias untuk perhitungan pada data selanjutnya. Perancangan update bobot dan bias digambarkan pada diagram alir pada Gambar 4.15. Tentukan delta_v, delta_w, delta_bias serta delta_bias1 yang telah didapatkan dari proses backpropagation dan nilai w, bias1, v, bias. Update nilai w dengan Persamaan 2.17 yaitu menjumlahkan nilai w dengan delta w hingga banyaknya w(perulangan dengan kondisi i kurang dari panjang w). Update nilai bias1 dengan Persamaan 2.17 yaitu menjumlahkan nilai bias1 dengan delta_bias1. Update nilai v dengan Persamaan 2.18 yaitu menjumlahkan nilai v dengan delta v hingga banyaknya v dan elemen baris v(perulangan dengan kondisi i kurang dari panjang v dan kondisi j kurang dari panjang elemen baris v). Update nilai bias dengan Persamaan 2.19 yaitu menjumlahkan nilai bias dengan delta bias hingga banyaknya bias(perulangan dengan kondisi i kurang dari panjang bias).

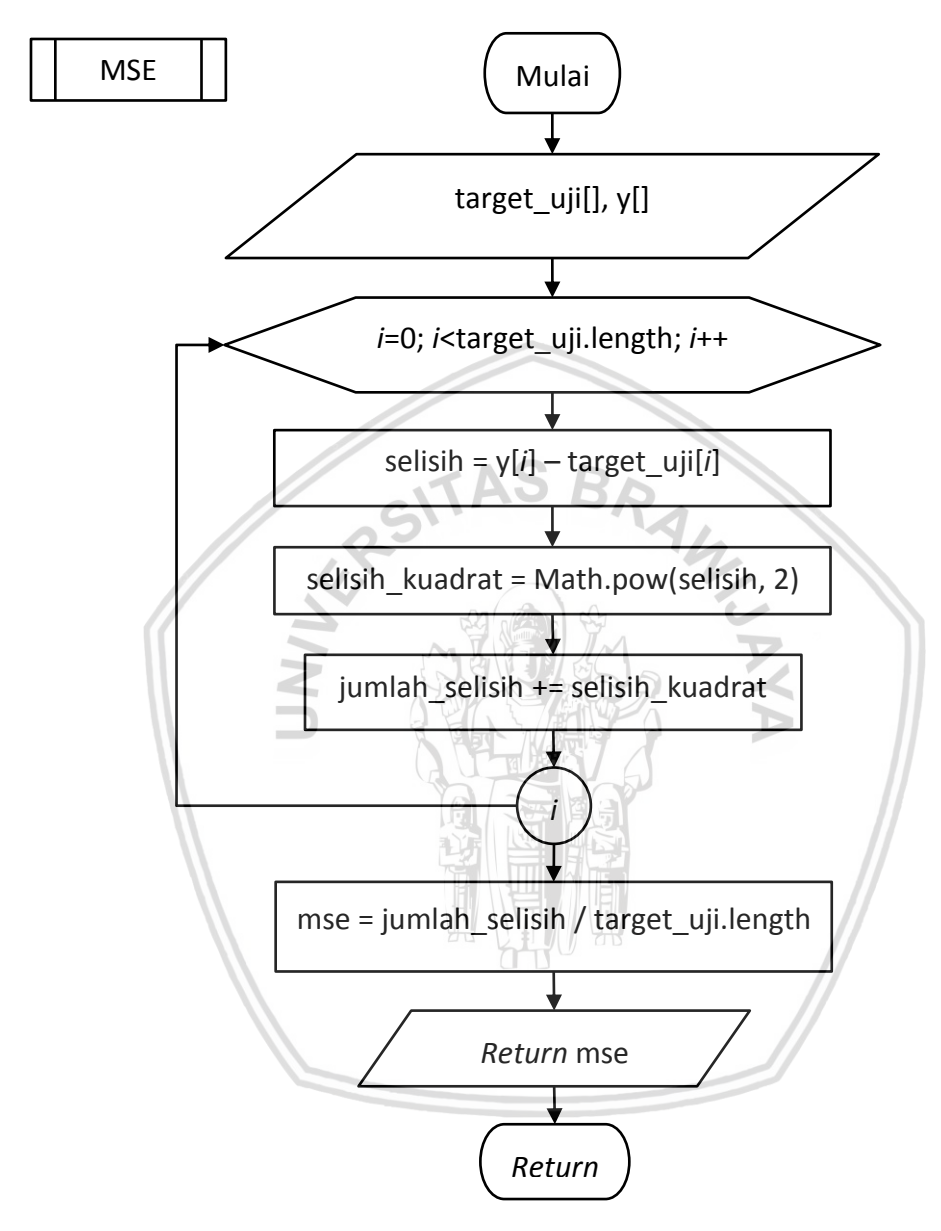




Gambar 4.15 Diagram Alir Update Bobot dan Bias

Pada setiap iterasi, setelah semua data dilakukan proses perhitungan sebelumnya maka dihitung *MSE*nya. Perhitungan *MSE* dilakukan untuk mengetahui seberapa baik perhitungan algoritme backpropagation, *MSE* ini juga digunakan untuk stop condition pada pelatihan. Perancangan *MSE* digambarkan dengan diagram alir pada Gambar 4.16. Tentukan target_uji dan y yang akan dihitung *MSE*nya. Selama kondisi i kurang dari panjang target_uji dilakukan

perulangan menghitung nilai selisih, selisih_kuadrat dan jumlah_selisih. Setelah mendapatkan nilai jumlah_selisih, maka nilai MSE dihitung dengan membagi nilai jumlah_selisih dengan panjang target_uji. Perhitungan MSE seperti pada Persamaan 2.21.

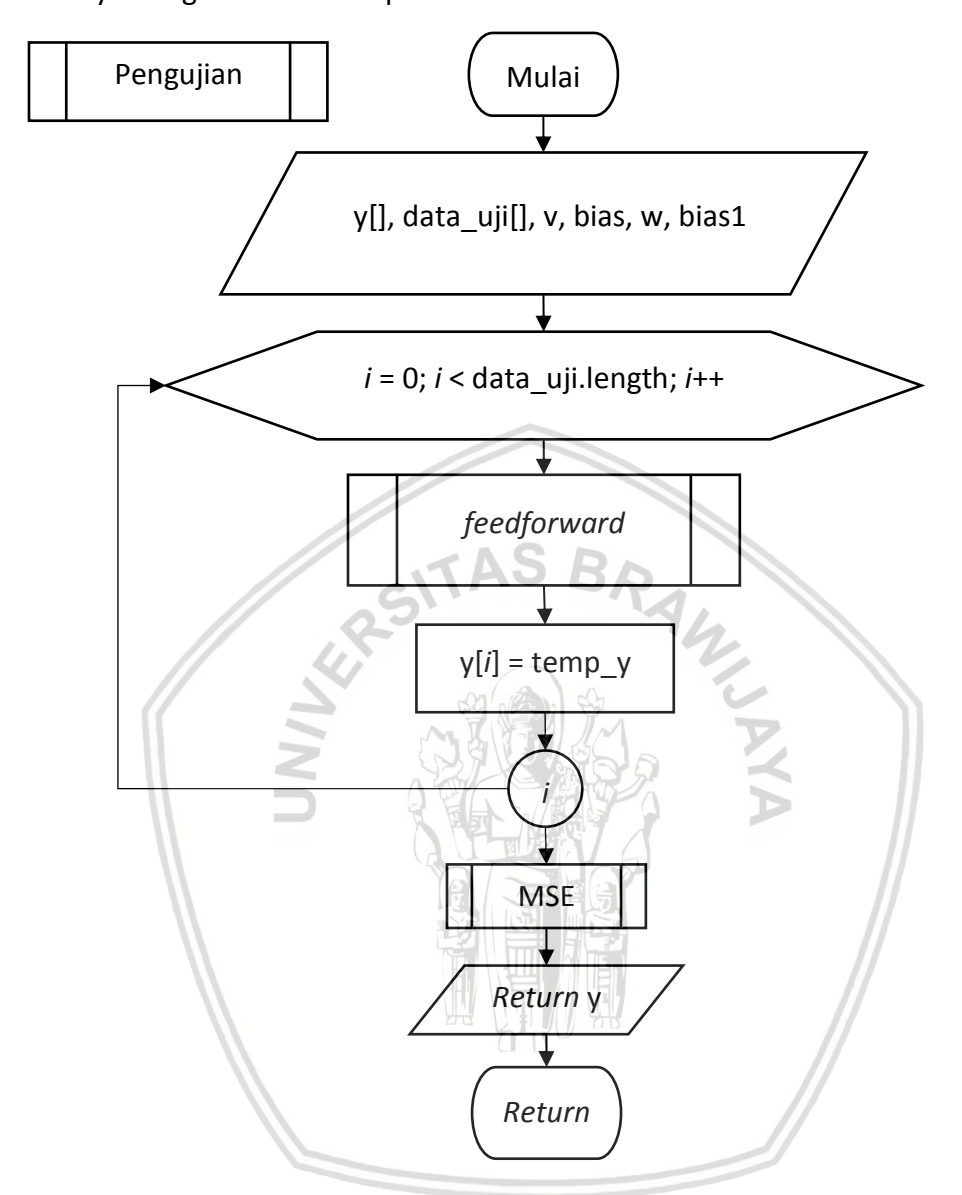


Gambar 4.16 Diagram Alir MSE

4.2.5 Pengujian

Setelah melakukan pelatihan, maka didapatkan bobot terbaik untuk mencapai hasil lebih optimal. Bobot tersebut digunakan sebagai bobot untuk pengujian. Pengujian ini akan mengetahui seberapa baik pelatihan beserta nilai-nilai pada variabel dan parameter yang digunakan untuk peramalan. Perancangan pengujian digambarkan dalam diagram alir pada Gambar 4.17. Tentukan data_uji, v, bias, w, bias1 yang akan digunakan dan panjang y yang dapat diketahui berdasarkan data_uji. Kemudian melakukan proses feedforward hingga banyaknya data_uji

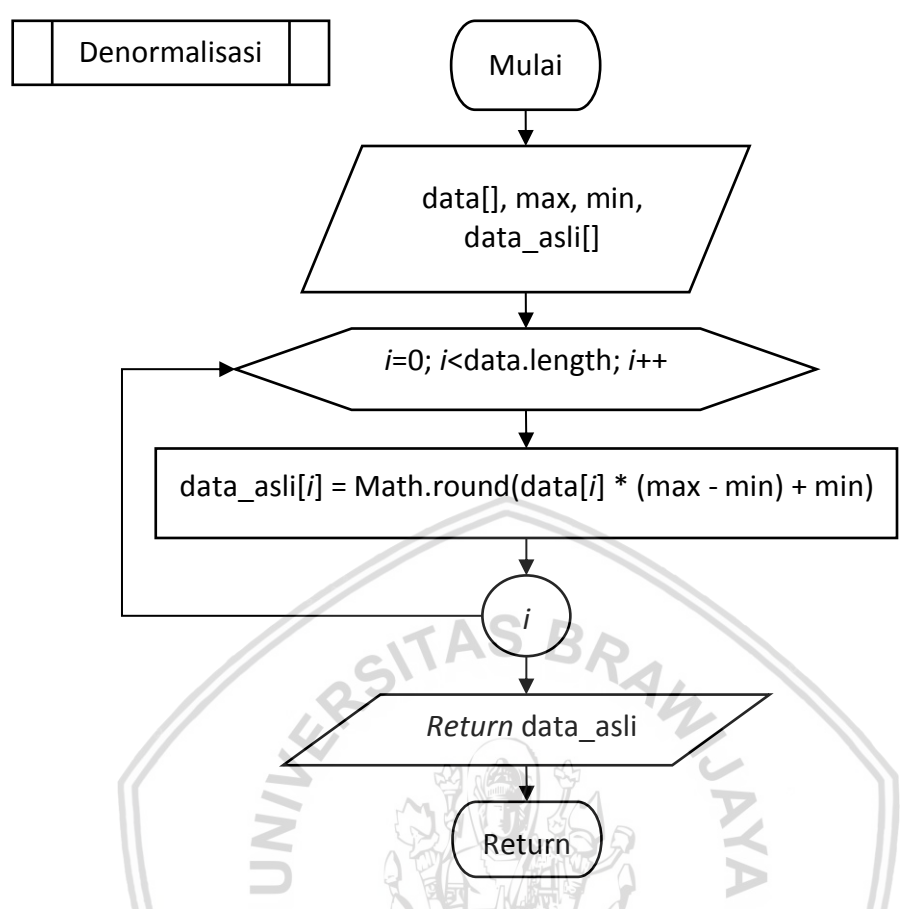
(perulangan selama kondisi *i* kurang dari panjang *data_uji*). Setelah itu, dihitung *MSE*nya dengan melakukan proses *MSE*.



Gambar 4.17 Diagram Alir Pengujian

4.2.6 Denormalisasi

Denormalisasi dilakukan untuk mengetahui nilai yang sebenarnya, karena data yang menjadi inputan sebelumnya dinormalisasi dengan *range* 0 hingga 1. Data yang didenormalisasi merupakan hasil peramalan data uji. Perancangan denormalisasi digambarkan dengan diagram alir pada Gambar 4.18. Ketika fungsi denormalisasi dijalankan, pertama yang dilakukan adalah menetukan *data*, nilai maximal pada dataset (*max*), nilai minimal pada dataset (*min*) dan banyaknya hasil denormalisasi (panjang *data_asli* yang dapat diketahui berdasarkan *data*). Kemudian menghitung nilai denormalisasi dengan Persamaan 2.20, yaitu nilai *data_asli* ke-i adalah hasil *Math.round* dikalikan dengan hasil perkalian *data* ke-i dan (*max - min*) + *min* yang dilakukan hingga banyaknya *data*.



Gambar 4.18 Diagram Alir Denormalisai

4.3 Contoh Perhitungan Manual

Setelah perancangan algoritme, dilakukan perhitungan manual untuk memperjelas alur algoritme. Pada contoh perhitungan manual dilakukan dengan data spare part oli yamalube matic. Jumlah node input layer yang digunakan adalah 2, jumlah node hidden layer adalah 3, nilai learning rate adalah 0.5, jumlah iterasi adalah 3 dan bobot awalnya random. Data pada contoh perhitungan manual merupakan sebagian data dari data history penjualan spare part pada salah satu dealer Yamaha Motor, yaitu Pangestu Utomo Motordi Candi, Sidoarjo. Dataset oli yamalube matic dapat dilihat pada Tabel 4.1. Data ke-1 hingga 3 digunakan sebagai data latih, sedangkan data ke 4 hingga 5 digunakan sebagai data uji. Langkah 3 hingga 6 dilakukan pada data latih terlebih dahulu hingga memenuhi stop condition. Jika perhitungan pada semua data latih (pelatihan) telah selesai, maka dilakukan perhitungan langkah 3 pada data uji (pengujian). Bobot yang digunakan pada pengujian merupakan hasil update bobot dan bias terakhir pada pelatihan (bobot hasil pelatihan).

Tabel 4.1 Dataset Oli Yamalube Matic

Data ke-	X1	X2	Х3	Υ
1	91	91	82	84

2	91	82	84	77
3	82	84	77	63
4	84	77	63	77
5	77	63	77	76

Langkah-langkah untuk melakukan perhitungan peramalan persediaan *spare* part sepeda motor menggunakan *algoritme backpropagation* adalah sebagai berikut:

Langkah 1: Normalisasi

Normalisasi data dilakukan agar nilai data mempunyai range 0 hingga 1. Normalisasi dihitung dengan Persamaan 2.19. Nilai maximal dan nilai minimal yang akan digunakan untuk perhitungan normalisasi didapatkan dari nilai maximal dan nilai minimal pada dataset. Nilai maximal pada dataset oli *yamalube matic* adalah 91 dan nilai minimalnya adalah 63. Hasil proses normalisasi dataset oli *yamalube matic* dapat dilihat pada Tabel 4.4.

$$x' = \frac{x - min}{max - min}$$

Contoh perhitungan manual pada data ke-1:

Normalisasi fitur x1:

$$x1' = \frac{91 - 63}{91 - 63} = 1$$

Normalisasi fitur x2:

$$x2' = \frac{91 - 63}{91 - 63} = 1$$

Normalisasi fitur x3:

$$x3' = \frac{82 - 63}{91 - 63} = 0.678571$$

Normalisasi fitur Y:

$$Y' = \frac{84 - 63}{91 - 63} = 0.75$$

Tabel 4.2 Hasil Normalisasi Dataset Oli Yamalube Matic

Data ke-	X1	X2	Х3	Υ
1	1	1	0.678571	0.75
2	1	0.678571	0.75	0.5
3	0.678571	0.75	0.5	0
4	0.75	0.5	0	0.5
5	0.5	0	0.5	0.464286

Langkah 2: Inisialisasi bobot awal

Sebelum melakukan proses pelatihan algoritme *backpropagation*, dilakukan inisialisasi bobot awal yang nilainya didapatkan dengan *random*. Pada contoh perhitungan manual ini, bobot awal yang digunakan dapat dilihat pada Tabel 4.7.

Tabel 4.3 Insialisasi Bobot Awal

w11	w21	v11	v21	v31	v12	v22	v32
0.226622	0.220696	0.456789	0.234567	0.345678	0.234567	0.456789	0.345678

Tabel 4.4 Inisialisasi Bias Awal

w01	v01	v02
0.22222	0.123456	0.456654

Iterasi 1

Langkah 3: Feedforward

Fungsi aktivasi yang digunakan pada algoritme backpropagation ini adalah binary sigmoid yaitu pada Persamaan 2.5. Langkah-langkah pada proses feedforward adalah menghitung masukan untuk setiap node hidden layer dengan Persamaan 2.1, menghitung nilai aktivasi untuk setiap node hidden layer, menghitung masukan untuk setiap node output layer dengan Persamaan 2.3 dan menghitung nilai aktivasi untuk setiap node output layer. Hasil perhitungan proses feedforward pada iterasi 1 dan data ke-1 oli yamalube matic dapat dilihat pada Tabel 4.8.

Hitung masukan untuk setiap node hidden layer

$$\begin{split} z_-in_1 &= v_{01} + ((x_1\,v_{11}) + (x_2\,v_{21}) + (x_3\,v_{31})) \\ z_-in_1 &= 0.123456 + ((1\times0.456789) + (1\times0.234567) + (0.678571\times0.345678)) \\ z_-in_1 &= 1.049379 \\ z_-in_2 &= v_{02} + ((x_1\,v_{12}) + (x_2\,v_{22}) + (x_3\,v_{32})) \\ z_-in_2 &= 0.456654 + ((1\times0.234567) + (1\times0.456789) + (0.678571\times0.345678)) \\ z_-in_2 &= 1.382577 \end{split}$$

Hitung nilai aktivasi setiap node hidden layer

$$z_{1} = f(z_{-}in_{1}) = \frac{1}{1 + \exp(-z_{-}in_{1})}$$

$$z_{1} = f(1.049379) = \frac{1}{1 + 2.71828183^{-1.049379}}$$

$$z_{1} = 0.740656$$

$$z_{2} = f(z_{-}in_{2}) = \frac{1}{1 + \exp(-z_{-}in_{2})}$$

$$z_2 = f(1.382577) = \frac{1}{1 + 2.71828183^{-1.382577}}$$

$$z_2 = 0.799405$$

Hitung masukan untuk setiap node output layer

$$y_i i n_1 = w_{01} + ((z_1 w_{11}) + (z_2 w_{21}))$$

$$y_i in_1 = 0.222222 + ((0.740656 \times 0.226622) + (0.799405 \times 0.220696))$$

$$y_i n_1 = 0.566496$$

Hitung aktivasi untuk setiap node output layer

$$y_1 = f(y_i i n_1) = \frac{1}{1 + \exp(-y_i i n_1)}$$

$$y_1 = f(0.566496) = \frac{1}{1 + 2.71828183^{-0.566496}}$$

$$y_1 = 0.637954$$

Tabel 4.5 Hasil Feedforward Oli Yamalube Matic Iterasi ke-1

Data ke-	Z_in1	Z_in2	z1	z2	Y_in1	у
1	1.049379	1.382577	0.740656	0.799405	0.566496	0.637954
2	1.000469	1.261903	0.731151	0.779354	0.587925	0.642889
3	0.781792	1.130853	0.686066	0.755996	0.537585	0.631251

Langkah 4: Backpropagation

Proses ini menghitung nilai *error* dan juga mengkoreksi bobor serta bias dari hasil yang didapatkan pada perhitungan *feedforward*. Awalnya menghitung koreksi *error* pada node *output* menggunakan Persamaan 2.10, dengan melakukan perhitungan menggunakan Persamaan 2.6 sebelumnya. Kemudian menghitung koreksi *error* pada node *hidden* menggunakan Persamaan 2.14, dengan terlebih dahulu melakukan perhitungan menggunakan Persamaan 2.6 dan Persamaan 2.13 sebelumnya. Setelah mengetahui hasil koreksi *error*, maka dilakukan koreksi bobot dan bias. Koreksi bobot dihitung menggunakan Persamaan 2.11 atau Persamaan 2.15. Koreksi bias dihitung menggunakan Persamaan 2.12 atau Persamaan 2.16. Hasil perhitungan proses *backpropagation* dapat dilihat pada Tabel 4.11 untuk hasil koreksi *error* dan Tabel 4.12 untuk hasil koreksi bobot dan bias.

Hitung $f(y_in)'$

$$f(y_in_1)' = f(y_in_1)[1 - f(y_in_1)]$$

$$f(y_in_1)' = 0.637954 [1 - 0.637954]$$

$$f(y_in_1)' = 0.230969$$

Hitung koreksi error pada output

$$\delta_1 = (t_1 - y_1)f'(y_in_1)$$

$$\delta_1 = (0.75 - 0.638833) \times 0.230969$$

$$\delta_1 = 0.025879$$

Hitung koreksi bobot dan bias

$$\Delta w_{11} = \alpha \delta_1 z_1$$

$$\Delta w_{11} = 0.5 \times 0.025879 \times 0.740656$$

$$\Delta w_{11} = 0.0095837$$

$$\Delta w_{21} = \alpha \delta_1 z_2$$

$$\Delta w_{21} = 0.5 \times 0.025879 \times 0.799405$$

$$\Delta w_{21} = 0.0103439$$

$$\Delta w_{01} = \alpha \delta_1$$

$$\Delta w_{01} = 0.5 \times 0.025879$$

$$\Delta w_{01} = 0.012939518$$

Hitung δ_{in}

$$\delta_{i}n_{1} = \delta_{1}w_{11}$$

$$\delta_{in_1} = 0.025879 \times 0.226622$$

$$\delta_{-}in_1 = 0.005865$$

$$\delta_{i}n_{2} = \delta_{1}w_{21}$$

$$\delta_{in_2} = 0.025879 \times 0.220696$$

$$\delta_{-}in_2 = 0.005711$$

Hitung $f(z_in)'$

$$f(z_i n_1)' = f(z_i n_1) [1 - f(z_i n_1)]$$

$$f(z_i n_1)' = 0.740656 [1 - 0.740656]$$

$$f(z_in_1)' = 0.192085$$

$$f(z_i n_2)' = f(z_i n_2) [1 - f(z_i n_2)]$$

$$f(z_in_2)' = 0.799405 [1 - 0.799405]$$

$$f(z_in_2)' = 0.160357$$

Hitung koreksi error pada hidden

$$\delta_1 = \delta_{-}in_1 f'(z_{-}in_1)$$

$$\delta_1 = 0.005865 \times 0.192085$$

$$\delta_1 = 0.001126531$$

$$\delta_2 = \delta_{-}in_2 f'(z_{-}in_2)$$

$$\delta_2 = 0.005711 \times 0.160357$$

$$\delta_2 = 0.000915862$$

Hitung koreksi bobot dan bias

 $\Delta v_{11} = \alpha \delta_1 x_1$

 $\Delta v_{11} = 0.5 \times 0.001126531 \times 1$

 $\Delta v_{11} = 0.0005633$

 $\Delta v_{21} = \alpha \delta_1 x_2$

 $\Delta v_{21} = 0.5 \times 0.001126531 \times 1$

 $\Delta v_{21} = 0.0005633$

 $\Delta v_{31} = \alpha \delta_1 x_3$

 $\Delta v_{31} = 0.5 \times 0.001126531 \times 0.678571$

 $\Delta v_{31} = 0.0003822$

 $\Delta v_{12} = \alpha \delta_2 x_1$

 $\Delta v_{12} = 0.5 \times 0.000915862 \times 1$

 $\Delta v_{12} = 0.0004579$

 $\Delta v_{22} = \alpha \delta_2 x_2$

 $\Delta v_{22} = 0.5 \times 0.000915862 \times 1$

 $\Delta v_{22} = 0.0004579$

 $\Delta v_{32} = \alpha \delta_2 x_3$

 $\Delta v_{32} = 0.5 \times 0.000915862 \times 0.678571$

 $\Delta v_{32} = 0.0003107$

 $\Delta v_{01} = \alpha \delta_1$

 $\Delta v_{01} = 0.5 \times 0.001126531$

 $\Delta v_{01} = 0.00056327$

 $\Delta v_{02} = \alpha \delta_2$

 $\Delta v_{02} = 0.5 \times 0.000915862$

 $\Delta v_{02} = 0.00045793$

Tabel 4.6 Hasil Koreksi Error Backpropagation Oli Yamalube Matic Iterasi ke-1

Data ke-	δ (y)	δ (z1)	δ (z2)
1	0.025879036	0.001126531	0.000915862
2	-0.032804842	-0.001523155	-0.001303336

Tabel 4.6 Hasil Koreksi Error Backpropagation Oli Yamalube Matic Iterasi ke-1

Data ke-	δ (y)	δ (z1)	δ (z2)
3	-0.146938267	-0.007095778	-0.005915868

Tabel 4.7 Hasil Koreksi Bobot Backpropagation Oli Yamalube Matic Iterasi ke-1

Data ke-	Δw11	Δw21	Δν11	Δv21	Δν31	Δv12	Δv22	Δv32
1	0.0095837	0.0103439	0.0005633	0.0005633	0.0003822	0.0004579	0.0004579	0.0003107
2	-0.011993	-0.012783	-0.000762	-0.000517	-0.000571	-0.000652	-0.000442	-0.000489
3	-0.050405	-0.055542	-0.002407	-0.002661	-0.001774	-0.002007	-0.002218	-0.001479

Tabel 4.8 Hasil Koreksi Bias Backpropagation Oli Yamalube Matic Iterasi ke-1

Data ke-	Δw01	Δν01	Δν02
1	0.01293952	0.00056327	0.00045793
2	-0.0164024	-0.0007616	-0.0006517
3	-0.0734691	-0.0035479	-0.0029579

Langkah 5: Update bobot dan bias

Bobot dan bias di*update* untuk perhitungan selanjutnya menggunakan bobot dan bias yang baru. *Update* bobot dan bias menggunakan Persamaan 2.17 dan Persamaan 2.18. Hasil *update* bobot dan bias dapat dilihat pada Tabel 4.17.

Hitung *update* bobot dan bias

$$w_{11}(new) = w_{11}(old) + \Delta w_{11}$$

$$w_{11}(new) = 0.222222 + 0.0095837$$

$$w_{11}(new) = 0.2362057$$

$$w_{21}(new) = w_{21}(old) + \Delta w_{21}$$

$$w_{21}(new) = 0.220696 + 0.0103439$$

$$w_{21}(new) = 0.2310399$$

$$w_{01}(new) = w_{01}(old) + \Delta w_{01}$$

$$w_{01}(new) = 0.222222 + 0.01293952$$

$$w_{01}(new) = 0.23516152$$

$$v_{11}(new) = v_{11}(old) + \Delta v_{11}$$

$$v_{11}(new) = 0.456789 + 0.0005633$$

$$v_{11}(new) = 0.4573523$$

$$v_{21}(new) = v_{21}(old) + \Delta v_{21}$$

$$v_{21}(new) = 0.234567 + 0.0005633$$

$$v_{21}(new) = 0.2351303$$

$$v_{31}(new) = v_{31}(old) + \Delta v_{31}$$

$$v_{31}(new) = 0.345678 + 0.0003822$$

$$v_{31}(new) = 0.3460602$$

$$v_{12}(new) = v_{12}(old) + \Delta v_{12}$$

$$v_{12}(new) = 0.234567 + 0.0004579$$

$$v_{12}(new) = 0.2350249$$

$$v_{22}(new) = v_{22}(old) + \Delta v_{22}$$

$$v_{22}(new) = 0.456789 + 0.0004579$$

$$v_{22}(new) = 0.4572469$$

$$v_{32}(new) = v_{32}(old) + \Delta v_{32}$$

$$v_{32}(new) = 0.345678 + 0.0003107$$

$$v_{32}(new) = 0.3459887$$

$$v_{01}(new) = v_{01}(old) + \Delta v_{01}$$

$$v_{01}(new) = 0.123456 + 0.00056327$$

$$v_{01}(new) = 0.12401927$$

$$v_{02}(new) = v_{02}(old) + \Delta v_{02}$$

$$v_{02}(new) = 0.456654 + 0.00045793$$

$$v_{02}(new) = 0.45711193$$

Tabel 4.9 Hasil Update Bobot Oli Yamalube Matic Iterasi ke-1

Data ke-	w11	w21	v11	v21	v31	v12	v22	v32
1	0.2362057	0.2310399	0.4573523	0.2351303	0.3460602	0.2350249	0.4572469	0.3459887
2	0.2242131	0.2182566	0.4565907	0.2346135	0.345489	0.2343733	0.4568047	0.3455

Tabel 4.10 Hasil Update Bias Oli Yamalube Matic Iterasi ke-1

Data ke-	w01	v01	v02
1	0.23516152	0.12401927	0.45711193
2	0.2187591	0.12325769	0.45646026

Langkah 6: Mean Squared Error

Mean squared error (MSE) digunakan untuk mengukur tingkat akurasi hasil peramalan. MSE juga digunakan untuk mengetahui stop condition. Selama MSE>maximal error yang ditentukan dan stop condition yang lain belum terpenuhi, maka perhitungan pelatihan backpropagation (feedforward, backpropagation dan update bobot serta bias) terus dilakukan. Perhitungan MSE dihitung di setiap iterasi dengan Persamaan 2.21. Untuk perhitungan MSE, perhitungan pelatihan backpropagation harus diselesaikan hingga semua data latih terlebih dahulu. Hasil perhitungan pelatihan backpropagation dapat dilihat

pada Tabel 2.20. Hasil perhitungan *MSE* pada semua iterasi dapat dilihat pada Tabel 4.23.

Tabel 4.11 Hasil Pelatihan Backpropagation Oli Yamalube Matic Iterasi ke-1

Data ke-	X1	X2	Х3	Υ	У
1	1	1	0.678571	0.75	0.637954
2	1	0.678571	0.75	0.5	0.642889
3	0.678571	0.75	0.5	0	0.631251

$$MSE = \frac{\sum_{i=1}^{n} |Y_i - y_i|^2}{n}$$

Hitung MSE pada iterasi ke-1

$$MSE = \frac{|Y_1 - y_1|^2 + |Y_2 - y_2|^2 + |Y_3 - y_3|^2}{3}$$

$$MSE = \frac{|0.75 - 0.637954|^2 + |0.5 - 0.642889|^2 + |0 - 0.631251|^2}{3}$$

MSE = 0.143816236

Tabel 4.12 Hasil MSE Pelatihan Oli Yamalube Matic

Iterasi ke-	MSE
1	0.143816236
2	0.143185313
3	0.142629673

Langkah 7: Denormalisasi

Setelah semua proses atau langkah-langkah perhitungan telah dilakukan, maka dilakukan denormalisasi data pada hasil peramalan untuk mengetahui nilai aslinya agar dapat dibandingkan dengan nilai aktualnya. Denormalisasi dilakukan dengan Persamaan 2.20. Nilai pada denormalisasi merupakan bilangan bulat, maka hasil perhitungan akan dibulatkan. Data yang akan digunakan pada contoh perhitungan denormalisasi adalah hasil peramalan data uji pada Tabel 2.26. Nilai maximal dan minimal yang digunakan sama seperti yang digunakan pada proses normalisasi yaitu nilai maximal dan minimal pada dataset. Nilai maximal pada dataset oli yamalube matic adalah 91 dan nilai minimalnya adalah 63. Hasil proses denormalisasi dataset oli yamalube matic dapat dilihat pada Tabel 4.26.

$$y = y' (max - min) + min$$

Hitung denormalisasi hasil peramalan (y) pada data ke 4

$$y = y' (max - min) + min$$

$$y = 0.623558 (91 - 63) + 63$$

$$y = 80$$

BRAWIJAYA

Tabel 4.13 Hasil Denormalisasi Oli Yamalube Matic

Data ke-	Hasil Peramalan	Denormalisas	
	(y)		
4	0.623558	80	
5	0.621624	80	

Perbedaan hasil peramalan dengan nilai aktual dapat dilihat pada Tabel 4.14. Pada Tabel 4.14 juga dapat diketahui selisih dan rata-rata selisih antara hasil peramalan dan nilai aktual.

Tabel 4.14 Perbedaan Nilai Aktual dan Hasil Peramalan

Data ke-	Jumlah Aktual	Hasil Peramalan	Selisih	Rata-Rata Selisih
4	77	(AS ⁸⁰ RA	3	3.5
5	76	80	4	3.3

4.4 Perancangan Pengujian

Pengujian dilakukan untuk mengetahui variabel-variabel terbaik agar menghasilkan hasil yang paling optimal. Pengujian yang akan dilakukan pada penelitian ini adalah pengujian nilai *learning rate*, pengujian jumlah node *input layer*, pengujian jumlah node *hidden layer* dan pengujian jumlah iterasi.

4.4.1 Pengujian Jumlah Iterasi

Pengujian jumlah iterasi dilakukan untuk mendapatkan jumlah iterasi yang terbaik agar hasil peramalan menghasilkan nilai *error* yang kecil. Iterasi yang akan diujikan adalah 500, 1000, 1500, 2000, 2500, 3000, 3500, 4000, 4500 dan 5000. Jumlah node *hidden layer*, jumlah node *input layer* dan *learning rate* yang akan digunakan pada setiap pengujian sama. Bobot dan bias awal adalah *random*, maka pengujian akan dilakukan dengan menjalankan program sebanyak 5 kali untuk setiap iterasi yang diujikan, hasil *MSE* setiap pengujian akan dicatat dan dihitung rata-rata *MSE*-nya sehingga diketahui jumlah iterasi yang menghasilkan hasil paling optimal. Perancangan pengujian jumlah iterasi dapat dilihat pada Tabel 4.15.

Tabel 4.15 Perancangan Pengujian Jumlah Iterasi

		Rata-				
Iterasi	Percobaan ke-					Rata
	1	2	3	4	5	MSE
500						

1000			
1500			
2000			
2500			
3000			
3500			
4000			
4500			
5000			

4.4.2 Pengujian Jumlah Node Input Layer

Pengujian jumlah node *input layer* dilakukan untuk mendapatkan jumlah node *input layer* yang yang terbaik agar hasil peramalan menghasilkan nilai *error* yang kecil. Jumlah node *input layer* yang akan diujikan adalah 1, 2, 3, 4, 5, 6, 7, 8, 9, 10, 11, 12, 13, 14, 15, 16, 17, 18, 19, 20, 21 dan 22. Nilai *Learning rate*, jumlah node *input layer* dan iterasi yang akan digunakan pada setiap pengujian sama. Bobot dan bias awal adalah *random*, maka pengujian akan dilakukan dengan menjalankan program sebanyak 5 kali untuk setiap jumlah node *input layer* yang diujikan, hasil *MSE* setiap pengujian akan dicatat dan dihitung rata-rata *MSE*-nya sehingga diketahui jumlah node *input layer* yang menghasilkan hasil paling optimal. Perancangan pengujian jumlah node *input layer* dapat dilihat pada Tabel 4.16.

Tabel 4.16 Perancangan Pengujian Jumlah Node Input Layer

Jumlah			- Rata-				
node		Percobaan ke-					
input	1	2	3	4	5	Rata MSE	
layer	<u>T</u>	2	7	4	,	IVISE	
1							
2							
3							
4							
5							
6							
7							
8							
9							
10							
11							

12			
13			
14			
15			
16			
17			
18			
19			
20			
21			
22			

4.4.3 Pengujian Jumlah Node Hidden Layer

Pengujian jumlah node *input layer* dilakukan untuk mendapatkan jumlah node *hidden layer* yang terbaik agar hasil peramalan menghasilkan nilai *error* yang kecil. Jumlah node *hidden layer* yang akan diujikan adalah 1, 2, 3, 4, 5, 6, 7, 8, 9 dan 10. *Leaning rate*, jumlah node *hidden layer* dan iterasi yang akan digunakan pada setiap pengujian sama. Bobot dan bias awal adalah *random*, maka pengujian akan dilakukan dengan menjalankan program sebanyak 5 kali untuk setiap jumlah node *hidden layer* yang diujikan, hasil *MSE* setiap pengujian akan dicatat dan dihitung rata-rata *MSE*-nya sehingga diketahui jumlah node *hidden layer* yang menghasilkan hasil paling optimal. Perancangan pengujian jumlah node *hidden layer* dapat dilihat pada Tabel 4.17.

Tabel 4.17 Perancangan Pengujian Jumlah Node Hidden Layer

Jumlah node <i>hidden</i>		Rata- Rata <i>MSE</i>				
layer	1	2	3	4	5	IVISL
1						
2						
3						
4						
5						
6						
7						
8						
9						

10			

4.4.4 Pengujian Nilai Learning Rate (α)

Pengujian nilai *learning rate* dilakukan untuk mendapatkan nilai *learning rate* yang terbaik agar hasil peramalan menghasilkan nilai *error* yang kecil. Nilai *learning rate* yang akan diujikan adalah 0.05, 0.06, 0.07, 0.08, 0.09, 0.1, 0.2, 0.3, 0.4 dan 0.5. Jumlah node *hidden layer*, jumlah node *input layer* dan iterasi yang akan digunakan pada setiap pengujian sama. Bobot dan bias awal adalah *random*, maka pengujian akan dilakukan dengan menjalankan program sebanyak 5 kali untuk setiap nilai *learning rate* yang diujikan, hasil *MSE* setiap pengujian akan dicatat dan dihitung rata-rata *MSE*-nya sehingga diketahui nilai *learning rate* yang menghasilkan hasil paling optimal.Perancangan pengujian nilai *learning rate* dapat dilihat pada Tabel 4.18.

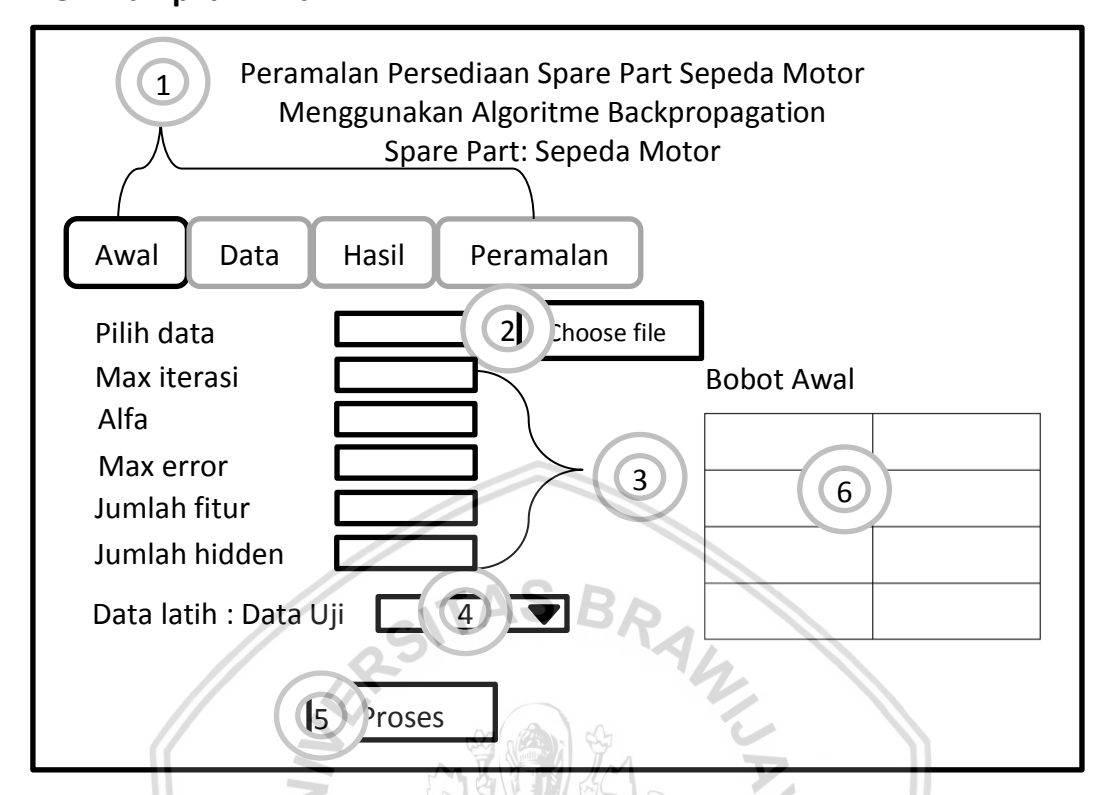
Tabel 4.18 Perancangan Pengujian Nilai Learning Rate

Learning Rate	MSE Percobaan ke-					
((1 2 3 4 5	MSE				
0.05						
0.06						
0.07						
0.08						
0.09						
0.1						
0.2						
0.3						
0.4						
0.5						

4.5 Perancangan Antarmuka

Perancangan antarmuka merupakan gambaran dari tampilan sistem peramalan persediaan *spare part* sepeda motor menggunakan algoritme *backpropagation* yang nantinya dapat mempermudah implementasi antarmuka sistem.

4.5.1 Tampilan Awal

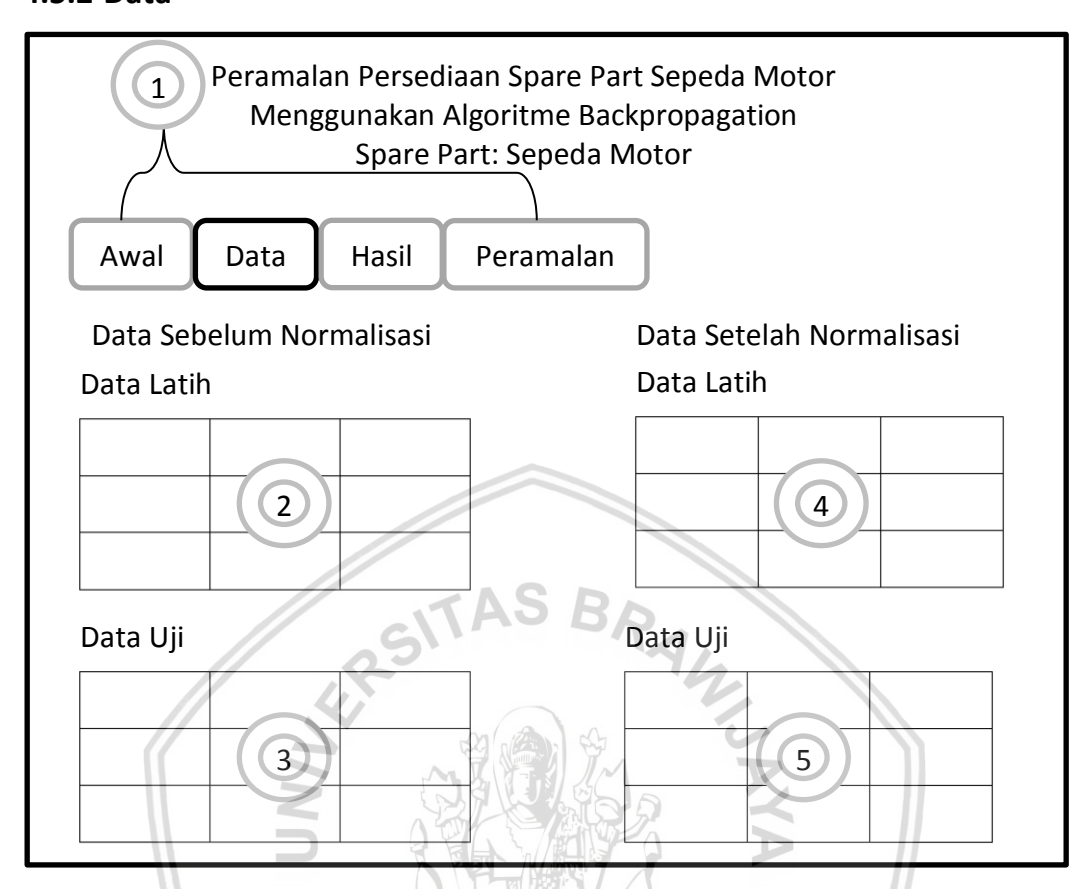


Gambar 4.19 Perancangan Antarmuka Tampilan Awal

Perancangan antarmuka tampilan awal dapat dilihat pada Gambar 4.9. Penjelasan dari perancangan antarmuka tersebut adalah sebagai berikut:

- 1. Menu untuk memilih yang ingin ditampilkan. Tampilan awal ketika program di*run* adalah menampilkan menu Awal. Dimana menu awal ini berfungsi untuk memasukkan nilai-nilai variabel.
- 2. *Input* file yang berisi data untuk melakukan perhitungan peramalan persediaan *spare part* sepeda motor menggunakan algoritme *backpropagation*.
- 3. *Text area* yang dapat diisi *user* untuk masukan pada program guna melakukan perhitungan peramalan persediaan *spare part* sepeda motor menggunakan algoritme *backpropagation*.
- 4. *Combo box* memiliki beberapa pilihan yang ditentukan untuk masukan pada program guna melakukan perhitungan peramalan persediaan *spare part* sepeda motor menggunakan algoritme *backpropagation*.
- Button untuk memproses atau mulai melakukan perhitungan peramalan persediaan spare part sepeda motor menggunakan algoritme backpropagation.
- 6. Tabel yang akan menampilkan bobot awal setelah perhitungan peramalan persediaan *spare part* sepeda motor menggunakan algoritme *backpropagation* diproses.

4.5.2 Data

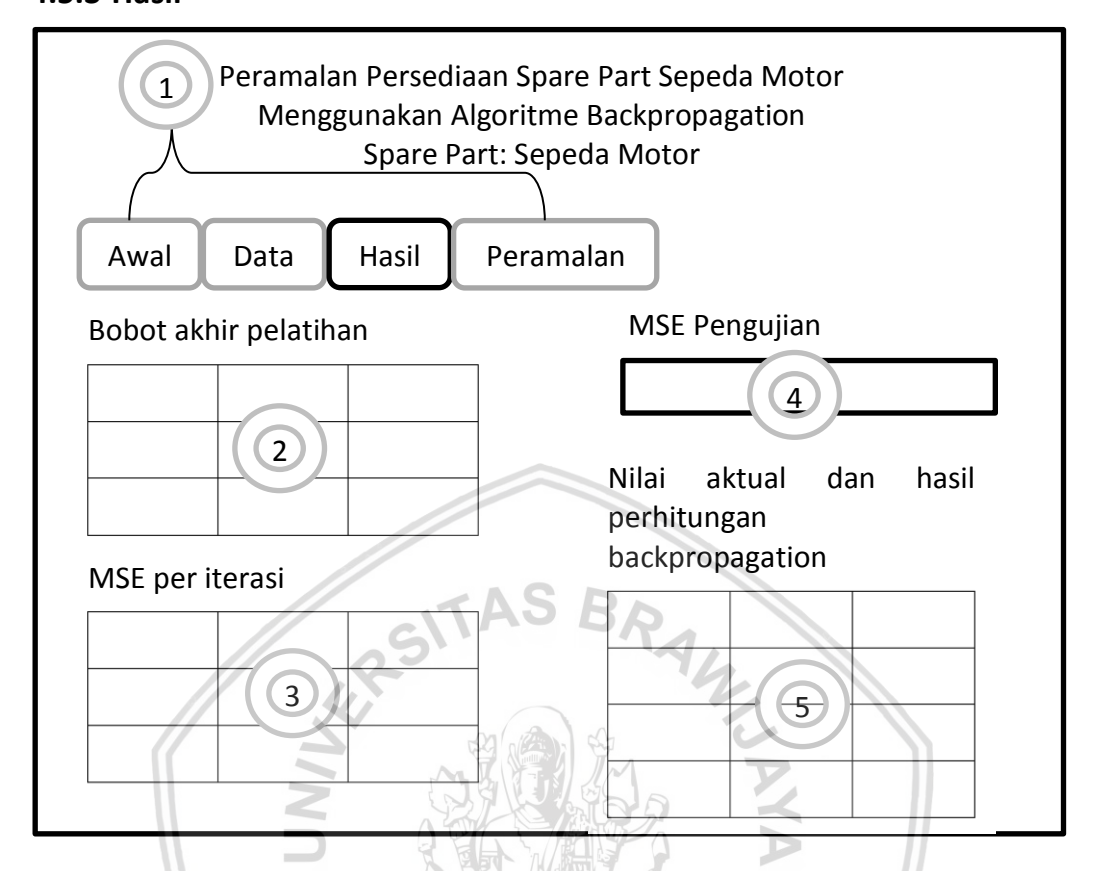


Gambar 4.20 Perancangan Antarmuka Data

Perancangan antarmuka data dapat dilihat pada Gambar 4.10. Penjelasan dari perancangan antarmuka tersebut adalah sebagai berikut:

- 1. Menu untuk memilih yang ingin ditampilkan. Menu Data ini berfungsi untuk menampilkan data setelah perhitungan peramalan persediaan *spare part* sepeda motor menggunakan algoritme *backpropagation* diproses.
- Tabel untuk menampilkan data latih yang telah dipilih dan proses pada menu Awal.
- 3. Tabel untuk menampilkan data uji yang telah dipilih dan proses pada menu Awal.
- 4. Tabel untuk menampilkan data latih yang telah dinormalisasi. Data ini yang digunakan untuk pelatihan perhitungan peramalan persediaan *spare part* sepeda motor menggunakan algoritme *backpropagation*.
- 5. Tabel untuk menampilkan data uji yang telah dinormalisasi. Data ini yang digunakan untuk pengujian pada perhitungan peramalan persediaan *spare* part sepeda motor menggunakan algoritme *backpropagation*.

4.5.3 Hasil

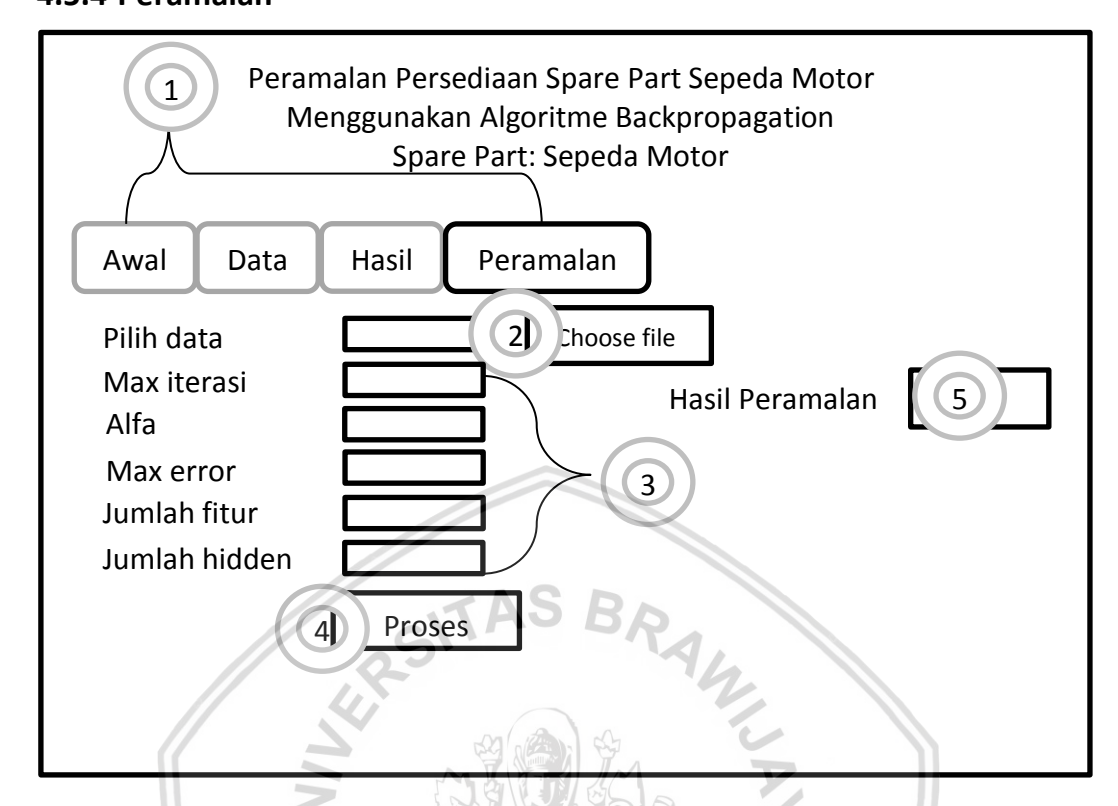


Gambar 4.21 Perancangan Antarmuka Hasil

Perancangan antarmuka hasil dapat dilihat pada Gambar 4.10. Penjelasan dari perancangan antarmuka tersebut adalah sebagai berikut:

- 1. Menu untuk memilih yang ingin ditampilkan. Menu Hasil ini berfungsi untuk menampilkan hasil setelah perhitungan peramalan persediaan *spare part* sepeda motor menggunakan algoritme *backpropagation* diproses.
- 2. Tabel untuk menampilkan bobot akhir pada proses pelatihan.
- 3. Tabel untuk menampilkan MSE setiap iterasi pada proses pelatihan.
- 4. Text area untuk menampilkan MSE pengujian.
- 5. Tabel untuk menampilkan data nilai target aktual dan nilai hasil peramalan.

4.5.4 Peramalan



Gambar 4.22 Perancangan Antarmuka Peramalan

Perancangan antarmuka peramalan dapat dilihat pada Gambar 4.12. Penjelasan dari perancangan antarmuka tersebut adalah sebagai berikut:

- Menu untuk memilih yang ingin ditampilkan. Menu peramalan ini berfungsi untuk melakukan peramalan persediaan spare part sepeda motor menggunakan algoritme backpropagation bulan berikutnya. Pada menu ini terdapat tempat memasukkan nilai-nilai variabel dan menampilkan hasilnya.
- 2. *Input* file yang berisi data untuk melakukan perhitungan peramalan persediaan *spare part* sepeda motor menggunakan algoritme *backpropagation*.
- 3. *Text area* yang dapat diisi *user* untuk masukan pada program guna melakukan perhitungan peramalan persediaan *spare part* sepeda motor menggunakan algoritme *backpropagation*.
- 4. Button untuk memproses atau mulai melakukan perhitungan peramalan persediaan spare part sepeda motor menggunakan algoritme backpropagation.
- 5. *Text area* yang akan menampilkan hasil peramalan setelah perhitungan peramalan persediaan *spare part* sepeda motor menggunakan algoritme *backpropagation* diproses.

BAB 5 IMPLEMENTASI

5.1 Implementasi Peramalan Persediaan Spare Part

Implementasi peramalan persediaan *spare part* sepeda motor menggunakan algoritme *backpropagation* pada penelitian ini menggunakan bahasa java dan *netbeans* sebagai IDE. Pada subbab ini dijelaskan kode programnya. Terdapat kelas algoritma untuk kode program implementasi algoritmenya beserta fungsi pendukung lainnya. Algoritme berserta fungsi pendukung yang sudah dirancang pada bab perancangan dijelaskan pada tabel kode program tiap subbab implementasi berikut.

5.1.1 Normalisasi

Fungsi pendukung dan penyusun normalisasi berada pada kelas algoritma. Implementasi normalisasi sesuai pada perancangan yang telah dilakukan. Kode program normalisasi dapat dilihat pada Tabel 5.1 yang disesuaikan dengan perancangan pada Gambar 4.2.

Tabel 5.1 Kode Program Normalisasi

No	Kode Program
1	<pre>double[] normalisasi(double[] data) {</pre>
2	<pre>double max = this.getMax();</pre>
3	<pre>double min = this.getMin();</pre>
4	<pre>double data_normalisasi[] = new double[data.length];</pre>
5	for (int i = 0; i < data.length; i++) {
6	data_normalisasi[i] = (data[i] - min) / (max - min);
7	
8	return data_normalisasi;
9	3

Penjelasan kode program pada Tabel 5.1.

Baris 1 : Deklarasi fungsi *normalisasi* dengan parameter data yang merupakan array bertipe double. Fungsi ini digunakan untuk mengubah nilai pada *data* menjadi nilai yang memiliki *range* 0 hingga 1.

Baris 2-3 : Deklarasi variabel *max* dan *min* yang betipe *double*, dimana nilai variabel tersebut didapatkan dengan memanggil fungsi *getMax* dan *getMin*. Dimana nilai *max min* tersebut diset pada fungsi *find_min_max*.

Baris 4 : Deklarasi variabel data_normalisasi yang merupakan array bertipe double, dimana panjang arraynya sebanyak panjang data.

Baris 5-7 : Perulangan dengan kondisi awal i=0 dan dilakukan perulangan selama i kurang dari panjang data.

Baris 6 : Perhitungan nilai data_normalisasi ke-i.
Baris 8 : Mengembalikan nilai data_normalisasi.

Nilai maximal dan minimal yang digunakan pada normalisasi didapatkan dari fungsi find min max yang juga terdapat pada kelas algoritma. Nama method fungsi min max adalah find_min_max. Kode program find_min_max dapat dilihat pada Tabel 5.2 yang disesuaikan dengan perancangan pada Gambar 4.3.

Tabel 5.2 Kode Program Find Min Max

```
Kode Program
No
1
     public void find min max(double[] data) {
        double max = 0;
2
3
        double min = Double.MAX VALUE;
        for (int j = 0; j < data.length; <math>j++) {
4
5
          if (data[j] > max) {
6
              max = data[j];
7
8
          if (data[j] < min) {</pre>
9
              min = data[j];
10
          }
11
12
        this.setMax(max);
13
        this.setMin(min);
14
```

Penjelasan kode program pada Tabel 5.2.

Baris 1 : Deklarasi fungsi *find_min_max* dengan parameter data yang merupakan *array* bertipe *double*. Fungsi ini digunakan untuk memcari nilai mkasimal dan nilai minimal pada dataset.

Baris 2-1 : Deklarasi variabel *max* dan *min* dengan tipe *double*. Variabel *max* didklarasikan dengan nilai 0, sedangkan nilai variabel *min* didapatkan dari *library* double.java dengan mengambil nilai *MAX VALUE*.

Baris 4-11 : Perulangan dengan kondisi awal j=0 dan dilakukan perulangan selama j kurang dari dari panjang data.

Baris 5-7 : Jika kondisi nilai data ke-*j* lebih dari *max*, maka nilai *max* berubah menjadi nilai *data* tersebut.

Baris 8-10 : Jika kondisi nilai data ke-j kurang dari min, maka nilai *min* berubah menjadi nilai *data* tersebut.

Baris 12-13 : Mengeset nilai *max* dan *min* dengan nilai *max* dan *min* hasil proses *find_min_max*.

5.1.2 Format Data

Format data berfungsi untuk membagi dataset menjadi data yang memiliki sejumlah fitur yang ditentukan serta menentukan nilai data tersebut. Pada proses format data ini terdapat 1 method (fungsi) yang berada pada kelas algoritma, yaitu fungsi format_data untuk mengolah dataset menjadi data yang memiliki sejumlah fitur dan target yang telah ditentukan serta menentukan nilai data tersebut.

Kode program untuk fungsi format_data dapat dilihat pada Tabel 5.3 yang disesuaikan dengan perancangan pada Gambar 4.4.

Tabel 5.3 Kode Program Format Data

No	Kode Program
1	<pre>double[][] format data(double[] data, int fitur) {</pre>
2	<pre>double[][] data terformat = new double[data.length -</pre>
	fitur][(fitur $+\overline{1}$)];
3	<pre>for (int i = 0; i < data_terformat.length; i++) {</pre>
4	for (int $j = 0$; $j < (fitur + 1)$; $j++$) {
5	data_terformat[i][j] = data[i + j];
6	}
7	}
8	<pre>return data_terformat;</pre>
9	}

Penjelasan kode program pada Tabel 5.3.

Baris 1 : Deklarasi fungsi *format_data* dengan parameter data yang merupakan array bertipe double dan fitur bertipe integer.

Baris 2 : Deklarasi variabel data_terformat yang merupakan double array bertipe double. Pada variabel ini terdapat elemen baris sebanyak panjang data dikurangi 1 dan nilai elemen kolom sebanyak fitur ditambah 1.

Baris 3-7 : Perulangan dengan kondisi awal *i*=0 dan dilakukan perulangan selama *i* kurang dari dari panjang *data_terformat*.

Baris 4-6 : Perulangan dengan kondisi awal *j*=0 dan dilakukan perulangan selama *j* kurang dari *fitur* ditambah 1.

Baris 5 : Nilai *data_terformat* pada elemen baris ke-*i* dan elemen kolom ke-*j* merupakan nilai pada *data* ke-(*i* dijumlahkan *j*).

Baris 8 : Mengembalikan nilai data_terformat

5.1.3 Bagi Data

Data yang telah diproses pada format_data, data tersebut dibagi menjadi data latih dan data uji. Pada proses bagi data ini terdapat 1 *method* (fungsi) yang berada pada kelas algoritma, yaitu fungsi bagi_data untuk membagi data menjadi data latih serta data uji. Kode program untuk fungsi bagi_data dapat dilihat pada Tabel 5.4 yang disesuaikan dengan perancangan pada Gambar 4.5.

Tabel 5.4 Kode Program Bagi Data

No	Kode Program
1	<pre>void bagi_data(double[][] data_terformat, double</pre>
	<pre>presentase_latih) {</pre>
2	int jumlah_latih = (int) (presentase_latih *
	<pre>data_terformat.length);</pre>
3	<pre>int jumlah_uji = data_terformat.length - jumlah_latih;</pre>
4	double[][] data latih = new
	double[jumlah latih][data terformat[0].length - 1];
5	double[][] data uji = new
	double[jumlah uji][data terformat[0].length - 1];
6	<pre>double[] t latih = new double[jumlah latih];</pre>
7	double[] t_uji = new double[jumlah uji];
8	for (int $i = 0$; $i < jumlah latih; i++) {$
	_

```
9
           for (int j = 0; j < data terformat[0].length - 1;</pre>
           j++) {
10
               data latih[i][j] = data terformat[i][j];
11
12
           t latih[i] =
           data terformat[i][data terformat[0].length - 1];
13
       for (int i = 0; i < jumlah uji; i++) {
14
           for (int j = 0; j < data terformat[0].length - 1;
15
16
               data uji[i][j] = data terformat[i +
               jumlah latih][j];
17
18
           t uji[i] = data terformat[i +
           jumlah latih][data terformat[0].length - 1];
19
20
       setData latih(data latih);
21
       setData uji(data uji);
       setT latih(t latih);
22
23
       setT uji(t uji);
24
```

Penjelasan kode program pada Tabel 5.4.

Baris 1 : Deklarasi fungsi bagi_data dengan parameter data_terformat yang merupakan double array bertipe double dan presentase_latih bertipe double.

Baris 2-7 : Deklarasi variabel beserta nilai dan/atau banyaknya kolom baris array.

Baris 8-13 : Perulangan dengan kondisi awal *i*=0 dan dilakukan perulangan selama *i* kurang dari *jumlah_latih*.

Baris 9-11 : Perluangan dengan kondisi awal j=0 dan dilakukan perulangan selama j kurang dari dari panjang kolom $data_terformat$ dikurangi 1.

Baris 10 : Nilai data_latih pada elemen baris ke-i dan elemen kolom ke-j merupakan nilai pada data terformat elemen baris ke-i dan elemen kolom ke-j

Baris 12 : Nilai *t_latih* ke-*i* merupakan nilai pada *data_terformat* elemen baris ke-*i* dan elemen kolom ke-hasil panjang kolom *data terformat* dikurangi 1.

Baris 14-19 : Perulangan dengan kondisi awal *i*=0 dan dilakukan perulangan selama *i* kurang dari *jumlah uji*.

Baris 15-17 : Perulangan dengan kondisi awal *j*=0 dan dilakukan perulangan selama *j* kurang dari panjang kolom *data* dikurangi 1.

Baris 16 : Nilai data_uji pada elemen baris ke-i dan elemen kolom ke-j merupakan nilai pada data_terformat elemen baris ke-hasil i dijumlah dengan jumlah latih dan elemen kolom ke-j

Baris 18 : Nilai *t_latih* ke-*i* merupakan nilai pada *data_terformat* elemen baris ke-*i* dijumlah dengan *jumlah_latih* dan elemen kolom kehasil panjang kolom *data* dikurangi 1.

Baris 20-23 : Mengeset nilai variabel.

5.1.4 Pelatihan

Fungsi pendukung dan penyusun pelatihan berada pada kelas algoritma. Implementasi pelatihan sesuai pada perancangan yang telah dilakukan. Kode

program pelatihan data dilihat pada Tabel 5.5 yang disesuaikan dengan perancangan pada Gambar 4.6.

Tabel 5.5 Kode Program Pelatihan

```
Kode Program
Nο
    List pelatihan(double[][] data latih, double t[],
1
    alfa, double max error, int max iter, int fitur, int hidden)
2
        this.inisialisasi bobot (hidden, fitur);
3
        this.inisialisasi bias(hidden);
4
        int iterasi = 0;
5
        List hasil mse = new ArrayList();
6
           double y[] = new double[data latih.length];
7
8
           for (int i = 0; i < data latih.length; i++) {</pre>
9
                                this.feedforward(data latih[i],
              y[i]
              this.getV(),
                                this.getBias(),
                                                      this.getW(),
              this.getBias1());
10
              this.backpropagation(y[i],
                                                 t[i],
                                                             alfa.
              this.getZ(), data latih[i], fitur);
              if (i != data latih.length - 1)
11
12
                 this.update();
13
14
15
           double mse = this.MSE(t,
16
           hasil mse.add(mse);
17
           if (mse > max_error) {
18
              iterasi++;
19
            else {
20
              break;
21
22
          while (iterasi < max iter);
23
                return hasil mse;
24
```

Penjelasan kode program pada Tabel 5.5.

Baris 1 : Deklarasi fungsi *pelatihan* dengan parameter.

Baris 2-3 : Memanggil fungsi *inisialisasi_bobot* dan *inisialisasi_bias*.

Baris 4 : Deklarasi variabel *iterasi* bertipe *integer* dengan nilai 0.

Baris 5 : Deklarasi variabel *hasil mse* yang merupakan *array list*.

Baris 6-22 : Melakukan baris 7-21 dan melakukan perulangan selama kondisi iterasi kurang dari max iter.

Baris 7 : Deklarasi variabel y yang merupakan *array* bertipe *double*. Panjang *array* variabel y sama dengan panjang *data latih*.

Baris 8-14 : Perulangan dengan kondisi awal *i*=0 dan dilakukan perulangan selama *i* kurang dari panjang *data latih*.

Baris 9 : Nilai variabel y diisi dengan memanggil fungsi *feedforward*.

Baris 10 : Memanggil fungsi backpropagation.

Baris 11-13 : Jika kondisi *i* tidak sama dengan panjang *data_latih* dikurangi satu, maka memanggil fungsi *update*.

Baris 15 : Deklarasi variabel *mse* bertipe *double*, dimana nilainya diisi dengan memanggil fungsi *MSE*.

Baris 16 : Variabel *hasil mse* diisi dengan nilai *mse*.

Baris 17-21 : Jika kondisi *mse* lebih besar dari *max_error*, maka nilai variabel

iterasi ditambah. Jika tidak maka berhenti.

Baris 23 : Mengembalikan nilai *hasil_mse*.

Kode program inisialisasi_bobot dilihat pada Tabel 5.6 yang disesuaikan dengan perancangan pada Gambar 4.7. Fungsi ini digunakan untuk menginisialisasi bobot awal yang akan digunakan pada perhitungan pelatihan.

Tabel 5.6 Kode Program Inisialisasi Bobot

No	Kode Program
1	void inisialisasi bobot(int jumlah hidden, int
	<pre>jumlah_fitur) {</pre>
2	double max = 0.5;
3	double min = -0.5 ;
4	<pre>double range = (max - min);</pre>
5	<pre>double v[][] = new double[jumlah_fitur][jumlah_hidden];</pre>
6	<pre>double w[] = new double[jumlah_hidden];</pre>
7	<pre>for (int i = 0; i < jumlah_fitur; i++) {</pre>
8	for (int j = 0; j < jumlah_hidden; j++) {
9	<pre>v[i][j]= (Math.random() * range) + min;</pre>
10	
11	
12	<pre>for (int j = 0; j < jumlah_hidden; j++) {</pre>
13	<pre>w[j] = (Math.random() * range) + min;</pre>
14	
15	setV(v);
16	setW(w);
17	

Penjelasan kode program pada Tabel 5.6.

Baris 1 : Deklarasi fungsi *inisialisasi_bobot* dengan parameter *jumlah hidden* dan *jumlah fitur* bertipe *integer*.

Baris 2-6 : Deklarasi variabel.

Baris 7-12 : Perulangan dengan kondisi awal *i*=0 dan dilakukan perulangan selama *i* kurang dari *jumlah fitur*.

Baris 8-11 : Perulangan dengan kondisi awal *j*=0 dan dilakukan perulangan selama *j* kurang dari *jumlah_hidden*.

Baris 9 : Perhitungan nilai *v* pada elemen baris ke-*i* dan elemen kolom ke*i*.

Baris 12-14 : Perulangan selama kondisi *j*=0 dan *j* kurang dari *jumlah hidden*.

Baris 13 : Perhitungan nilai w pada elemen baris ke-i.

Baris 15-16 : Mengeset nilai variabel.

Kode program inisialisasi_bias dilihat pada Tabel 5.7 yang disesuaikan dengan perancangan pada Gambar 4.8. Fungsi ini digunakan untuk menginisialisasi bias awal yang akan digunakan pada perhitungan pelatihan.

Tabel 5.7 Kode Program Inisialisasi Bias

```
Kode Program
No
1
    void inisialisasi bias(int jumlah hidden) {
2
       double max = 0.5;
3
       double min = -0.5;
4
       double range = (max - min);
5
       double bias[] = new double[jumlah hidden];
6
        double bias1;
7
        for (int j = 0; j < jum hidden; j++) {
8
          bias[j] = (Math.random() * range) + min;
9
10
       bias1 = (Math.random() * range) + min;
        setBias(bias);
11
12
        setBias1(bias1);
13
```

Penjelasan kode program pada Tabel 5.7.

Baris 1 : Deklarasi fungsi inisialisasi_bobot dengan parameter

jumlah_hidden bertipe integer.

Baris 2-6 : Deklarasi variabel.

Baris 7-10 : Perulangan dengan kondisi awal j=0 dan dilakukan perulangan

selama j kurang dari jumlah_hidden.

Baris 8 : Perhitungan nilai *bias* ke-*j*.
Baris 10 : Perhitungan nilai *bias* 1.
Baris 11-12 : Mengeset nilai variabel.

Kode program feedforward dilihat pada Tabel 5.8 yang disesuaikan dengan perancangan pada Gambar 4.9.

Tabel 5.8 Kode Program Feedforward

No	Kode Program
1	<pre>double feedforward(double[] data, double[][] v, double[]</pre>
	<pre>bias, double[] w, double bias1) {</pre>
2	<pre>double[] z = hitung_hidden(data, v, bias);</pre>
3	setZ(z);
4	<pre>double y = hitung_output(z, w, bias1);</pre>
5	return y;
6	}
5	

Penjelasan kode program pada Tabel 5.8.

Baris 1 : Deklarasi fungsi feedforward dengan parameter.

Baris 2 : deklarasi variabel z yang merupakan array bertipe double. Nilai

variabel z diisi dengan memanggil fungsi hitung_hidden.

Baris 3 : Mengeset nilai variabel.

Baris 4 : Deklarasi variabel y bertipe double. Nilai variabel y diisi dengan

memanggil fungsi *hitung_output*.

Baris 5 : Mengembalikan nilai y.

Kode program hitung_hidden dilihat pada Tabel 5.9 yang disesuaikan dengan perancangan pada Gambar 4.10.

Tabel 5.9 Kode Program Feedforward pada Hidden Layer

No	Kode Program
1	<pre>double[] hitung hidden(double[] data, double[][] v,</pre>
	double[] bias) {
2	<pre>double[] z_in = new double[v[0].length];</pre>
3	<pre>double[] z = new double[z_in.length];</pre>
4	double tot;
5	for (int $j = 0$; $j < v[0].length; j++) {$
6	tot = 0;
7	for (int $k = 0$; $k < data.length; k++) {$
8	tot += data[k] * v[k][j];
9	I/ASBA
10	$z_{in}[j] = tot + bias[j];$
11	<pre>z[j] = aktivasi_sigmoid_biner(z_in[j]);</pre>
12	
13	return z;
14	

Penjelasan kode program pada Tabel 5.9.

Baris 1 : Deklarasi fungsi hitung hidden dengan parameter.

Baris 2-4 : Deklarasi variabel.

Baris 5-12 : Perulangan dengan kondisi awal j=0 dan dilakukan perulangan

selama j kurang dari panjang elemen baris v.

Baris 6 : Pemberian nilai variabel tot=0.

Baris 7-9 : Perulangan dengan kondisi awal k=0 dan dilakukan perulangan

selama k kurang dari panjang data.

Baris 8 : Perhitungan nilai tot.

Baris 10 : Perhitungan nilai variabel *z in*.

Baris 11 : Perhitungan nilai variabel z diisi dengan memanggil fungsi

aktivasi sigmoid biner.

Baris 13 : Mengembalikan nilai z.

Kode program hitung_output dilihat pada Tabel 5.10 yang disesuaikan dengan perancangan pada Gambar 4.11.

Tabel 5.10 Kode Program Feedforward pada Output Layer

No	Kode Program
1	double hitung_output(double[] data_hidden, double[] w,
	double bias) {
2	double y in = 0;
3	double y;
4	for (int i = 0; i < data_hidden.length; i++) {

Penjelasan kode program pada Tabel 5.10.

Baris 1 : Deklarasi fungsi hitung_output dengan parameter.

Baris 2-3 : Deklarasi variabel.

Baris 5-6 : Perulangan dengan kondisi awal j=0 dan dilakukan perulangan selama j kurang dari panjang elemen baris w, menghitung nilai variabel y_in .

Baris 7 : Menghitung nilai variabel y in.

Baris 8 : Perhitungan nilai y yang diisi dengan memanggil fungsi

aktivasi sigmoid biner.

Baris 9 : Mengembalikan nilai y.

Kode program aktivasi_sigmoid_biner dilihat pada Tabel 5.11 yang disesuaikan dengan perancangan pada Gambar 4.12.

Tabel 5.11 Kode Program Aktivasi Sigmoid Biner

No	Kode Program
1	double aktivasi sigmoid biner(double data) {
2	<pre>double aktivasi_sigmoid_biner = 1 / (1 + Math.exp(- data));</pre>
3	return aktivasi sigmoid biner;
4	

Penjelasan kode program pada Tabel 5.11.

Baris 1 : Deklarasi fungsi aktivasi_sigmoid_biner dengan parameter data bertipe double.

Baris 2 : Perhitungan nilai variabel aktivasi_sigmoid_biner.
Baris 3 : Mengembalikan nilai aktivasi sigmoid biner.

Pada pelatihan algoritme *backpropagation*, setelah proses *feedforward* adalah proses *backpropagation*. Kode program *backpropagation* dapat dilihat pada Tabel 5.12 yang disesuaikan dengan perancangan pada Gambar 4.13.

Tabel 5.12 Kode Program Backpropagation

No	Kode Program
1	void backpropagation(double data y, double t, double alfa,
	double[] z, double data[], int fitur) {
2	double $\delta[]$ = new double[z.length];
3	<pre>double[] delta_w = new double[z.length];</pre>
4	double δk = hitung_δ(data_y, t);
5	for (int i = 0; i < delta w.length; i++) {
6	delta $w[i] = \delta k * alfa * z[i];$
7	}

```
8
        double delta bias1 = \delta k * alfa;
9
        double \delta in[] = new double[z.length];
10
        double w[] = getW();
        for (int i = 0; i < \delta in.length; i++) {
11
12
            \delta in[i] = \deltak * w[i];
13
        for (int j = 0; j < z.length; <math>j++) {
14
15
            \delta[j] = \delta in[j] * z[j] * (1 - z[j]);
16
17
        double[] delta bias = new double[z.length];
18
        for (int j = 0; j < delta bias.length; <math>j++) {
19
            delta bias[j] = alfa * \delta[j];
20
21
        double delta v[][] = new double[fitur][z.length];
22
        for (int i = 0; i < fitur; i++) {
            for (int j = 0; j < z.length; j++) {
23
24
               delta_v[i][j] = alfa * \delta[j] * data[i];
25
26
        setDelta bias(delta bias);
27
        setDelta bias1 (delta bias1);
28
29
        setDelta v(delta v);
30
        setDelta w(delta w);
31
```

Penjelasan kode program pada Tabel 5.12.

Baris 1 : Deklarasi fungsi backpropagation dengan parameter.

Baris 2-3 : Deklarasi variabel.

Baris 4 : Deklarasi variabel δk yang nilainya diisi dengan memanggil fungsi

hitung δ .

Baris 5-7 : Perulangan dengan kondisi awal i=0 dan dilakukan perulangan

selama i kurang dari panjang delta w.

Baris 6 : Perhitungan nilai delta w ke-i. Baris 8 : Perhitungan nilai delta bias1.

Baris 9-10 : Deklarasi variabel.

: Perulangan dengan kondisi awal i=0 dan dilakukan perulangan Baris 11-13 selama i kurang dari panjang δ in.

Baris 12 : Perhitungan nilai δ in ke-i.

: Perulangan dengan kondisi awal j=0 dan dilakukan perulangan Baris 14-16 selama i kurang dari panjang z.

: Perhitungan nilai δ ke-i. Baris 15

Baris 17 : Deklarasi variabel.

Baris 18-20 : Perulangan dengan kondisi awal *j*=0 dan dilakukan perulangan selama į kurang dari panjang delta bias.

Baris 19 : Perhitungan nilai *delta bias* ke-j.

Baris 21 : Deklarasi variabel.

: Perulangan dengan kondisi awal i=0 dan dilakukan perulangan Baris 22-26 selama i kurang dari fitur.

: Perulangan dengan kondisi awal j=0 dan dilakukan perulangan Baris 23-25 selama į kurang dari panjang z.

Baris 24 : Perhitungan nilai *delta_v* elemen baris ke-*i* dan elemen kolom ke*j*.

Baris 27-30 : Mengeset nilai variabel.

Kode program hitung_ δ dapat dilihat pada Tabel 5.13 yang disesuaikan dengan perancangan pada Gambar 4.14.

Tabel 5.13 Kode Program Koreksi Bobot W

No	Kode Program
1	double hitung δ (double data y, double t) {
2	double $\delta k = (t - data y)^* data y * (1 - data y);$
3	return δk;
4	}

Penjelasan kode program pada Tabel 5.13.

Baris 1 : Deklrasi fungsi $hitung_{\delta}$ dengan parameter $data_{\gamma}$ dan t bertipe

double.

Baris 2 : Deklarasi variabel δk dan perhitungan nilainya.

Baris 3 : Mengembalikan nilai δk .

Setelah menghitung *feedforward* dan *backpropagation* pada setiap data, dilakukan *update* bobot dan bias untuk perhitungan pada data selanjutnya. Kode program untuk update bobot dan bias dengan nama fungsi update, dapat dilihat pada Tabel 5.14 yang disesuaikan dengan perancangan pada Gambar 4.15.

Tabel 5.14 Kode Program Update Bobot dan Bias

```
Kode Program
No
1
    void update() {
        double delta v[][] = getDelta v();
2
3
        double delta w[] = getDelta w();
4
        double delta bias[] = getDelta bias();
        double delta bias1 = getDelta bias1();
5
6
        double w[] = getW();
7
        double bias1 = getBias1();
        for (int i = 0; i < w.length; i++)
8
9
           w[i] += delta w[i];
10
11
        bias1 += delta bias1;
12
        double v[][] = getV();
        double bias[] = getBias();
13
        for (int i = 0; i < v.length; i++) {
14
           for (int j = 0; j < v[0].length; <math>j++) {
15
              v[i][j] += delta v[i][j];
16
17
18
        for (int i = 0; i < bias.length; i++) {
19
20
           bias[i] += delta bias[i];
21
22
        setW(w);
23
        setBias1(bias1);
24
        setV(v);
25
        setBias(bias);
26
```

Penjelasan kode program pada Tabel 5.14.

Baris 1 : Deklarasi fungsi *update*.

Baris 2-7 : Deklarasi variabel.

Baris 8-10 : Perulangan dengan kondisi awal *i*=0 dan dilakukan perulangan

selama i kurang dari panjang w.

Baris 9 : Perhitungan nilai *w* ke-*i*.
Baris 11 : Perhitungan nilai *bias1*.
Baris 12-13 : Deklarasi variabel.

Baris 14-18 : Perulangan dengan kondisi awal i=0 dan dilakukan perulangan

selama i kurang dari panjang v.

Baris 15-17 : Perulangan dengan kondisi awal *j*=0 dan dilakukan perulangan

selama j kurang dari panjang elemen baris v.

Baris 16 : Perhtungan nilai *v* pada elemen baris ke-*i* dan elemen kolom ke-*j*.

Baris 19-21 : Perulangan dengan kondisi awal i=0 dan dilakukan perulangan

selama i kurang dari panjang bias.

Baris 20 : Perhitungan nilai *bias*.
Baris 22-25 : Mengeset nilai variabel.

Pada setiap iterasi, setelah semua data dilakukan proses perhitungan sebelumnya maka dihitung MSEnya. Kode program MSE dapat dilihat pada Tabel 5.15 yang disesuaikan dengan Gambar 4.16.

Tabel 5.15 Kode Program MSE

No	Kode Program
1	<pre>public double MSE(double[] target uji, double[] y) {</pre>
2	double tot = 0;
3	for (int i = 0; i < target uji.length; i++) {
4	<pre>double selisih = y[i] - target uji[i];</pre>
5	double selisih kuadrat = Math.pow(selisih, 2);
6	jumlah selisih += selisih kuadrat;
7	}
8	<pre>double mse = jumlah_selisih / target_uji.length;</pre>
9	return mse;
10	}

Penjelasan kode program pada Tabel 5.15.

Baris 1 : Deklarasi fungsi *MSE* dengan parameter *target_uji* dan *y* yang merupakan *array* beertipe *double*.

Baris 2 : Deklarasi variabel.

Baris 3-7 : Perulangan dengan kondisi awal *i*=0 dan dilakukan perulangan selama *i* kurang dari panjang *tarqet uji*.

Baris 4 : Deklarasi variabel *selisih* dan perhitungan nilainya.

Baris 5 : Deklarasi variabel *selisih* _*kuadrat* dan perhitungan nilainya.

Baris 6 : Perhitungan nilai jumlah selisih.

Baris 8 : Deklarasi variabel *mse* dan perhitungan nilainya.

Baris 9 : Mengembalikan nilai *mse*.

5.1.5 Pengujian

Pengujian dilakukan untuk mengetahui seberapa baik pelatihan beserta nilainilai pada variabel dan parameter yang digunakan untuk peramalan. Fungsi pendukung dan penyusun pengujian berada pada kelas algoritma. Implementasi pengujian sesuai pada perancangan yang telah dilakukan. Kode program pengujian data dilihat pada Tabel 5.16 yang disesuaikan dengan perancangan pada Gambar 4.17.

```
Kode Program
No
1
    double [] pengujian(double [][]data uji) {
2
        double y[] = new double[data uji.length];
3
        for (int i = 0; i < data uji.length; i++) {</pre>
4
                                  this.feedforward(data uji[i],
           double
                   temp y
           this.getV(),
                               this.getBias(),
                                                      this.getW(),
           this.getBias1());
5
           y[i] = temp y;
6
7
        double mse = this.MSE(this.getT uji(),y);
8
        return y;
9
```

Penjelasan kode program pada Tabel 5.16.

Baris 1 : Deklarasi fungsi *pengujian* dengan parameter *data_uji* yang merupakan *double array* bertipe *double*.

Baris 2 : Deklarasi variabel.

Baris 3-6 : Perulangan dengan kondisi awal *i*=0 dan dilakukan perulangan

selama i kurang dari panjang data_uji.

Baris 4 : Deklarasi variabel *temp_y*, yang nilainya diisi dengan memanggil

fungsi feedforward.

Baris 5 : Pengisian nilai y ke-i.

Baris 7 : Deklarasi variabel *mse* yang nilainya diisi dengan memanggil fungsi

MSE.

Baris 8 : Mengembalikan nilai y.

5.1.6 Denormalisasi

Denormalisasi dilakukan untuk mengetahui nilai yang sebenarnya, karena data yang menjadi inputan sebelumnya dinormalisasi dengan *range* 0 hingga 1. Data yang didenormalisasi merupakan hasil peramalan data uji. Fungsi pendukung dan penyusun denormalisasi berada pada kelas algoritma. Kode program denormalisasi dapat dilihat pada Tabel 5.17 yang disesuaikan dengan perancangan pada Gambar 4.18.

No	Kode Program
1	<pre>public double[] denormalisasi(double data[]) {</pre>
2	<pre>double max = getMax();</pre>
3	<pre>double min = getMin();</pre>
4	<pre>double[] data asli = new double[data.length];</pre>
5	for (int $i = \overline{0}$; $i < data.length$; $i++$) {

Penjelasan kode program pada Tabel 5.17.

Baris 1 : Deklarasi fungsi *denormalisasi* dengan parameter *data* yang merupakan *array* bertipe *double*. Fungsi ini digunakan untuk mengubah nilai pada *data* yang mempunyai *range* 0 hingga 1 menjadi nilai yang sebenarnya.

Baris 2-3 : Deklarasi variabel *max* dan *min* yang betipe *double*, dimana nilai variabel tersebut didapatkan dengan memanggil fungsi *getMax* dan *getMin*.

Baris 4 : Deklarasi variabel *data_asli* yang merupakan *array* bertipe *double*, dimana panjang arraynya sebanyak panjang *data*.

Baris 5-7 : Perulangan dengan kondisi awal *i*=0 dan dilakukan perulangan selama i kurang dari panjang *data*.

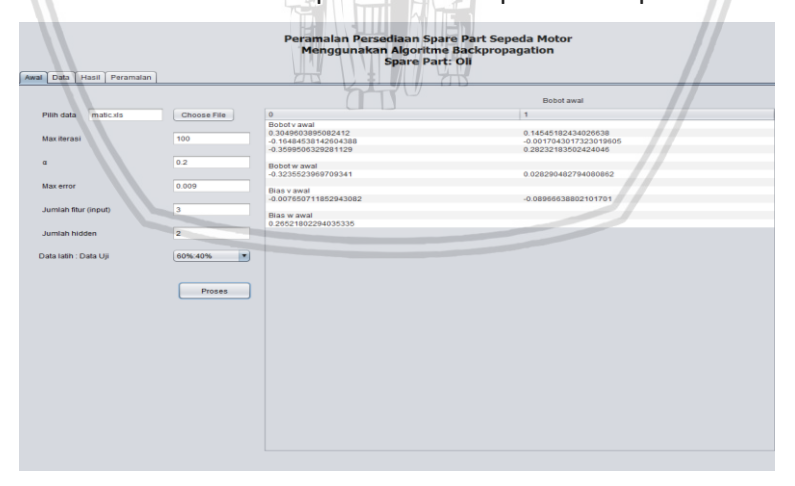
Baris 6 : Perhitungan nilai data_asli ke-i. Baris 8 : Mengembalikan nilai data_asli.

5.2 Implementasi Antarmuka

Implementasi antarmuka dibuat sesuai dengan perancangan antarmuka yang telah dibuat. Antarmuka atau *Graphical User Interface (GUI)* dibuat menggunakan bahasa *java* dengan IDE NetBeans. Antarmuka ini dibuat untuk mempermudah pengguna memasukkan nilai dan mempermudah melihat hasilnya.

5.2.1 Tampilan Awal

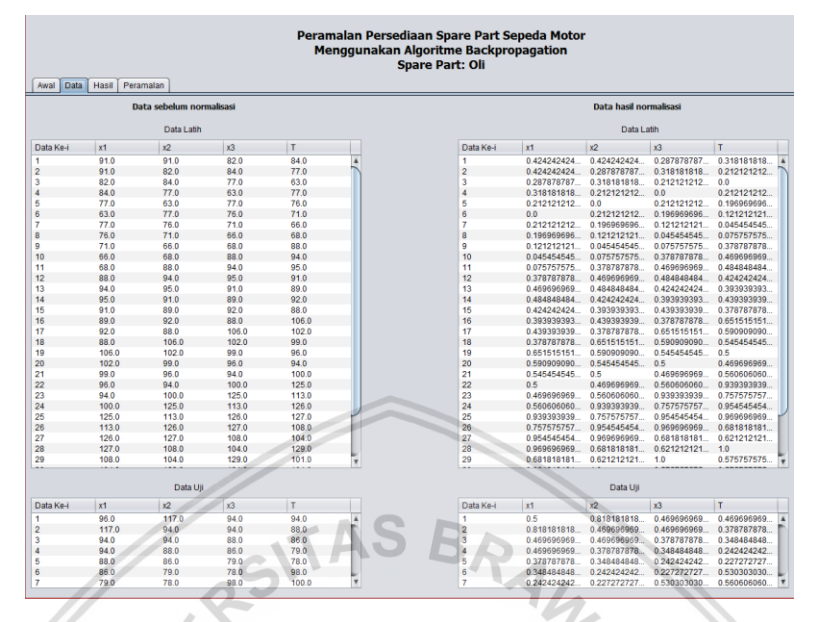
Implementasi antarmuka "tampilan awal" dapat dilihat pada Gambar 5.1.



Gambar 5.1 Implementasi Antarmuka Tampilan Awal

5.2.2 Data

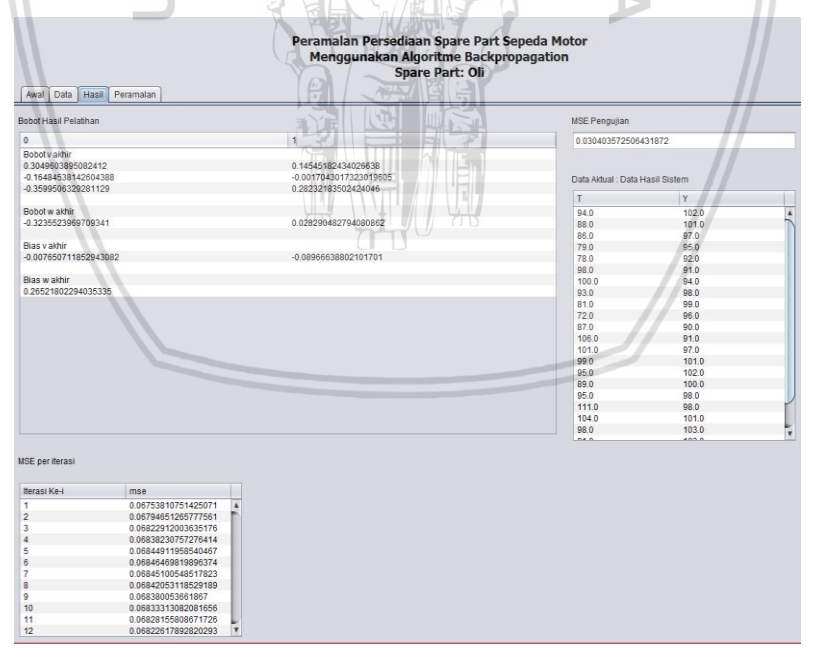
Implementasi antarmuka "data" dapat dilihat pada Gambar 5.2.



Gambar 5.2 Implementasi Antarmuka Data

5.2.3 Hasil

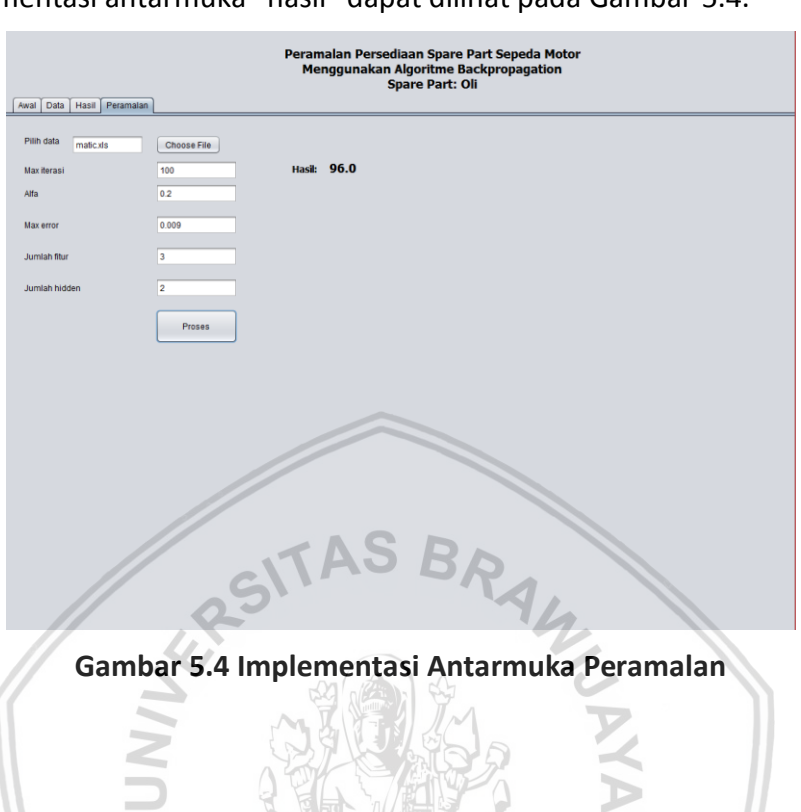
Implementasi antarmuka "hasil" dapat dilihat pada Gambar 5.3.



Gambar 5.3 Implementasi Antarmuka Hasil

5.2.4 Peramalan

Implementasi antarmuka "hasil" dapat dilihat pada Gambar 5.4.





BAB 6 PENGUJIAN DAN ANALISIS

6.1 Skenario Pengujian

Pengujian pada penelitian ini dilakukan untuk mengetahui nilai terbaik dari parameter sehingga peramalan persediaan spare part menggunakan algoritme backpropagation mendapatkan hasil yang optimal. Parameter mempengaruhi perubahan hingga tingkat akurasi, sehingga pemilihan parameter sangat mempengaruhi hasil (Saputra, et al., 2017). Data yang digunakan pada pengujian adalah history penjualan oli yamalube matic selama 60 bulan yang terdapat pada Lampiran A.1. Perbandingan data latih dan data uji pada pengujian ini adalah 80% dan 20% dengan pertimbangan penulis telah melakukan trial and error. Pengujian dengan 80% data latih dan 20% data uji dilakukan agar pengujian memiliki data yang variatif karena data bisa berkembang. Sehingga dengan menggunakan data yang bervariatif, proses pelatihan dan pengujian dapat lebih banyak mengenali data dan polanya. Pengujian yang dilakukan secara berurutan adalah pengujian jumlah iterasi, jumlah node input layer, jumlah node hidden layer dan nilai learning rate sesuai dengan perancangan pengujian pada bab perancangan. Nilai parameter yang digunakan untuk pengujian didapatkan dari referensi yang telah dibahas pada landasan kepustakaan. Setelah mendapatkan nilai terbaik dari parameter pada satu pengujian, maka nilai tersebut digunakan untuk pengujian selanjutnya apabila masih terdapat pengujian. Bobot dan bias awal yang digunakan adalah random, sehingga menghasilkan hasil yang berbeda. Oleh karena itu, pengujian dilakukan dengan menjalankan program sebanyak 5 kali untuk setiap iterasi yang diujikan dan dihitung rata-rata nilai MSE-nya. Semakin kecil nilai MSE atau nilai error-nya, maka menunjukkan semakin baik peramalan yang dilakukan.

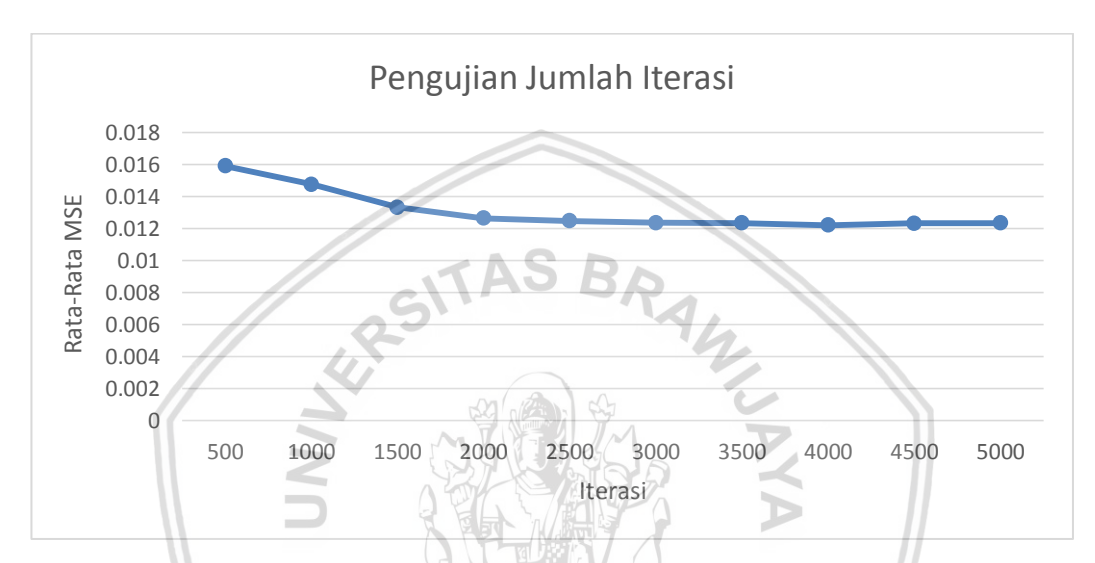
6.2 Pengujian Jumlah Iterasi

Pengujian jumlah iterasi dilakukan untuk mengetahui jumlah iterasi yang terbaik agar hasil peramalan menghasilkan nilai *error* yang kecil. Iterasi yang diujikan adalah 500, 1000, 1500, 2000, 2500, 3000, 3500, 4000, 4500 dan 5000. Jumlah node *hidden layer*, jumlah node *input layer* dan nilai *learning rate* yang digunakan pada setiap pengujian sama, yaitu mengacu pada penelitian Julpan dan kawan-kawan (2015). Jumlah node *hidden layer* adalah 3, jumlah node *input layer* adalah 6 dan nilai *learning rate* adalah 0.06. Hasil pengujian jumlah iterasi ditunjukkan pada Tabel 6.1.

Tabel 6.1 Pengujian Jumlah Iterasi

		Rata-Rata <i>MSE</i>				
Iterasi						
	1	2	3	4	5	IVISE
500	0.014946	0.015834	0.016606	0.016387	0.015753	0.015905
1000	0.015123	0.014727	0.014549	0.014795	0.014576	0.014754

1500	0.013977	0.012941	0.013459	0.013198	0.013056	0.013326
2000	0.012734	0.012747	0.012489	0.012824	0.01244	0.012647
2500	0.012551	0.012526	0.012657	0.01233	0.012343	0.012481
3000	0.012352	0.012272	0.012264	0.012525	0.012389	0.01236
3500	0.012584	0.012507	0.012283	0.012132	0.012159	0.012333
4000	0.012153	0.012144	0.012501	0.012146	0.012052	0.012199
4500	0.012387	0.012332	0.012138	0.012245	0.012485	0.012317
5000	0.012578	0.012277	0.012251	0.012484	0.012115	0.012341



Gambar 6.1 Pengujian Jumlah Iterasi

Gambar 6.1 merupakan grafik hasil pengujian jumlah iterasi. Dari grafik tersebut dapat dilihat bahwa mulai iterasi 2500 sudah menunjukkan konvergen dan jumlah iterasi terbaik adalah 4000 iterasi dengan rata-rata nilai *MSE* 0.012199.

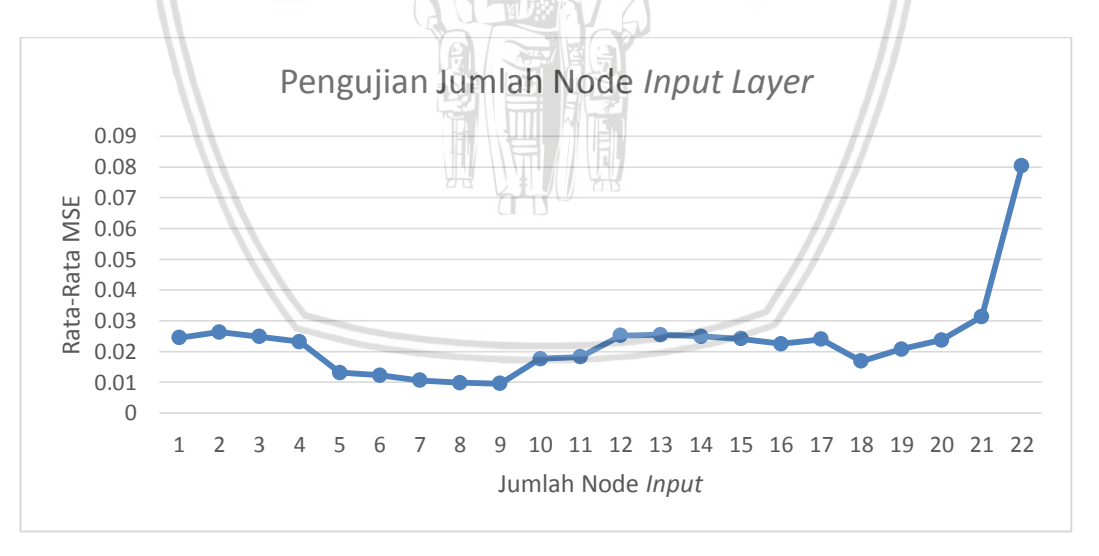
6.3 Pengujian Jumlah Node Input Layer

Pengujian node *input layer* yang yang terbaik agar hasil peramalan menghasilkan nilai *error* yang kecil. Jumlah node *input layer* yang diujikan adalah 1, 2, 3, 4, 5, 6, 7, 8, 9, 10. 11, 12, 13, 14, 15, 16, 17, 18, 19, 20, 21 dan 22. Nilai *Learning rate*, jumlah node *hidden layer* dan iterasi yang digunakan pada setiap pengujian sama, yaitu mengacu pada penelitian Julpan dan kawan-kawan (2015) dan pengujian sebelumnya pada penelitian ini. Jumlah node *hidden layer* adalah 3, nilai *learning rate* adalah 0.06 dan jumlah iterasi 4000 yang telah didapatkan dari pengjuan sebelumnya pada penelitian ini. Hasil pengujian jumlah node *input layer* ditunjukkan pada Tabel 6.2

Tabel 6.2 Pengujian Jumlah Node Input Layer

Jumlah						
node	Percobaan ke-					Rata-Rata
input	1	2	3	4	5	MSE
layer	-					

1	0.0242753	0.0258981	0.0250315	0.0237911	0.0235581	0.0245108
2	0.0259775	0.0265797	0.0261069	0.0262123	0.0267745	0.0263302
3	0.024712	0.0246294	0.0247341	0.0248383	0.0250933	0.0248014
4	0.0228832	0.0230303	0.0237752	0.023086	0.0232707	0.0232091
5	0.0131003	0.0132643	0.0129427	0.0129142	0.0133378	0.0131118
6	0.0120594	0.0122824	0.0123953	0.0122207	0.0123275	0.012257
7	0.0106126	0.0106808	0.0104253	0.0106306	0.0105915	0.0105882
8	0.0094364	0.0097506	0.0099613	0.0103815	0.0096101	0.009828
9	0.00933	0.0093918	0.0101146	0.0095771	0.0095384	0.0095904
10	0.0183075	0.0175768	0.0175493	0.0179539	0.016917	0.0176609
11	0.0193492	0.0180831	0.017779	0.0180875	0.0178623	0.0182322
12	0.0244442	0.0276118	0.0235035	0.0247784	0.0254049	0.0251486
13	0.021414	0.0278945	0.0263435	0.0258992	0.0258427	0.0254788
14	0.0235829	0.0229159	0.0252874	0.0259189	0.0268749	0.024916
15	0.0232615	0.027342	0.0218767	0.0255927	0.0224853	0.0241116
16	0.0227186	0.0223725	0.0224719	0.0227263	0.0222662	0.0225111
17	0.0244948	0.0255009	0.0245551	0.0224857	0.0229628	0.0239998
18	0.0147666	0.0178458	0.019999	0.0160639	0.0155505	0.0168451
19	0.0197813	0.0259079	0.01988	0.0181184	0.0199993	0.0207374
20	0.0227695	0.0249988	0.0236634	0.0239479	0.0230761	0.0236911
21	0.0351104	0.0262054	0.0328325	0.0341592	0.0284832	0.0313581
22	0.0746687	0.0794657	0.0825811	0.0733082	0.0916313	0.080331



Gambar 6.2 Pengujian Jumlah Node Input Layer

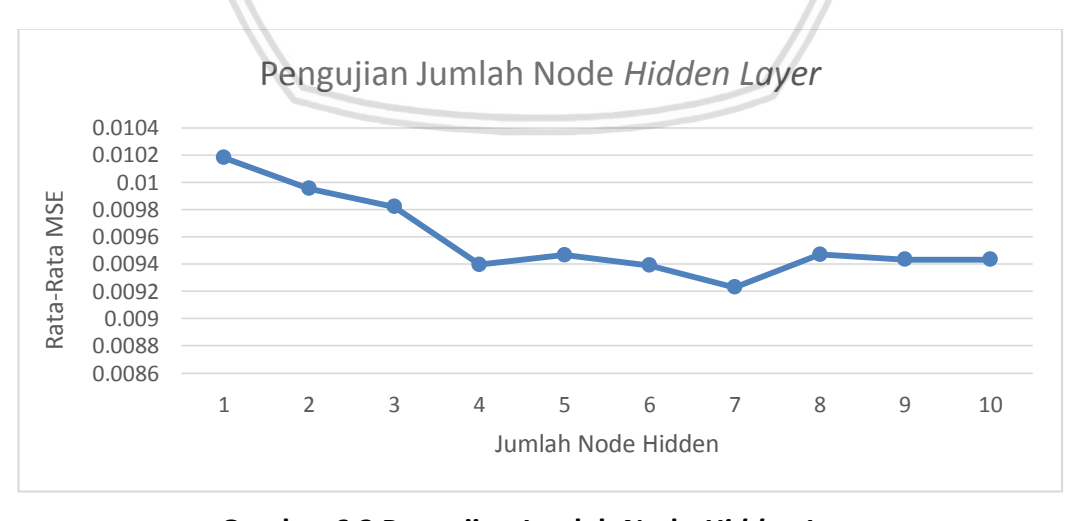
Gambar 6.2 merupakan grafik hasil pengujian jumlah node *input layer*. Jumlah node *input layer* terbaik adalah 9 dengan rata-rata nilai *MSE* 0.00959. Pola yang dimiliki adalah fluktuatif. Hal ini dapat disebabkan karena variabel *input*nya tidak merepresentasikan targetnya sehingga variabel *input* tersebut tidak berpengaruh baik pada jaringan. Merancang jaringan membutuhkan pilihan variabel *input* yang tepat untuk menghindari *overfitting* karena tidak semua variabel berpengaruh baik pada jaringan (Abdellah & Djamel, 2013).

6.4 Pengujian Jumlah Node Hidden Layer

Pengujian jumlah node hidden layer dilakukan untuk mendapatkan jumlah node hidden layer yang yang terbaik agar hasil peramalan menghasilkan nilai error yang kecil. Jumlah node hidden layer yang diujikan adalah 1, 2, 3, 4, 5, 6, 7, 8, 9 dan 10. Nilai Learning rate, jumlah node input layer dan iterasi yang digunakan pada setiap pengujian sama, yaitu mengacu pada penelitian Julpan dan kawan-kawan (2015) dan pengujian sebelumnya pada penelitian ini. Nilai learning rate adalah 0.06 dan jumlah iterasi 4000 serta jumlah node input layer adalah 9 yang telah didapatkan dari pengujian sebelumnya pada penelitian ini. Semakin kecil nilai MSE atau nilai error-nya, maka menunjukkan semakin baik peramalan yang dilakukan. Hasil pengujian jumlah node hidden layer ditunjukkan pada Tabel 6.3.

Jumlah **MSE** node Rata-Rata Percobaan kehidden MSE 3 5 1 layer 0.010203 0.010182 0.01013 0.010249 0.01014 0.010181 1 2 0.010334 0.009608 0.010301 0.010116 0.009402 0.009952 3 0.009252 0.009754 0.010043 0.009891 0.010157 0.009819 4 0.009518 0.009236 0.00938 0.009298 0.009548 0.009396 5 0.009198 0.009759 0.009302 0.009512 0.009564 0.009467 6 0.009077 0.009258 0.009761 0.009517 0.009335 0.00939 7 0.009233 0.009404 0.009195 0.009134 0.009182 0.00923 8 0.009483 0.009736 0.009284 0.00942 0.00943 0.009471 9 0.009382 0.009433 0.009422 0.009437 0.009487 0.009432 10 0.009429 0.009324 0.009648 0.009315 0.009449 0.009433

Tabel 6.3 Pengujian Jumlah Node Hidden Layer



Gambar 6.3 Pengujian Jumlah Node Hidden Layer

Gambar 6.3 merupakan grafik hasil pengujian jumlah node hidden layer. Dari grafik tersebut dapat dilihat bahwa mulai jumlah node hiddennya 4 mengalami perubahan nilai MSE yang tidak signifikan sehingga dapat dikatakan konvergen dan jumlah node hidden layer terbaik adalah 7 dengan rata-rata nilai MSE 0.00923. Menurut Heaton (2005) jumlah node hidden layer yang baik adalah 2/3 dari jumlah node input layer ditambah dengan jumlah node output layer, selain itu jumlah node hidden layer harus kurang dari dua kali jumlah node input layer (Yohannes, et al., 2015).

6.5 Pengujian Nilai Learning Rate

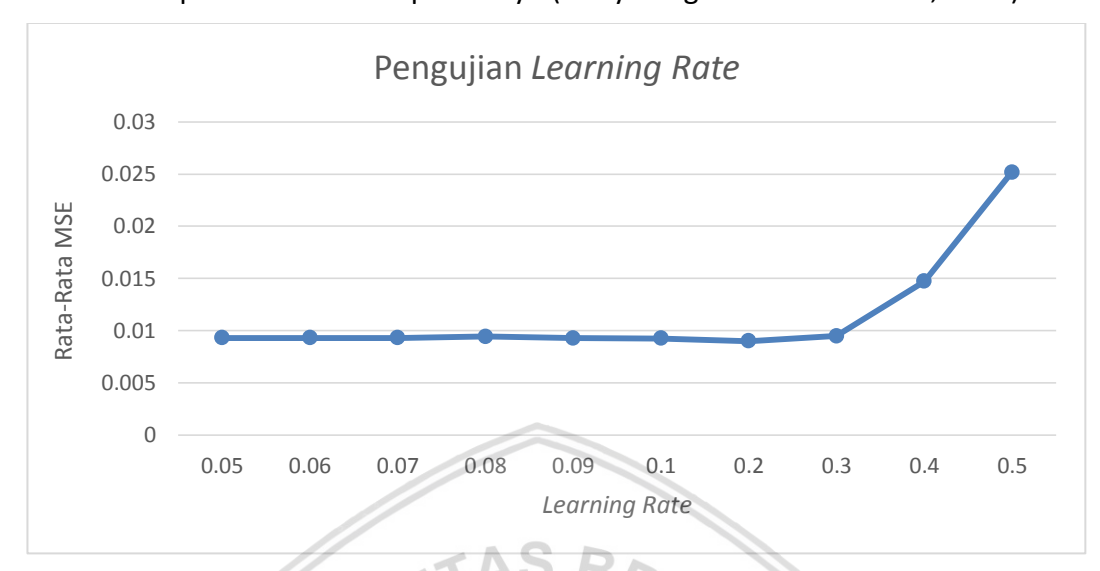
Pengujian nilai *learning rate* dilakukan untuk mendapatkan nilai *learning rate* yang terbaik agar hasil peramalan menghasilkan nilai *error* yang kecil. Nilai *learning rate* yang diujikan adalah 0.05, 0.06, 0.07, 0.08, 0.09, 0.1, 0.2, 0.3, 0.4 dan 0.5. Jumlah node *hidden layer*, jumlah node *input layer* dan iterasi yang digunakan pada setiap pengujian sama, yaitu nilai terbaik yang telah didapatkan dari pengujian sebelumnya pada penelitian ini. Jumlah node *hidden layer* adalah 7, jumlah node *input layer* adalah 9 dan jumlah iterasi adalah 4000. Hasil pengujian jumlah iterasi ditunjukkan pada Tabel 6.4.

MSE learning Rata-Rata Percobaan kerate **MSE** 2 1 3 4 5 0.009299 0.009223 0.009248 0.009376 0.009398 0.05 0.009309 0.06 0.009476 0.009159 0.009357 0.009219 0.00934 0.00931 0.07 0.009191 0.009396 0.009476 0.009365 0.00913 0.009311 0.08 0.009232 0.009455 0.009303 0.009648 0.009459 0.009419 0.09 0.009102 0.009152 0.009422 0.009192 0.009559 0.009285 0.1 0.009384 0.009254 0.00935 0.009192 0.009043 0.009245 0.2 0.008455 0.009088 0.008824 0.010036 0.008515 0.008984 0.3 0.008958 0.008742 0.009935 0.009935 0.009794 0.009473 0.4 0.01118 0.011216 0.021723 0.015037 0.01445 0.014721 0.025209 0.5 0.025214 0.03784 0.012364 0.025172 0.02516

Tabel 6.4 Pengujian Learning Rate

Gambar 6.4 merupakan grafik hasil pengujian nilai *learning rate*. Dari grafik tersebut dapat dilihat bahwa mulai nilai *learning rate* 0.05 sudah menunjukkan konvergen dan nilai *learning rate* terbaik adalah 0.2 dengan rata-rata nilai *MSE* 0.008984. Nilai *MSE* pada *learning rate* 0.05 menuju ke *learning rate* 0.08 terus mengalami kenaikan, pada *learning rate* 0.09 mengalami penurunan hingga *learning rate* 0.2 yang menunjukkan nilai *MSE* terkecil, setelah itu nilai *MSE* mengalami kenaikan yg signifikan mulai *learning rate* 0.3. Semakin besar *learning rate* dapat menyebabkan ketelitian jaringan akan semakin berkurang dan semakin

kecil *learning rate* memungkinkan ketelitian jaringan akan semakin besar tetapi bertambah pula konsekuensi prosesnya (Widyaningrum & Romadhon, 2014).



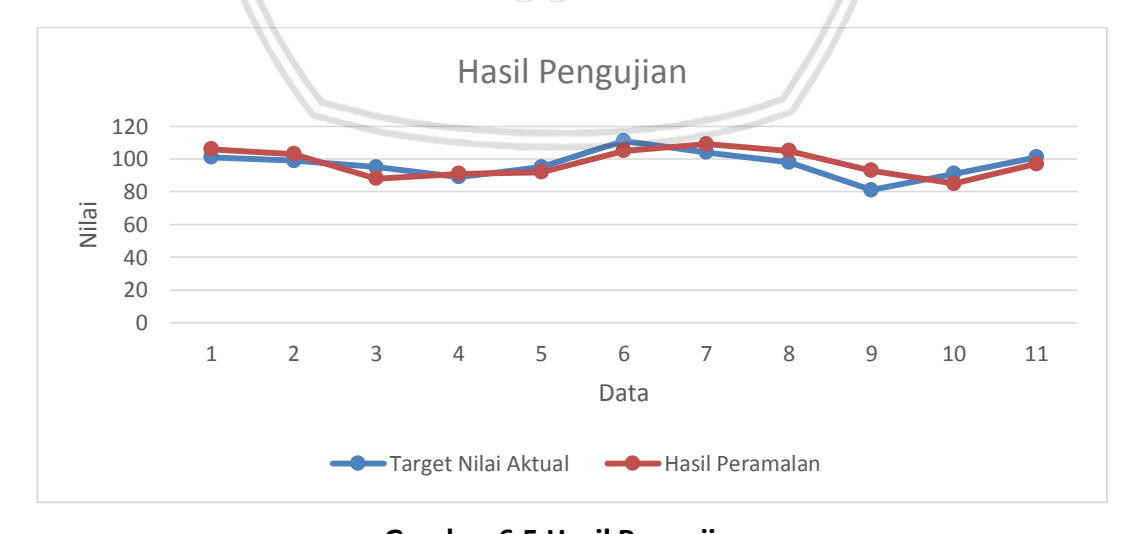
Gambar 6.4 Pengujian Learning Rate

6.6 Hasil Pengujian

Setelah mendapatkan nilai parameter terbaik, program dijalankan dengan nilai parameter terbaik untuk mengetahui seberapa baik hasil peramalan yang dilakukan. Hasil pengujian dapat dilihat pada Tabel 6.5.

Tabel 6.5 Hasil Pengujian

	Percobaan ke-				
1	2	3 .	4	5	Rata-Rata <i>MSE</i>
0.0095835	0.0093691	0.0091437	0.0085305	0.0106263	0.0094506



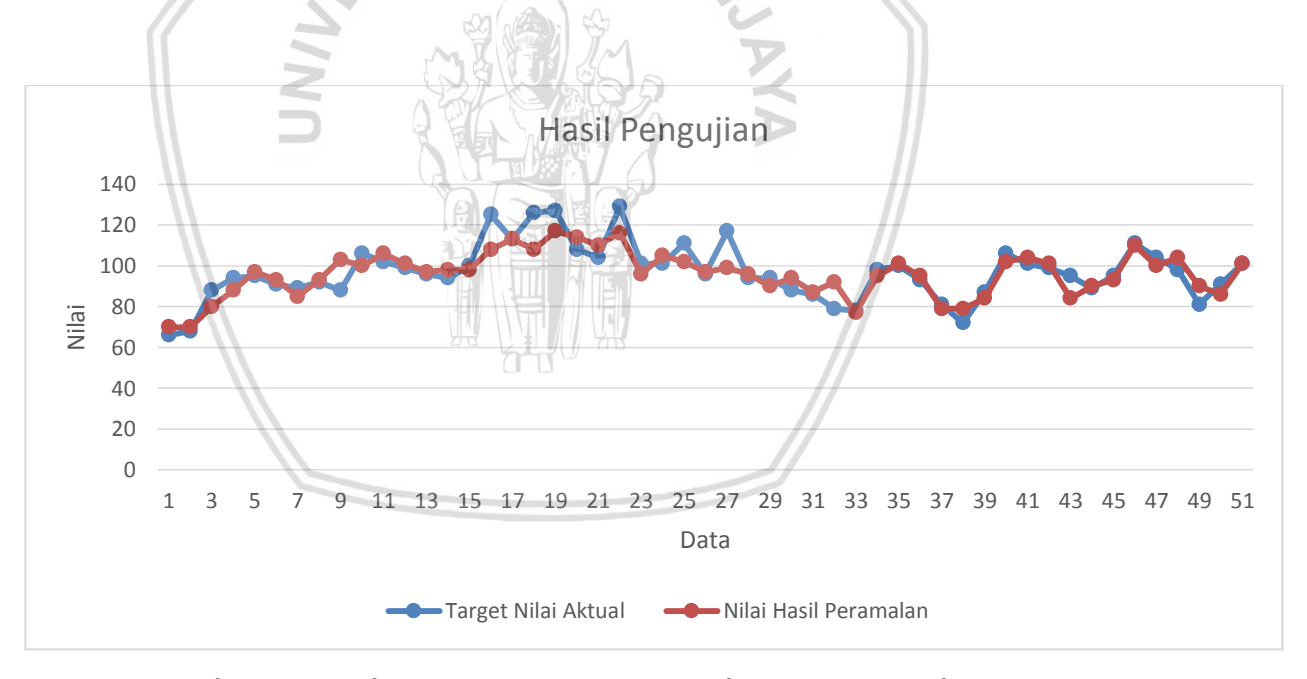
Gambar 6.5 Hasil Pengujian

Rata-rata *MSE* yang didapatkan adalah 0.0094506 dan *MSE* terkecil yang didapatkan adalah 0.0085305. Untuk mengetahui perbedaan nilai aktual dengan hasil peramalan, maka pada percobaan ke 4 yang memiliki nilai *MSE* terkecil dibuat grafik pada Gambar 6.5. Pada grafik tersebut menunjukkan bahwa hasil peramalan banyak mendekati nilai aktualnya, hanya ada beberapa yang memiliki perbedaan yang signifikan. Rata-rata selisih nilai aktual dengan nilai hasil peramalan adalah 6. Pola yang dimiliki antara nilai aktual dengan hasil peramalan juga memiliki kesamaan. Ketidaktepatan pola dapat disebabkan oleh data yang anomali dan belum didapatkannya bobot yang optimal.

Pengujian juga dilakukan terhadap data uji yang mempunyai data yang sama dengan data latih, yaitu 51 data. Hal ini dilakukan untuk mengetahui seberapa baik hasil peramalan yang dilakukan dengan data tersebut. Hasil pengujian dapat dilihat pada Tabel 6.5.

Tabel 6.6 Hasil Pengujian Data Uji sama dengan Data Latih

	Doto Doto MCE				
1	2	3	4	5	Rata-Rata MSE
0.0125155	0.0117653	0.0122308	0.0115223	0.0109775	0.0118023



Gambar 6.6 Hasil Pengujian Data Uji sama dengan Data Latih

Untuk mengetahui perbedaan nilai aktual dengan hasil peramalan, maka pada percobaan ke-5 yang memiliki nilai *MSE* terkecil dibuat grafik pada Gambar 6.6. Pada grafik tersebut menunjukkan bahwa hasil peramalan banyak mendekati nilai aktualnya, hanya ada beberapa yang memiliki perbedaan yang signifikan. Ratarata selisih nilai aktual dengan nilai hasil peramalan adalah 5. Pola yang dimiliki antara nilai aktual dengan hasil peramalan juga memiliki kesamaan, meskipun ada

beberapa yang tidak sesuai. Ketidaktepatan pola dapat disebabkan oleh data yang anomali dan belum didapatkannya bobot yang optimal. Pada data uji yang mempunyai data yang sama dengan data latih juga ditunjukkan laju *MSE* pelatihan pada pengujian yang memiliki *MSE* pengujian terkecil, dapat dilihat pada Lampiran E. Berdasarkan Gambar 6.5 dan Gambar 6.6 dapat dilihat bahwa ketidaktepatan pola lebih banyak terjadi pada data dengan data uji yang mempunya data sama dengan data latih daripada data dengan 80% data latih dan 20% data uji. Hal tersebut dapat disebabkan karena data latih dan data uji tidak banyak variatif sehingga proses pelatihan dan pengujian kurang banyak mengenali data dan pola.



BAB 7 PENUTUP

7.1 Kesimpulan

Kesimpulan yang didapatkan dari penelitian ini adalah sebagai berikut:

- 1. Algoritme backpropagation berhasil diterapkan untuk meramalkan persedian spare part sepeda motor. Pelatihan backpropagation melibatkan tiga fase: feedforward, backpropagation dan update bobot. Setelah pelatihan, penerapan jaringan hanya melibatkan perhitungan fase feedforward. Backpropagation terdiri dari input layer, hidden layer dan output layer Arsitektur backpropagation yang terbaik dan digunakan adalah 9-7-1, yaitu 9 node input, 7 node hidden dan 1 node output. Pada penelitian ini data yang digunakan adalah spare part oli yamalube matic yang memiliki data sebanyak 60 bulan. Pengujian pada penelitian menghasilkan jumlah fitur (node input) terbaik adalah 9 fitur, sehingga dataset yang dimiliki adalah 51 data. Dari 51 data tersebut dibagi menjadi 40 data latih dan 11 data uji.
- 2. Rata-rata MSE (nilai error) yang didapatkan dari hasil pengujian adalah 0.0094506 dan MSE terkecil yang didapatkan adalah 0.0085305 dengan rata-rata selisih nilai aktual dengan nilai hasil peramalan adalah 6. Pada nilai MSE terkecil tersebut, hasil peramalan mendekati nilai aktualnya dan memiliki pola yang hampir sama. Ketika data uji memiliki data yang sama dengan data latihnya, rata-rata MSE yang didapatkan dari hasil pengujian adalah 0.0118023 dan MSE terkecil yang didapatkan adalah 0.0109775 dengan rata-rata selisih nilai aktual dengan nilai hasil peramalan adalah 5.

7.2 Saran

Saran yang diberikan dari penelitian ini untuk penelitian selanjutnya adalah sebagai berikut:

- 1. Perlu dilakukan penelitian yang lebih lanjut mengenai teknik optimasi penentuan nilai bobot dan bias awal serta interval nilai bobot dan bias awal pada algoritme *backpropagation* guna memberikan hasil bobot yang lebih baik pada pelatihan *backpropagation*.
- 2. Perlu dilakukan penelitian yang lebih lanjut mengenai teknik untuk mengetahui fluktuatif pola data hingga mencapai pola yang berulang guna memberikan hasil peramalan dengan pola yang lebih baik.
- 3. Pembagian data uji dan data latih pada penelitian selanjutnya dapat dilakukan secara dinamis atau dapat menggunakan *k-fold*, agar lebih mengenali pola *time-series*.
- 4. Penelitian selanjutnya dapat menggunakan data *spare part* lain yang lebih kompleks.

DAFTAR PUSTAKA

- Abdellah, D. & Djamel, L., 2013. Forecasting the Algerian Load Peak Profile Using Time Series Model Based On Backpropagation Neural Networks. Istanbul, 4th International Conference on Power Engineering, Energy and Electrical Drives.
- Afrianto, U. A., 2014. Sistem Informasi Jasa Layanan Service Sepeda Motor pada AHASS Motor Cahaya Sakti 871 Tlogosari Semarang. *UDiNus Repository*.
- Augustine, A. & Manuharawati, 2017. Forecasting Fitness Gym Membership pada Pusat Kebugara "The Body Art Fitness, Aerobic & Pool" Menggunakan Metode Exponential Smoothing. *Jurnal Ilmiah Matematika*, Volume 31-7.
- Cynthia, E. P. & Ismanto, E., 2017. Jaringan Syaraf Tiruan Algoritma Backpropagation Dalam Memprediksi Ketersediaan Komoditi Pangan Provinsi Riau. Pekanbaru, Seminar Nasional Teknologi Informasi, Komunikasi dan Industri (SNTIKI) 9.
- Dinata, A. E. & Wigati, . S. S., 2016. *Analisis Sistem Persediaan Sparepart Motor di Bengkel Aneka Sakti.* s.l., Seminar Nasional IENACO.
- Farida, I. & Rozini, M. N., 2016. Pengendalian Persediaan Spare Part dan Pengembangan dengan Konsep 80-20 (Analisis ABC) pada Gudang Suku Cadang PT. Astra International Tbk – Daihatsu Sales Operational Cabang Tegal. SENIT, pp. 163-169.
- Fausett, L. V., 1993. Fundamentals of Neural Network: Architecture, Algorithms, and Applications. s.l.:Pearson.
- Febrina, M., Arina, F. & Ekawati, R., 2013. Peramalan Jumlah Permintaan Produksi Menggunakan Metode Jaringan Syaraf Tiruan (JST) Backpropagation. *Jurnal Teknik Industri*, Volume 1, pp. 174-179.
- Heripracoyo, S., 2009. *Analisis dan Perancangan Sistem Informasi Akuntansi Pembelian dan Persediaan pada PT. Oliser Indonesia*. Yogyakarta, Seminar Nasional Aplikasi Teknologi Informasi 2009 (SNATI 2009).
- Hu, Q., Boylan, J. E., Chen, H. & Labib, A., 2018. OR in Spare Parts Management: A Review. *European Journal of Operational Research*, Volume 266, pp. 395-414.
- Ismail, Z. & Jamaluddin, F. A., 2008. A Backpropagation Method for Forecasting Electricity Load Demand. *Journal of Applied Sciences*, Volume 8 (13), pp. 2428-2434.
- Julpan, Nababan, E. B. & Zarlis, M., 2015. Analisis Fungsi Aktivasi Sigmoid Biner dan Sigmoid Bipolar dalam Algoritma Backpropagation pada Prediksi Kemampuan Siswa. Jurnal Teknovasi, Volume 2, pp. 103-116.
- Kadir, A., 2006. Transportasi: Peran dan Dampaknya dalam Pertumbuhan Ekonomi Sosial. Jurnal Perencanaan & Pengembangan Wilayah Wahana Hijau, Volume 1, pp. 121-131.

- Pakaja, F., Naba, A. & Purwanto, 2012. Peramalan Penjualan Mobil Menggunakan Jaringan Syaraf Tiruan dan Certainty Factor. *EECCISS*, Volume 6, pp. 23-28.
- Purba, M., 2015. Rancang Bangun Pengolahan Data Penjualan Sparepart Alat Berat (Hose Hidrolik) pada PT. Sumatra Unggul Menggunakan Visual Basic 6.0. *Jurnal Teknik Informatika Politeknik Sekarayu*, Volume 2, pp. 73-80.
- Rachman, A. S., Cholissodin, I. & Fauzi, M. A., 2018. Peramalan Produksi Gula Menggunakan Metode Jaringan Syaraf Tiruan Backpropagation Pada PG Candi Baru Sidoarjo. *Jurnal Pengembangan Teknologi Informasi dan Ilmu Komputer*, Volume 2, pp. 1683-1689.
- Razak, M. A. & Riksakomara, E., 2017. Peramalan Jumlah Produksi Ikan dengan Menggunakan Backpropagation Neural Network (Studi Kasus UPTD Pelabuhan Perikanan Banjarmasin). *Jurnal Teknik ITS*, Volume 6, pp. 142-148.
- Saputra, W. et al., 2017. Analysis Resilient Algorithm on Artificial Neural Network Backpropagation. s.l., International Conference on Information and Communication Technology (IconICT).
- Sudjarwo, 2013. *Pemeliharaan Mesin Sepeda Motor.* 1 ed. Jakarta: Kementerian Pendidikan & Kebudayaan.
- Sundari, S. S., S. & Revianti, W., 2015. Sistem Peramalan Persediaan Barang Dengan Weight Moving Average Di Toko The Kids 24. Bali, Konferensi Nasional Sistem & Informatika 2015.
- Supit, T. & Jan, A. H., 2015. Analisis Persediaan Bahan Baku pada Industr Mebel di Desa Leilem. *Jurnal EMBA*, Volume 3, pp. 1230-1241.
- Tanjung, D. H., 2014-2015. Jaringan Saraf Tiruan dengan Backpropagation untuk Memprediksi Penyakit Asma. *Citec Journal*, Volume 2, pp. 28-38.
- Wardah, S. & Iskandar, 2016. Analisis Peramalan Penjualan Produk Keripik Pisang Kemasan Bungkus (Studi Kasus: Home Industry Arwana Food Tembilahan). Jurnal Teknik Industri, Volume XI, pp. 135-142.
- Widyaningrum, V. T. & Romadhon, A. S., 2014. *Pengaruh Pemberian Momentum pada Artificial Neural Network Backpropagation*. Jakarta, Seminar Nasional Sains dan Teknologi 2014.
- Yohannes, E., Mahmudy, W. F. & Rahmi, A., 2015. Penentuan Upah Minimum Kota Berdasarkan Tingkat Inflasi Menggunakan Backpropagation Neural Network (BPNN). *Jurnal Teknologi Informasi dan Ilmu Komputer (JTIIK)*, Volume 2, pp. 34-40.
- Yousida, I., 2013. Sistem Akuntansi Persediaan Barang UD Kartika Motor di Banjarmasin. *KINDAI*, Volume 9, pp. 101-113.